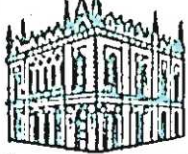


П-168



АЗӘРБАЙЧАН ССР ЕЛМЛӨРАКАДЕМИЈАСЫ
АКАДЕМИЯ НАУК АЗЕРБАЙДЖАНСКОЙ ССР

МӘРУЗӘЛӘР ДОКЛАДЫ

том XXXIV чилд

1978 • 1

МҮЭЛЛИФЛӘР ҮЧҮН ГАЈДАЛАР

1. «Азәрбајҹан ССР Елмләр Академијасыны Мә'рүзәләри»ндә иңәри вә тәчрубы әһәмијјәтә малик елми-тәдгигатларын тамамланыш вә һәлә дәрч едилеммеш иәтичәләри һагында гыса мә'лumatлар чап олуунур.

«Мә'рүзәләр»дә механики сурэтдә бир нечо айры-айры мә'лumatлар шәклини салыныш ири һәчмил мәгаләләр, јени факти мә'лumatлардан мәйрум мубаһис харәтерли мәгаләләр, мүәјҗән иәтичә вә үмумиләшдирмәләрсиз көмәкчи тәчрүбәләри тәсвириндән ибарәт мәгаләләр, гејри-принципиал, тәсвири вә ичмал харәтерли ишләр, төснәје единән методу принциплә јени олмајан сырф методик мәгаләләр, набелә битки вә һөҗүнларын систематикасина даир (елм үчүн хүсуси әһәмијјәтә малик тапынтыларын тәсвири истисна олмагла) мәгаләләр дәрч единимир.

«Мә'рүзәләр»дә дәрч олуун мәгаләләр һөмүн мә'лumatларын даһа көнш шәкилдә башга иашрләрдә чап сыймәси учуди мүэллифи һүгүгуни элиндән алмыр.

2. «Мә'рүзәләр»ни редаксијасына дахил олан мәгаләләр ялныз ихтисас үзрә бир иәффә академикин тәгдиматындан соңра редаксија һөј'ети тәрәфиндән иңәрдән кечирилир. Йөр бир академик илдә 5 эәддән чох олмамаг шәртилә мәгаләләр тәгдим едо биләр. Азәрбајҹан ССР Елмләр Академијасыны мүхбири үзвәринин мәгаләләри тәгдиматсыз гәбул олуунур.

Редаксија академикләрдән хәниш едири ки, мәгаләләри тәгдим едәркөн онларын мүэллифләрдән алынmasы тарихини, набелә мәгаләләни јерләшириләчәји белмәнни әди-матызы көстәрсилләр.

3. «Мә'рүзәләр»дә бир мүэллиф илдә 3 мәгалә дәрч етдири биләр.

4. «Мә'рүзәләр»дә шәкилләр дә дахил олмагла, мүэллиф вәрәгәнин дөрдлә бирләнди артыг олмајараг/јазы/ макинасында .јазыдыш 6–7 сәнифә һәчминде (10000 үсп ишарәсү/ Мәгаләләр дәрч/ филилләр).

5. Бүтүн мәгаләләрин никилес дилиндә хұласәси олмалыдыр; буидан башга, Азәрбајҹан дилиндә язылан мәгаләләре рус дилиндә хұласә әлавә едилемәнидир. Рус дилиндә язылан мәгаләләрин исә Азәрбајҹан дилиндә хұласәси олмалыдыр.

6. Мәгаләнни сонунда тәдгигат ишинин јерине јетирилдили симни идарәнни ады вә мүэллифи телефони нөмәси көстәрилмәнидир.

7. Елми идарәләрдә апаратан тәдгигат ишләринин иәтичәләрнин дәрч олуимасы үчүн симни идарәнни директорлугуунун ичәсии олмалыдыр.

8. Мәгаләдә (хұласәләр дә дахил олмагла) вәрәгин бир үзүндә иккى хәтт ара бурахылараг язы макинасында дахил ишарәсү/ мәгаләләр дәрч/ филилләр. Дүстүрәрин исә үснни гырмызы

еклиндә де-
та мәтидәки
иң сијаһысы

з ады, чи-
сы вә инни-
р олуундуғу

зинни ады,
сертасија-

з шәклини
югда тәг-

үзрә мә-
тәтмәни-

нидә бу
арда ве-

ычыллы-

ир. Кор-

иң олар.

13. Иккї-вә-ја даһы-
ны һа көстәрмәк лаз-

14. Мәгаләләрин к-
ректураларыннан т-

15. Редаксија мүәл-

АЗӘРБАЙҖАН ССР ЕЛМЛӘР АКАДЕМИЈАСЫ
АКАДЕМИЯ НАУК АЗЕРБАЙДЖАНСКОЙ ССР

МӘ'РҮЗӘЛӘР ДОКЛАДЫ

ТОМ XXXIV ЧИЛД

1



«ЕЛМ» НӘШРИЙАТЫ-ИЗДАТЕЛЬСТВО «ЕЛМ»
БАКУ-1978-БАКУ

РЕДАКЦИОННАЯ КОЛЛЕГИЯ:

Г. Б. Абдуллаев (главный редактор),
 Ал. А. Ализаде, Г. А. Алиев, В. Р. Волобуев, Г. Г. Гасанов,
 Дж. Б. Гулиев, Н. А. Гулиев, А. И. Гусейнов, М. З. Джабаров,
 Ю. М. Сейдов (зам. главного редактора), Г. Ф. Султанов,
 А. С. Сумбатзаде, М. А. Топчибашев, Т. Н. Шахтахтинский,
 Г. Г. Зейналов (ответств. секретарь).

УДК 517.947

МАТЕМАТИКА

Н. М. СУЛЕЙМАНОВ

**ОБ ОДНОМ ОБЫКНОВЕННОМ ДИФФЕРЕНЦИАЛЬНОМ
НЕРАВЕНСТВЕ И ТЕОРЕМЕ ВИМАНА-ВАЛИРОНА
О ЦЕЛЫХ ФУНКЦИЯХ**

(Представлено академиком АН Азербайджанской ССР И. И. Ибрагимовым)

В настоящей работе изучается некоторое обыкновенное дифференциальное неравенство и дано его применение к оценкам типа Вимана-Валирона из теории целых функций [1–3].

Теорема 1. Пусть положительные функции a , φ , ψ , и g удовлетворяют следующим условиям:

- (1) $a \in C(x_0, \infty)$ не возрастает;
- (2) $\varphi \in C[0, \infty)$ не убывает;
- (3) $\psi \in C[0, \infty)$;
- (4) $g \in C^2(x_0, \infty)$ не убывает и выпукла вниз.

Пусть еще:

$$\Gamma(y) = \int_y^\infty \left[G^{-1} 2 \int_y^t \varphi(s) ds \right]^{-1/2} dt, \quad \forall y > 0,$$

где G^{-1} — функция, обратная к функции

$$G(y) = \int_0^y \frac{dt}{\psi(t)}.$$

Тогда для множества

$A = \{x > x_0 : g''(x) > a(x)\varphi(g)\psi(g'(x)^2/a(x))\}$
справедлива оценка

$$\int_A \sqrt{a(x)} dx \leq \Gamma(g(x_0)). \quad (1)$$

Доказательство: Без ограничения общности можно предположить, что A есть объединение конечного числа непересекающихся интервалов (a_i, b_i) , $i = 1, \dots, N$. Придвинем интервал (a_0, b_0) к точке x_0 , к полученному интервалу присоединим (a_1, b_1) и т. д. Образы точек a_i после этой операции обозначим через x_j . Значения функций a и g на новых интервалах оставим без изменения. Таким образом,

© Издательство „Элм”, 1978 г.

Адрес: г. Баку, Коммунистическая, 10. Редакция „Докладов Академии наук Азербайджанской ССР”

получается кусочно-непрерывные функции $a_0(x)$ и $g_0(x)$; функция $a_0(x)$ не возрастает и

$$\int_{x_0 + \text{mes} A} V a_0(x) dx = \int_A V a(x) dx, \quad (2)$$

а функция $g_0(x)$ не убывает и дважды непрерывно дифференцируема вне точек $\{x_i\}_{i=1}^N$. Определим функцию $g_1(x)$ на интервале $[x_0, x_0 + \text{mes} A]$ следующим образом. Пусть $g_1(x_0) = g(x_0)$, на интервале $[x_0, x_1]$ положим $g_1(x) = g_0(x) - g_0(x_0 + 0) + g(x_0)$. Аналогично этому пусть $g_1(x_1) = g_1(x_1 - 0)$ и на интервале (x_1, x_2)

$$g_1(x) = g_0(x) - g_0(x_1 + 0) + g_1(x_1).$$

Продолжая этот процесс, мы получим непрерывную и дважды кусочно-непрерывно дифференцируемую функцию. Так как функция g не убывает и выпукла, то теми же свойствами обладает функция g_1 . Кроме того, на каждом интервале (x_i, x_{i+1}) , $i \geq 0$ справедливо неравенство

$$g_1'(x) > a_0(x) \varphi(g_1(x)) \psi(g_1'(x)^2/a_0(x))$$

и $g_1(x_0) = g(x_0)$. Введем новую независимую переменную и положим $h(\xi) = g_1(x(\xi))$. Так как $h'(\xi) = g_1'(x(\xi))/V a_0(x(\xi))$, функция $g_1(x)$ не убывает, а функция $a_0(x(\xi))$ не возрастает, то для каждой точки $\xi_i = \xi(x_i)$ получаем

$$h'(\xi_i + 0) = \frac{g'_1(x_i + 0)}{V a_0(x_i + 0)} > \frac{g'_1(x_i - 0)}{V a_0(x_i - 0)} = h'(\xi_i - 0).$$

Аналогично для любых двух внутренних точек $\xi, \eta \in (\xi_i, \xi_{i+1})$, $\xi > \eta$

$$h'(\xi) = \frac{g'_1(x(\xi))}{V a_0(x(\xi))} > \frac{g'_1(x(\eta))}{V a_0(x(\eta))} = h'(\eta).$$

Итак, функция $h'(\xi)$ не убывает и неотрицательна. Имеем при $\xi \in (\xi_i, \xi_{i+1})$

$$g'_1(x) = h'(\xi) a_0(x) + \frac{1}{2} h'(\xi) a'_0(x) \leq h''(\xi) a_0(x).$$

Следовательно, на интервале (ξ_i, ξ_{i+1})

$$h''(\xi) \geq \varphi(h(\xi)) \psi(h'(\xi)^2).$$

Умножая это неравенство на $h'(\xi)$ и интегрируя, получаем

$$\int_{\xi_i}^{\xi_{i+1}} \frac{h'(\xi) h''(\xi)}{\psi(h'(\xi)^2)} d\xi \geq \int_{\xi_i}^{\xi_{i+1}} \varphi(h(\xi)) h'(\xi) d\xi$$

или, что то же самое,

$$\int_{h'(\xi_i)}^{h'(\xi)} \frac{d\tau}{\psi(\tau)} \geq 2 \int_{h(\xi_i)}^{h(\xi)} \varphi(\tau) d\tau.$$

Суммируя по всем интервалам (ξ_i, ξ_{i+1}) , для которых $\xi_i < \xi$, получим

$$G(h'(\xi)^2) \geq \int_{h'(0)}^{h'(\xi)} \frac{d\tau}{\psi(\tau)} \geq 2 \int_{h(0)}^{h(\xi)} \varphi(\tau) d\tau.$$

Следовательно,

$$h'(\xi) \geq \left[G^{-1} \left(2 \int_{h(0)}^{h(\xi)} \varphi(\tau) d\tau \right) \right]^{\nu}.$$

Возвращаясь к переменной x , выводим оценку

$$g_1'(x) \left[G^{-1} \left(2 \int_{g(x_0)}^{g(x)} \varphi(\tau) d\tau \right) \right]^{-\nu} \geq V a_0(x).$$

Интегрируя и вспоминая, что $g_1(x_0) = g(x_0)$ приходим к неравенству

$$\int_{g(x_0)}^{g(x)} \left[G^{-1} \left(2 \int_{g(x_0)}^y \varphi(\tau) d\tau \right) \right]^{-\nu} dy \geq \int_{x_0}^x V a_0(t) dt.$$

Поэтому

$$\Gamma(g(x_0)) \geq \int_{x_0 + \text{mes} A}^x V a_0(t) dt,$$

что в силу (2) эквивалентно неравенству (1). Теорема доказана.

Из доказанной теоремы с помощью принадлежащего Розенбллюму [3] метода доказательства неравенств типа Вимана-Валирона получаем следующее усиление основной теоремы Розенбллюма.

Пусть $M(r)$ и $\mu(r)$ —максимум модуля целой функции $f(z)$ в круге $|z| \leq r$ и максимальный член ее степенного ряда.

Теорема 2. Пусть a —положительная невозрастающая непрерывная функция на $[0, \infty)$, такая, что

$$\int_0^\infty V a(r) \frac{dr}{r} = \infty,$$

и пусть φ —положительная функция на полуоси $(0, \infty)$, удовлетворяющая условию:

$$\int_0^\infty \left[\int_0^y \varphi(t) dt \right]^{-\nu} dy < +\infty.$$

Тогда неравенство

$$\frac{M(r)}{\sqrt{\varphi(\log M(r))}} < \text{const} \cdot \sqrt{a(r)} \cdot \mu(r) \quad (3)$$

выполнено вне множества A конечной меры $r^{-1} \sqrt{a(r)} dr$.

В работе [3] неравенство (3) установлено лишь для некоторой последовательности $r = r_k$, стремящейся к бесконечности и $a(r) = 1$.

Литература

1. Валирон П. Ж. Аналитические функции. М., ГИТТА, 1957.
2. Виттих Г Новейшие исследования по однозначным аналитическим функциям. М., ГИФМЛ 1960.
3. Rosenblum P. C. Studies in mathematical analysis and related topics Stanford, 1962.
4. Хинчин А. И. Об аналитических аппаратах в статистической физике. Труды Матем. ин-та им. Стеклова, т. 33, 1950.

Поступило 21. VI 1977

Н. М. Сулејманов

БИР ДИФЕРЕНСИАЛ БЭРАБЭРСИЗЛИК ВЭ ТАМ ФУНКСИЈАЛАР ҮЧҮН ВИМАН-ВАЛИРОН ТЕОРЕМИ ҖАГГЫНДА

Мәголәдә бәзин гејри-хәтти аді дифференсиял бәрабәрсизликтер вэ онларын Виман-Валирон типли нәтиҗәләри тәдгиг едилүр.

N. M. Suleimanov

ON ORDINARY DIFFERENTIAL UNEQUALITY AND WIMAN-VALIRON THEOREM FOR ENTIRE FUNCTIONS

This article investigates any ordinary differential inequality and its application to Wiman-Valiron type estimates for the theory of entire functions.

УДК 518:513.88

ФУНКЦИОНАЛЬНЫЙ АНАЛИЗ

Р. А. ШАФИЕВ

О МЕТОДАХ ВЫЧИСЛЕНИЯ ПСЕВДООБРАТНОГО ОПЕРАТОРА

(Представлено академиком АН Азербайджанской ССР А. И. Гусейновым)

В настоящей работе найдены точные формулы для вычисления псевдообратного оператора и исследованы итерационные методы его построения. Сначала рассмотрен самосопряженный оператор в гильбертовом пространстве, а затем результаты распространяются на случай линейного оператора, действующего между двумя гильбертовыми пространствами. Из других работ, посвященных вопросу псевдообращения, укажем на [1]—[5].

1. Пусть K —самосопряженный ограниченный оператор в гильбертовом пространстве H . Прежде всего установим, что условие нормальной разрешимости оператора K эквивалентно условию обратимости некоторого оператора.

Введем обозначения: $N(K)$, $R(K)$ —соответственно ядро и область значений оператора K , $P_{N(K)} = P$ —проектор на $N(K)$, $P_{N(K)^\perp} = P^\perp$ —проектор на $N(K)^\perp$. Очевидно, $P^\perp = I - P$.

Лемма 1. Пусть T —линейный оператор в H . Если оператор $K_t = TP_{N(K)} + K$

$$(1)$$

при каком-нибудь T имеет ограниченный обратный (определенный во всем H), то оператор K нормально разрешим.

Непосредственно доказывается, что множество $R(K)$ замкнуто.

Имеет место и обратное предложение.

Лемма 2. Если оператор K нормально разрешим, то найдется линейный оператор T , при котором K_t имеет ограниченный обратный на H .

В качестве T берется единичное отображение в H . Доказывается, что K_1 —самосопряженный оператор, отображающий H на себя, откуда следует обратимость K_1 ([6], стр. 437).

Из леммы 2 вытекает

Следствие 1. Оператор K имеет ограниченный обратный на H тогда и только тогда, когда K нормально разрешим и $N(K) = \{0\}$.

Критерий существования и формулу для вычисления K^+ дает

Теорема 1. Оператор K имеет псевдообратный K^+ тогда и только тогда, если найдется линейный оператор T , при котором K_t обратим. При этом справедлива формула

$$K^+ = (TP_{N(K)} + K)^{-1}(I - P_{N(K)}), \quad (2)$$

где T —любой линейный оператор в H , при котором K_t обратим.

Первое утверждение теоремы вытекает из лемм 1 и 2 и того факта, что существование K^+ эквивалентно нормальной разрешимости K [1]—[3]. Для доказательства формулы (2) пользуемся следующим определением псевдообратного [3]: $KK^+ = P_{R(K)}$, $K^+K = P_{R(K^+)}$.

В следующем предложении придано достаточное условие на оператор T , обеспечивающее обратимость K_t .

Лемма 3. Пусть K нормально разрешимый оператор. Тогда K_t имеет ограниченный обратный на H , если T —линейное взаимно однозначное отображение с областью определения $D(T) \supseteq N(K)$, удовлетворяющее условию

$$R(P_{N(K)}TP_{N(K)}) = N(K). \quad (3)$$

Доказывается, что $N(K_t) = \{0\}$ и $R(K_t) = H$. Существование ограниченного обратного K_t^{-1} следует из теоремы Банаха.

2. Формула (2) позволяет использовать итерационный процесс построения обратного оператора [7]—[8] для вычисления псевдообратного оператора K^+ .

Теорема 2. Пусть K_t обратим и пусть линейный ограниченный оператор U_0 такой, что

$$\|I - K_t U_0\| \leq q < 1. \quad (4)$$

Тогда последовательность операторов $\{U_n(I - P_{N(K)})\}$, где U определяется из рекуррентной формулы

$$U_{n+1} = U_n \sum_{i=0}^{p-1} (I - K_t U_n)^i, \quad (5)$$

сходится к K^+ и справедливы оценки погрешности

$$\|K^+ - U_n(I - P_{N(K)})\| \leq \frac{\|U_n(I - K_t U_n)\|}{1 - \|I - K_t U_n\|} \leq \frac{\|U_0\| \cdot q^{p^n}}{1 - q}. \quad (6)$$

Доказательство вытекает из соотношения

$$\|K^+ - U_n(I - P_{N(K)})\| \leq \|K_t^{-1} - U_n\|.$$

Интерес представляет тот случай, когда за U_0 взят оператор βI , где β —вещественное число, отличное от нуля. Для этого изучим операторы $S_t = I - \beta K_t$ и $S = I - \beta K$.

Лемма 4. Если K_t —самосопряженный и T удовлетворяет условию

$$\tau(Px, x) \leq (TPx, x) \leq \tau_0(Px, x), \quad (7)$$

где $0 < \tau \leq \tau_0$ и τ_0 достаточно мало, то $\|S_t\| < 1$ тогда и только тогда, когда оператор \bar{K} —сужение K на подпространство $N(K)^\perp$ положительно определен и β удовлетворяет неравенству

$$0 < \beta < 2/\|K_t\|. \quad (8)$$

При выполнении $\|S_t\| < 1$ положительная определенность \bar{K} и справедливость неравенства (8) следует из соотношения

$$\frac{1}{\beta} (1 - \|S_t\|)(x, x) \leq (K_t x, x) \leq \frac{1}{\beta} (1 + \|S_t\|)(x, x).$$

При этом в (7) должно быть $\tau_0 \leq 1/2(1 - \|S_t\|)\|K_t\|$. Если теперь выполнено соотношение

$$(\bar{K}P^\perp x, x) \geq \bar{m}(P^\perp x, x), \quad \bar{m} > 0, \quad (9)$$

то ввиду условия (8)

$$\|S_t\| = \max \{1 - \beta \min(\bar{m}, \tau), 1 - \beta \|K_t\|\} < 1. \quad (10)$$

Следствие 2. $\|S\| < 1$ тогда и только тогда, когда K положительно определен и β удовлетворяет неравенству

$$0 < \beta < 2/\|K\|. \quad (11)$$

В условиях следствия $N(K) = \{0\}$, поэтому $K_t = K = \bar{K}$, $S_t = S$ при любом T .

Следствие 3. Если $N(K) \neq \{0\}$, то $S^n \rightarrow P_{N(K)}$ при $n \rightarrow \infty$ в операторной норме тогда и только тогда, когда \bar{K} положительно определен и β удовлетворяет неравенству (11). При этом

$$\|S^n - P_{N(K)}\| \leq \|\bar{S}\|^n, \text{ где } \bar{S} = I - \beta\bar{K}.$$

Вводится оператор $S_\tau = I - \beta K_\tau = I - \beta(\tau P_{N(K)} + K)$, $0 < \tau < 2/\beta$, и доказательство опирается на соотношения

$$\begin{aligned} S_\tau^n &= S^n - P_{N(K)} + (1 - \beta\tau)^n P_{N(K)}, \\ S_\tau^n &- (1 - \beta\tau)^n P_{N(K)} = \bar{S}^n. \end{aligned} \quad (12)$$

Используя лемму 4, можно уточнить теорему 2.

Теорема 3. Пусть K_t и T удовлетворяют условиям леммы 4. Тогда последовательность $\{U_n(I - P_{N(K)})\}$, где U_n определяется по формуле (5), начиная с $U_0 = \beta I$, сходится к K^+ тогда и только тогда, когда \bar{K} положительно определен и β удовлетворяет неравенству (8).

Из теоремы 3 вытекает очень важное следствие.

Теорема 4. Последовательность операторов $\{V_n(I - P_{N(K)})\}$, образованная по рекуррентной формуле

$$V_{n+1} = V_n \sum_{l=0}^{p-1} (I - KV_n)^l, \quad (13)$$

начиная с $V_0 = \beta I$, сходится к K^+ тогда и только тогда, когда \bar{K} положительно определен и β удовлетворяет неравенству (11). Справедлива оценка погрешности:

$$\|K^+ - V_n(I - P_{N(K)})\| \leq \frac{\beta}{1 - \|\bar{S}\|} \cdot \|\bar{S}\|^n. \quad (14)$$

Из (5) при $T = \tau T$, (13) и (12) находим

$$\begin{aligned} U_{n+1}(I - P_{N(K)}) &= \beta \sum_{l=0}^{p-1} [S^l - P_{N(K)} + (1 - \beta\tau)^l P_{N(K)}](1 - P_{N(K)}) = \\ &= V_{n+1}(I - P_{N(K)}). \end{aligned}$$

Оценку погрешности (14) можно получить так же, как и в [3]. 3. Пусть A —линейный ограниченный оператор, отображающий одно гильбертово пространство H_1 в другое H_2 , A^* —его сопряженный. Известные формулы [1]

$$A^+ = (A^*A)^+ A^*, \quad A^+ = A^*(AA^*)^+$$

позволяют свести задачу построения псевдообратного к произвольному оператору A к такой же задаче для самосопряженного оператора A^*A в пространстве H_1 или AA^* в пространстве H_2 . Для построения $(A^*A)^+$ и $(AA^*)^+$ воспользуемся результатами пунктов 1 и 2. Для этого полезна

Лемма 5. Операторы A , A^*A и AA^* одновременно обладают свойством нормальной разрешимости.

Теорема 5. Оператор A имеет псевдообратный A^+ тогда и только тогда, если найдется линейный оператор T в H_1 (в H_2), при котором оператор $A_t = TP_{N(A)} + A^*A$ ($\tilde{A}_t = TP_{N(A^*)} + AA^*$) обра-

тим. При этом справедливы формулы

$$A^+ = (TP_{N(A)} + A^*A)^{-1} A^*, \quad A^+ = A^* (TP_{N(A^*)} + AA^*)^{-1}.$$

Из следствия 1 и леммы 5 вытекает

Следствие 4. $A^+ = (A^*A)^{-1} A^*$ ($A^+ = A^*(AA^*)^{-1}$) тогда и только тогда, когда A нормально разрешим и $N(A) = \{0\}$ ($N(A^*) = \{0\}$).

Теоремы 2—4 могут быть без труда перефразированы для случая оператора A . Например, аналогом теоремы 4 является

Теорема 6. Последовательность операторов $\{W_n A^*\}$ (или $\{A^* Z_n\}$), образованная по формуле

$$W_{n+1} = W_n \sum_{l=0}^{p-1} (I - A^* A W_n)^l$$

(или по формуле $Z_{n+1} = Z_n \sum_{l=0}^{p-1} (I - A A^* Z_n)^l$), начиная с $W_0 = Z_0 = \beta I$,

сходится к A^+ тогда и только тогда, когда A^+ существует и β удовлетворяет неравенству $0 < \beta < 2/\|A^* A\|$.

Здесь следует отметить, что из положительной определенности $A^* A|_{R(A^*)}$ (или $AA^*|_{R(A)}$) вытекает нормальная разрешимость оператора $A^* A$ (или AA^*) [3], а в силу леммы 5 и A .

Литература

1. Desoer C. A., Whalen B. H. J. SIAM, 1963, 11.
2. Ben-Israel A., Charney A. J. SIAM, 1963, 11.
3. Petryshyn W. V. J. Math. Anal. and Appl., 1967, 18.
4. Турбин А. Ф. Вычисл. матем. и матем. физ.", 1974, 14, № 3.
5. Шафиев Р. А. ДАН Азерб. ССР, 1977, № 11.
6. Канторович Л. В., Акилов Г. П. Функциональный анализ в нормированных пространствах. Физматгиз, 1959.
7. Altman M. Approximation methods in functional analysis. Lecture Notes, 1959, California Inst. of Technology.
8. Petryshyn W. V. Proc. Amer. Math. Soc. 1965, 16.

Институт математики
и механики

Поступило 13. VII 1977

Р. Э. Шафиев

ҮМУМИЛЭШМИШ ТЭРС ОПЕРАТОРУН ГУРУЛМА ҮСҮЛЛАРЫ ҮАГЫНДА

Мэголадэ үмумилэшиш тэрс операторун өссламасы үчүн дэгиг дүстурлар тапалмыш вэ гурулманын итерасија үсүллари өзренилмишдир.

R. A. Shafiev

ON METHODS OF THE PSEUDOINVERSE OPERATOR COMPUTATION

In the paper there are given formulae for the pseudoinverse operator computation and iterations methods of its construction are investigated.

УДК 52/521.1

АСТРОНОМИЯ

М. А. МАМЕДОВ

ОБ УСТОЙЧИВОСТИ ТЕОРЕТИЧЕСКИХ РАСПРЕДЕЛЕНИЙ КОМЕТ

(Представлено академиком АН Азербайджанской ССР Г. Ф. Султановым)

Нами было проведено сравнение распределений гипотетических и наблюдаемых комет по элементам орбит. Распределения были получены при условии, что угол β меняется с шагом 5° , а угол λ —с шагом 30° [1, 2].

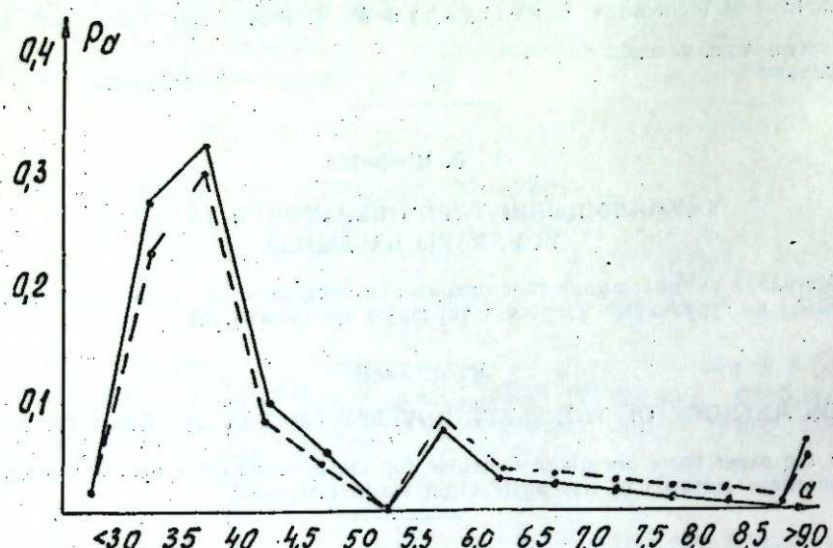


Рис. 1.

Возникает вопрос об устойчивости этих распределений, если рассматривать иную совокупность гипотетических комет, соответствующую варьированию углов λ и β с другими шагами.

На рис. 1, 2, 3, 4 графически отражены распределение по большой полуоси, эксцентриситету, перигельных расстояний и наклоны орбит комет. Пунктирная линия соответствует распределению элементов орбит гипотетических комет, которое получено при предположе-

нии, что $\Delta\beta=5^\circ$, $\Delta\lambda=30^\circ$, а непрерывная линия показывает распределение элементов наблюдаемых комет. Линия распределения элементов орбит получена по новому варьированию λ и β .

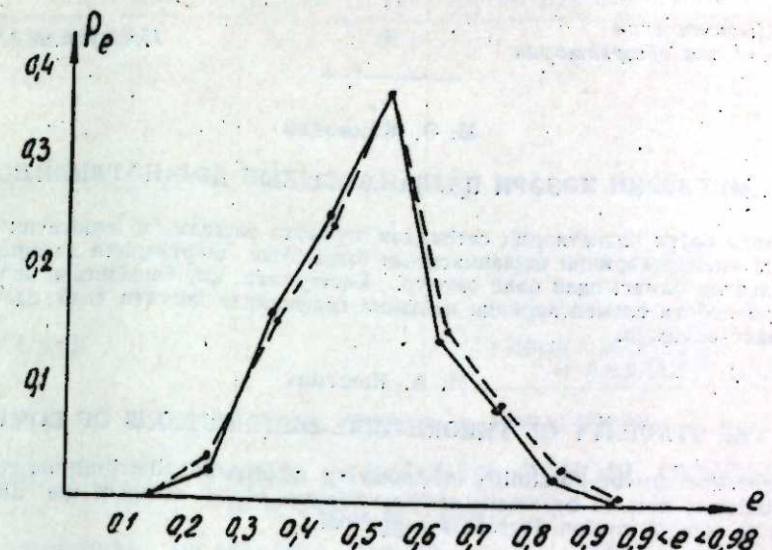


Рис. 2

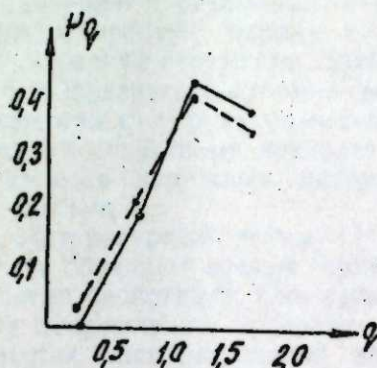


Рис. 3

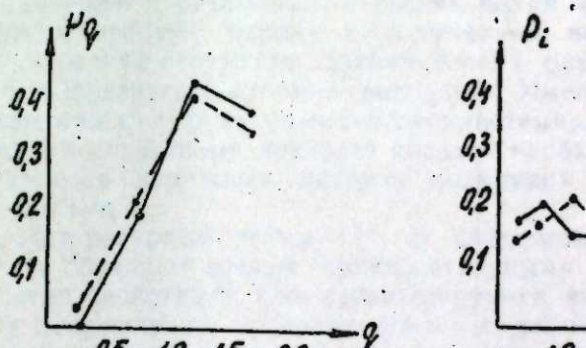


Рис. 4

Приведенные графики показывают, что новые гипотетические распределения (при $\Delta\beta=10^\circ$, $\Delta\lambda=15^\circ$) почти не отличаются от прежних ($\Delta\beta=5^\circ$, $\Delta\lambda=30^\circ$), что говорит об их устойчивости. Если непосредственно сравнить новые гипотетические распределения ($P_{a,e,q,i}$)_{нов.} с распределениями ($P_{a,e,q,i}$)_{набл.} наблюдаемых комет, то можно сказать следующее: на рис. 2, нетрудно заметить расхождение при $e > 0,70$ распределении гипотетических и наблюдаемых комет. Тот же результат мы получили в [2]. А рассматривая рис. 4, можно заметить хорошее согласие распределения гипотетических и наблюдаемых комет по перигельным расстояниям (при $i < 35^\circ$), чего нельзя сказать о распределении перигельных расстояний (при $i > 35^\circ$). Согласно гипотетическому распределению, большинство комет, имеющих $i > 35^\circ$, обладают перигельным расстоянием $2a$. $e < q < 3a$. e .

Для наблюдаемых комет это не характерно. Это показывает, что полученные нами теоретические распределения элементов орбит соответствуют образованию орбит наблюдаемых комет при $i < 35^\circ$, т. е. хорошо согласуются с характеристиками орбит наблюдаемых комет с короткими периодами.

УДК 52/521.1

АСТРОНОМИЯ

М. А. МАМЕДОВ

**ОБ УСТОЙЧИВОСТИ ТЕОРЕТИЧЕСКИХ РАСПРЕДЕЛЕНИЙ
КОМЕТ**

(Представлено академиком АН Азербайджанской ССР Г. Ф. Султановым)

Нами было проведено сравнение распределений гипотетических и наблюдаемых комет по элементам орбит. Распределения были получены при условии, что угол β меняется с шагом 5° , а угол λ — с шагом 30° [1, 2].

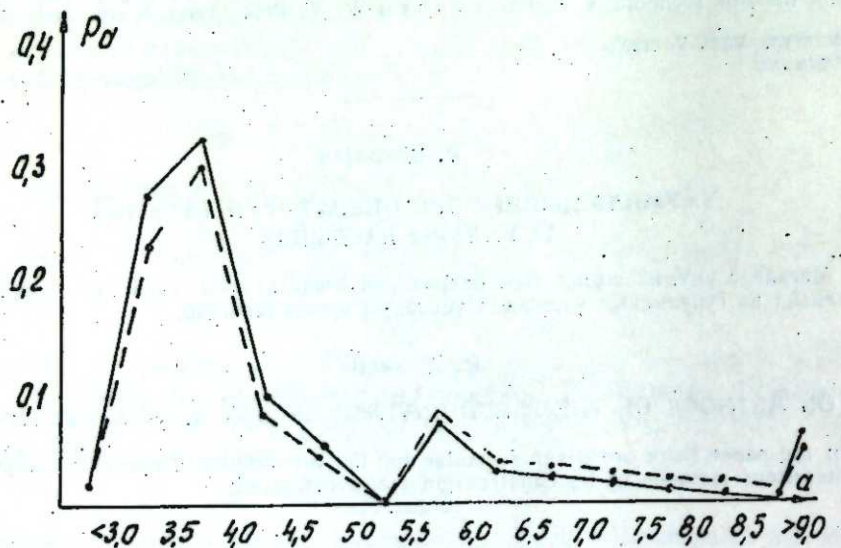


Рис. 1.

Возникает вопрос об устойчивости этих распределений, если рассматривать иную совокупность гипотетических комет, соответствующую варьированию углов λ и β с другими шагами.

На рис. 1, 2, 3, 4 графически отражены распределение по большой полуоси, эксцентриситету, перигельных расстояний и наклоны орбит комет. Пунктирная линия соответствует распределению элементов орбит гипотетических комет, которое получено при предположе-

нии, что $\Delta\beta=5^\circ$, $\Delta\lambda=30^\circ$, а непрерывная линия показывает распределение элементов наблюдаемых комет. Линия распределения элементов орбит получена по новому варьированию λ и β .

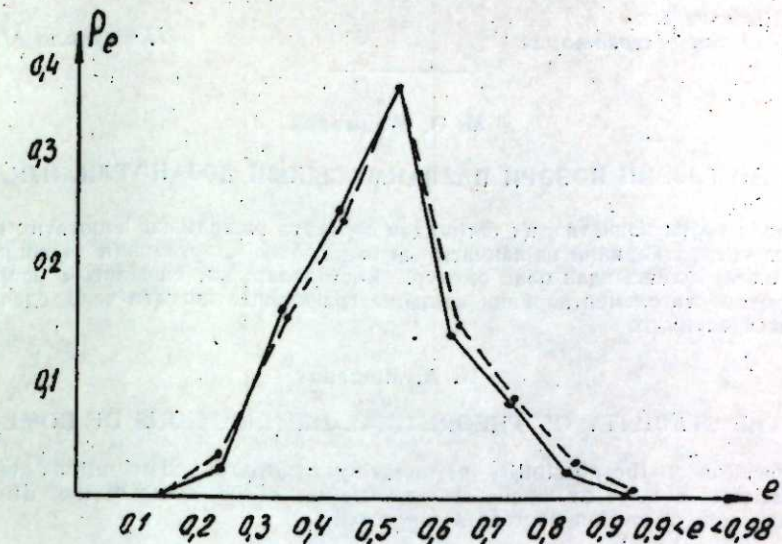


Рис. 2

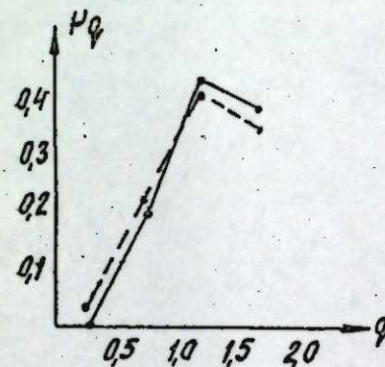


Рис. 3

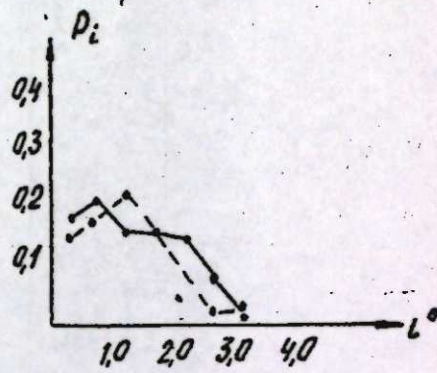


Рис. 4

Приведенные графики показывают, что новые гипотетические распределения (при $\Delta\beta=10^\circ$, $\Delta\lambda=15^\circ$) почти не отличаются от прежних ($\Delta\beta=5^\circ$, $\Delta\lambda=30^\circ$), что говорит об их устойчивости. Если непосредственно сравнить новые гипотетические распределения ($P_{a.e.q.1}$)_{нов.} с распределениями ($P_{a.e.q.1}$)_{набл.} наблюдаемых комет, то можно сказать следующее: на рис. 2, нетрудно заметить расхождение при $e > 0,70$ распределении гипотетических и наблюдаемых комет. Тот же результат мы получили в [2]. А рассматривая рис. 4, можно заметить хорошее согласие распределения гипотетических и наблюдаемых комет по перигельным расстояниям (при $i < 35^\circ$), чего нельзя сказать о распределении перигельных расстояний (при $i > 35^\circ$). Согласно гипотетическому распределению, большинство комет, имеющих $i > 35^\circ$, обладают перигельным расстоянием $2a$. $e < q < 3a$. e .

Для наблюдаемых комет это не характерно. Это показывает, что полученные нами теоретические распределения элементов орбит соответствуют образованию орбит наблюдаемых комет при $i < 35^\circ$, т. е. хорошо согласуются с характеристиками орбит наблюдаемых комет с короткими периодами.

Литература

1. Мамедов М. А. «Изв. АН Азерб. ССР», № 1, 2, 1970. 2. Мамедов М. А.
«Изв. АН Азерб. ССР», № 1, 1971.

Шемахинская
астрономическая обсерватория

М. Э. Мамедов

КАМЕТЛƏРИН НӘЗƏРИ ПАЈЛАНМАСЫНЫН ДӘЈАНӘТЛИЛИЖИ

Мәгәләдә бөйүк планетлəрин сəттiniidен һәрәкәтə башламыш һипотетик каметлəрин орбита элементлəринин пајланмасынын башланғыч шәртлəрini дәјишилдikдə иң гəдəр дәјанəтли олмасындан бəйс олунур. Көстəрилир ки, башланғыч шәртлəрini дәјишилдikдə орбита элементлəринин пајланма графикиндə диггəти чəлб едәчек дәнишмандык һисс олунмур.

М. А. Mamedov

ON THE STABILITY OF THEORETICAL DISTRIBUTIONS OF COMETS

The question on the possibility of receiving of different distributions of orbital characteristics of comets by means of the variation of the steep of the direction of hypothetical comets motion degrees is suggested.

Поступило 11. X 1977

АЗӘРБАЙЧАН ССР ЕЛМЛӘР АКАДЕМИЯСЫНЫН МӘРУЗӘЛӘРИ

ДОКЛАДЫ АКАДЕМИИ НАУК АЗЕРБАЙДЖАНСКОЙ ССР

ТОМ XXXIV ЧИЛД

№ 1

1978

УДК 538.113

**ФИЗИКА ПОЛУПРОВОДНИКОВ
И ДИЭЛЕКТРИКОВ**

Акад. Л. М. ИМАНОВ, З. А. ИБРАГИМОВ

**ЭПР ИССЛЕДОВАНИЕ СТЕКОЛ НА ОСНОВЕ ОКИСЛОВ
ВАНАДИЯ И ТЕЛЛУРА**

В последнее десятилетие стекла стали объектом интенсивных исследований в связи с изобилием предложений по их практическому применению в различных отраслях науки и техники. Потребности в технике требуют наряду с получением новых стекол и глубоких исследований структуры, электрических, оптических и других свойств стеклообразного состояния вещества. Именно установление взаимосвязи между структурными особенностями, составом и физико-химическими свойствами позволит создать необходимые предпосылки для разработки надежных методов получения материалов с заданными свойствами.

Литературные данные [1, 2] свидетельствуют, что теллуритные стекла обладают весьма привлекательными оптическими и электрическими свойствами. Они характеризуются высоким значением показателя преломления, прозрачностью в видимой и близкой инфракрасной областях спектра, низкой электропроводностью и большой диэлектрической проницаемостью, практически не зависящей от частоты вплоть до 10^{10} Гц.

Фосфатные стекла, получаемые на основе переходных металлов, обладают полупроводниковыми свойствами, в частности образцы системы $V_2O_5-P_2O_5$ имеют большую электропроводность [3, 4]. Установлено, что в процессе варки стекол начальные элементы переходных металлов частично переходят из основного (диамагнитного) состояния в парамагнитное d -электронное состояние и служат центрами ЭПР. Эти центры ЭПР и особенности их ближнего окружения во многом определяют электрические, магнитные и другие свойства материала.

Как показано в [5], исследование спектров ЭПР является незаменимым методом изучения структурных особенностей стеклообразных веществ.

При постановке вопроса о получении и исследовании материалов на основе окислов ванадия и теллура мы исходили из стремления получить образцы со свойствами, присущими как теллуритным, так и фосфатным стеклам, которыми удавалось бы варьировать в широких пределах в зависимости от состава и условий получения.

В настоящем сообщении приводятся результаты исследования спектров ЭПР бинарной системы $V_2O_5-TeO_2$.

Исходные реагенты—двуокись теллура и пятиокись ванадия имели марку соответственно "Ч" и "ЧДА". Синтез образцов осуществлялся в фарфоровом тигле в электрической печи при температуре 800–900°C. Расплав выливался на металлическую плиту, и образцы в дальнейшем термообработке не подвергались.

В полученных образцах системы $n V_2O_5$ (100– n) TeO₂ изменение состава производилось шагом 5 мол. % в интервале 95 от до 5 мол. % V₂O₅. Все образцы при комнатной температуре имели электронную проводимость и в отличие от стекол системы $n V_2O_5$ (100– n) P₂O₅, которые при содержании пятиокиси фосфора выше 60 мол. % оказались неустойчивыми из-за высокой гигроскопичности, являлись устойчивыми.

Рентгенодифрактометрические измерения на установке ДРОН-2 показали, что образцы с содержанием TeO₂ до 30 мол. % включительно являются кристаллическими, а начиная с 35 мол. % TeO₂—аморфными. Спектры ЭПР снимались на стандартном спектрометре РЭ-1301 при температурах жидкого азота и комнатной. Концентрация

Рис. 1. Спектры ЭПР образцов системы $n V_2O_5$ (100– n) TeO₂ при n , равном: *a*—95; *b*—80; *c*—70; *d*—15 мол. %.

центров ЭПР определялась путем сравнения с сигналом от известного числа ионов Cu²⁺ в кристалле CuSO₄·5H₂O.

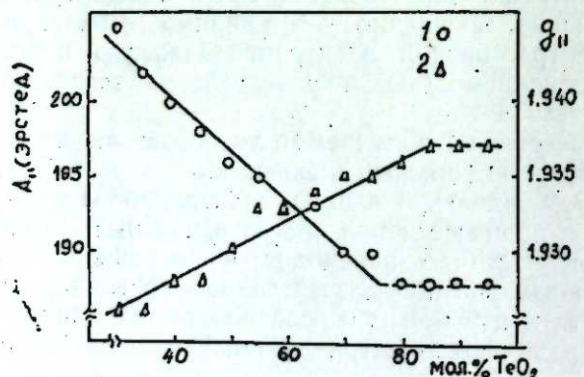


Рис. 2. Зависимость параметров сверхтонкой структуры иона VO²⁺ от содержания TeO₂. 1— g_1 ; 2— A_1 .

Во всех изготовленных образцах системы $n V_2O_5$ (100– n) TeO₂ наблюдались линии ЭПР (рис. 1). С уменьшением содержания окиси металла в интервале от 95 до 75 мол. % наблюдаются синглетные дипольно уширенные линии, ширина которых увеличивается от 120 ± 5 до 150 ± 5 э. При $n = 95$ линия симметричная, а начиная с 90 мол. % V₂O₅ появляется асимметрия, растущая с уменьшением концентрации V₂O₅ до $n = 75$ (рис. 1, *a*, *b*). Эти составы характеризу-

ются $g_{\text{эфф.}}$, равным 1.985 ± 0.005 , хотя с уменьшением n наблюдается некоторое понижение g -фактора.

При $n = 70$ в спектре ЭПР проявляются компоненты СТС, и с дальнейшим ростом содержания стеклобразователя разрешение улучшается (рис. 1, *b*, *c*). Этот спектр характерен для иона нечетного изотопа ванадия, находящегося в 3d' электронной конфигурации, и

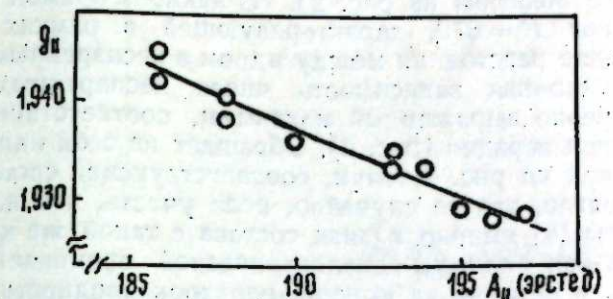


Рис. 3. Зависимость между параметрами СГ A_1 и g_1 .

описывается спин-гамильтонианом аксиальной симметрии с параметрами $g_1 = 1.98 \pm 0.02$, $g_{\parallel} = 1.93 \pm 0.02$, $A_1 = 68 \pm 10$ э и $A_{\parallel} = 194 \pm 10$ э. Более точные измерения позволили выявить зависимость параметров спин-гамильтониана от состава (рис. 2), где в интервале изменения окиси теллура от 30 до 80 мол. % значения g_1 и g_{\parallel} уменьшаются, а A_1 и A_{\parallel} растут. Понижение g_1 и g_{\parallel} , видимо, является следствием роста орбитального вклада в спин электрона. Постоянство значений параметров СГ в области состава 20–2 мол. % V₂O₅, по-видимому, обусловлено неизменностью ближнего окружения парамагнитного иона и характера связи.

Для исследованных стекол, как и в случае монокристаллической и аморфной пятиокиси ванадия [6], удовлетворяются условия $g_{\parallel} < g_1$ и $A_{\parallel} > A_1$. Это свидетельствует о том, что из-за сильной двойной ковалентной связи центрами ЭПР являются комплексы ванадила VO²⁺. Наблюдение в аморфных образцах линий с хорошо разрешенными компонентами СТС, по-видимому, объясняется тем, что в них по сравнению с кристаллическими образцами парамагнитные ионы имеют "большую свободу" выбора ближнего окружения, вследствие чего поле атомов лигандов, локализующихся в парамагнитном ионе, создает эффект "сильного поля" ($D, E \gg g\beta H$) и снимает вырождение, обусловленное наличием ядерного момента $I = 7/2$ иона V⁴⁺.

Сохранение СТС линий даже при комнатной температуре связано с большим значением времени спин-решеточной релаксации и указы-

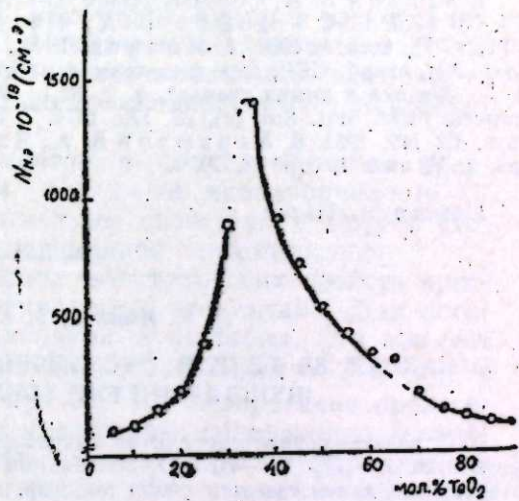


Рис. 4. Зависимость числа неспаренных спинов $N_{n.s}$ от состава.

вает на то, что аксиальная составляющая внутреннего поля значительно отделяет нижний орбитальный синглетный уровень от прилегающих верхних.

На рис. 3 приведена зависимость g_{\parallel} от A_1 , где данные для составов от 20 до 2 мол. % содержания V_2O_5 представлены на прямой одной нижней точкой (независимость параметров СГ от состава в этом интервале показана на рис. 2). Из наклона прямой найдено значение величины $P = 670$, характеризующей в рамках теории [7] среднее значение расстояния между ядром и неспаренным электроном.

Концентрационная зависимость числа неспаренных электронов (N_{us}) имеет резко выраженный максимум, соответствующий составу 65 мол. % оксида ванадия (рис. 4). Обращает на себя внимание отклонение от кривой на рис. 4 точки, соответствующей составу с 35 мол. % V_2O_5 . Вероятно, это не случайно, если учесть, что по измерениям авторов работы [8] именно вблизи состава с такой же концентрацией V_2O_5 наблюдается минимум диэлектрической проницаемости и показателя потерь и перегиб на кривой электропроводности.

В заключение отметим, что устойчивость полученных образцов контролировалась путем периодической повторной записи спектра ЭПР с последующим сравнением интенсивностей и ширины линий, а также определения микротвердости. В частности, микротвердость для образцов состава $n = 75$ и $n = 5$ равна 61 кГ/мм^2 и 63 кГ/мм^2 соответственно.

Литература.

1. Яхкинд А. К. Стеклообразное состояние. Л., 1971.
2. J. Ph. Poley. Nature 174, № 4423, 1954.
3. Иоффе В. А., Петрина И. Б., Поберовская Н. С. ФТТ, т. 11, вып. 4, 1961.
4. Иманов Л. М., Нагиев В. М., Джаббаров А. А. Изв. АН Азерб. ССР, сер. физ.-техн. и матем. наук, № 4, 1969.
5. Богомолова Л. Д. Физика и химия стекла, т. 2, № 1, 1976.
6. Kahn A. J. Livage and R. Collongues. Phys. Stat. Sol. (a), 26, 175, 1974.
7. Kivilis D., Neiman R. J. Chem. Phys. 32, 149, 1961.
8. Харьков В. А., Яхкинд А. К. Стеклообразное состояние, т. V, вып. 1, стр. 41, 1970.

Институт физики

Поступило 29. X. 1977

Л. М. Иманов, З. А. Ибраимов

ВАНАДИУМ ВЭ ТЕЛЛУР ОКСИДЛЭРИ ЭСАСЫНДА ҮЗҮҮРЛАНМЫШ ШУШЭЛЭРИН ЕПР ҮСҮҮ ИЛЭ ТЭДГИГИ

ЕПР, рентгенидрактометрик вэ микробёрклик тэдгигатларына эсасэн көстөрлийшдир ки, $nV_2O_5 \cdot (100-n)TeO_2$ системинин компонентлэринин истээнэлэн консервижасында дааныглы нүүмнэлэр залын.

Мэгэлэдэ VO^{2+} ионунун ЕПР спектрийн спин-хамилтониан параметрлэринин вэ тэклэйниш электронларын саёнын 5 мол. % аддымларла 95-дэн 5 мол. %-э гэдэр тэркибдэн асыллыгы ёршилшидир.

L. M. Imanov, Z. A. Ibragimov

EPR INVESTIGATION OF GLASSES ON THE BASIS OF THE OXIDES OF VANADIUM AND TELLURIUM

According to the data obtained from EPR, X-ray diffractometer and microhard, it shows that the samples of the system $nV_2O_5 \cdot (100-n)TeO_2$ are stable at any correlation of the components. Dependence of the spin Hamiltonian parameters of spectrum of EPR ion VO^{2+} and number of unpaired electrons of the composition in the interval of change of concentration from 95 to 5 mol % with a step of 5 mol %, are observed.

УДК 621.315.592

ФИЗИКА ПОЛУПРОВОДНИКОВ

Член-корр. М. И. АЛИЕВ, Г. И. ИСАКОВ

ЭЛЕКТРИЧЕСКИЕ СВОЙСТВА GaSb, ЛЕГИРОВАННОГО ГАДОЛИНИЕМ И ИТТЕРБИЕМ

Исследование электрофизических свойств антимонида галлия, легированного различными примесями, посвящен ряд работ [1—5]. Однако в литературе отсутствуют сведения о поведении в нем примесей редкоземельных элементов.

Из литературы [6] известно, что легирование металлов редкоземельными элементами приводит к некоторой очистке их от таких примесей, как кислород, азот и др. Некоторые исследователи [7—8] указывают, что при легировании Ge редкоземельными элементами примеси легирующего элемента сильно взаимодействуют с неконтролируемыми примесями.

Примеси редкоземельных элементов в полупроводниках представляют интерес и в связи с тем, что из-за неполноты $4f$ оболочки могут проявляться их магнитные свойства. С другой стороны, они являются элементами с переменной валентностью.

Представляет интерес исследование электрических свойств кристаллов GaSb, легированных редкоземельными элементами. Для легирования были выбраны примеси гадолиния и иттербия. Эти примеси были введены в GaSb с концентрацией и подвижностью дырок $p = 1,3 \cdot 10^{17} \text{ см}^{-3}$, $U = 700 \text{ см}^2/\text{в. сек}$ при 300°К . Легирование производилось как путем сплавления GaSb и лигатуры, содержащей 1 ат % РЗМ, так и непосредственным сплавлением GaSb и необходимого количества легирующей примеси иттербия или гадолиния. Расплав выдерживался при температуре около 900°C в течение 3 часов, а затем медленно охлаждался со скоростью 50 град/час. Для получения однородных материалов производилось непрерывное перемешивание расплава. Однородность проверялась измерением коэффициента Холла в образцах, вырезанных из различных частей слитка. Измерения показали, что концентрация вдоль образца постоянна и при всех уровнях легирования получается p -тип проводимости.

Проведены измерения электропроводности и эффекта Холла в интервале 78 — 500°K и магнитном поле 7500 э.

В таблице приведены параметры исследованных образцов при 80°K . Видно, что получается заметное различие между концентрацией легирующих атомов и дырок. Интересно, что имеет место также сильное различие концентрации дырок при однократном уровне легирования иттербием и гадолинием. Концентрация дырок в случае леги-

рования иттербием получается больше, чем при легировании гадолиинием.

Образцы	Примесь	Концентрация легирующих атомов $N, \text{ см}^{-3}$	Концентрация дырок $P, \text{ см}^{-3}$	Приведенный хим. потенциал μ^*
1	Yb	$1,76 \cdot 10^{18}$	$3,6 \cdot 10^{18}$	-3,5
3	Yb	$8,8 \cdot 10^{18}$	$6,65 \cdot 10^{18}$	-2,45
7	Yb	$1,76 \cdot 10^{19}$	$4,3 \cdot 10^{18}$	3,21
8	Yb	$5 \cdot 10^{19}$	$7 \cdot 10^{18}$	4,6
9	Yb	$1,76 \cdot 10^{20}$	$1,2 \cdot 10^{19}$	6,75
10	Yb	$8,8 \cdot 10^{19}$	$2 \cdot 10^{19}$	8,9
2	Gd	$1,76 \cdot 10^{18}$	$1,1 \cdot 10^{17}$	-2,03
4	Gd	$8,8 \cdot 10^{18}$	$2,27 \cdot 10^{17}$	-1,29
5	Gd	$8,8 \cdot 10^{19}$	$2,55 \cdot 10^{18}$	2,07
9	Gd	$1,76 \cdot 10^{20}$	$3,9 \cdot 10^{18}$	3

Это отличие можно объяснить электронной структурой GaSb и легирующего элемента. Свободный атом галлия имеет конфигурацию $4 s^2 4 p^1$, а сурьмы— $5 s^2 5 p^1$. Для образования тетраэдрической связи требуется $3 p^3$ -конфигурация. При этом атомы галлия за счет $s-p$ -перехода приобретают энергетически более устойчивую конфигурацию $3 p^2$. В отличие от галлия атомы сурьмы претерпевают изменения: $s^2 p^3 - sp^4 \rightarrow sp^3 + e$. Это дает возможность образования sp^3 -конфигурации галлия в соединении GaSb следующим образом: $sp^2 + e \rightarrow sp^3$. Таким образом, у каждого атома имеется sp^3 -конфигурация с четырьмя электронами, обеспечивающими ковалентную связь. Однако атомы гадолиния имеют электронную структуру $4 f^7 5 d^1 6 s^2$. Наполовину заполненный $4 f$ уровень устойчив и не участвует в кинетических явлениях. Уровни $5 d$ и $6 s$ расположены очень близко и определяют валентность Gd. Состояния $5 d^1 6 s^2$ обеспечивают трехвалентность гадолиния. В этом случае атомы гадолиния остаются нейтральными. Согласно [9], ионы Gd, кроме $4 f^1$, имеют конфигурации $4 f^7 5 d^1$. В этом случае гадолиний двухвалентный и при замещении атомов галлия он образует акцепторные уровни. Но вероятность $4 f^7$ состояния намного больше, чем $4 f^7 5 d^1$ и при введении $1,76 \cdot 10^{20} \text{ см}^{-3}$ атомов Gd в GaSb концентрация носителей увеличивается до $3,9 \cdot 10^{18} \text{ см}^{-3}$. Отсюда видно, что доля ионизированных атомов Gd в GaSb незначительна.

В отличие от гадолиния свободный атом Yb имеет электронную структуру $4 f^{14} 6 s^2$. При этом ионы Yb в основном имеют конфигурацию $4 f^{14}$ и за счет $f-d$ -перехода— $4 f^{13}$ [9]. В случае $4 f^{14}$ иттербий является двухвалентным и действует как акцептор, а в случае $4 f^{13}$ ведет себя как трехвалентный и остается нейтральным. Но вероятности $4 f^{14}$ и $4 f^{13}$ состояний сравнимы и при легировании иттербием доля ионизированных атомов больше, чем при легировании гадолинием.

На рис. 1 представлена зависимость $\sigma \sim f\left(\frac{1000}{T}\right)$. При малом уровне легирования с повышением температуры в интервале 77–200° К σ растет. В образцах $p > 10^{18} \text{ см}^{-3}$ наблюдается металлический ход и с увеличением температуры в интервале 200–500° К σ уменьшается в 2 раза.

На рис. 2 представлена зависимость коэффициента Холла от температуры. Из рисунка видно, что в образцах 1, 2, 3, 4 с повышением

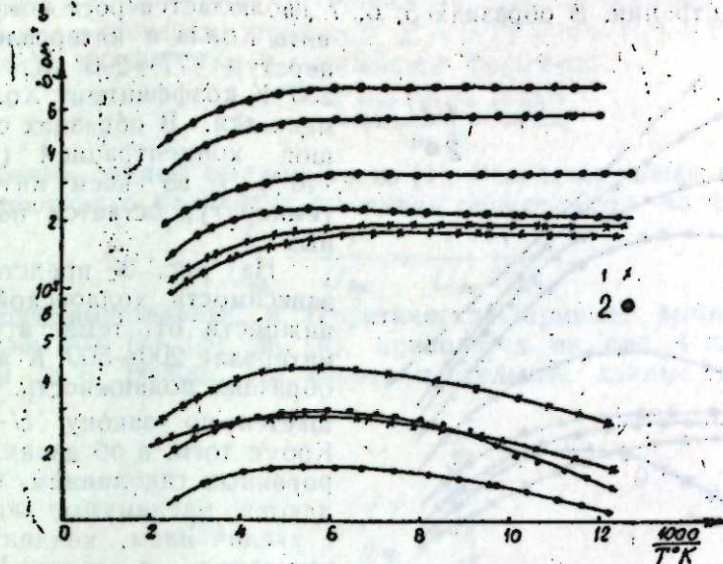


Рис. 1. Зависимость электропроводности от температуры.
1—GaSb, легированый Gd; 2—GaSb, легированый Yb.

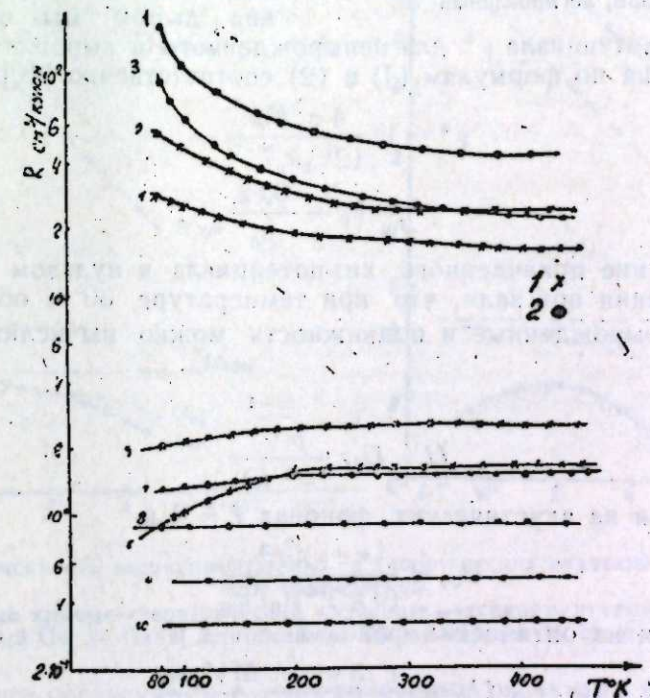


Рис. 2. Зависимость коэффициента Холла от температуры.
1—GaSb, легированый Gd; 2—GaSb, легированый Yb.

температуры в интервале 77–350° К R уменьшается, что соответствует росту концентрации. В образцах 5, 6, 7 наблюдается рост коэффициента Холла в интервале температур 77–200° К. После 200° К коэффициент Холла не меняется. В образцах с большой концентрацией ($p > 4 \cdot 10^{18}$) k во всем интервале температур остается постоянным.

На рис. 3 представлена зависимость холловской подвижности от температуры. В интервале 200–500° К во всех образцах подвижность уменьшается по закону $U \sim T^{-1}$. Кроме того, в образцах, легированных гадолинием, наблюдаются максимумы, которые с увеличением концентрации смещаются в сторону более высоких температур.

Для сопоставления экспериментальных данных с теоретическими, а также для выяснения механизма рассеяния дырок мы определили уровень химпотенциала μ^* для невырожденного и вырожденного газа носителей тока по формулам (1) и (2) соответственно [10].

$$\mu^* = \ln \frac{4 \pi^{1/2} h p}{(2m_p k_0 T)^{1/2}} \quad (1)$$

$$\mu^* = \mu_0 - \frac{0.82}{\mu_0}, \quad (2)$$

Рис. 3. Зависимость холловской подвижности от температуры: 1—ГaSb, легированый Gd; 2—GaSb, легированый Yb.

уровень химпотенциала μ^* для невырожденного и вырожденного газа носителей тока по формулам (1) и (2) соответственно [10].

$$U = U_{0r} \frac{p^{2r-1}}{m^2(\epsilon)} \quad (3)$$

для рассеяния на акустических фононах $r = 0$ и

$$U_{00} = \frac{\pi e \rho \tau_0^{1/3}}{(3\pi^2)^{1/6} K_0 T E_0^2} \quad (4)$$

для рассеяния на оптических фононах $r = 1$ и

$$U_{01} = \frac{e (3\pi^2)^{1/6} h^3 M V_0 w_0^2}{4 (ee^*)^2 K_0 T r_{\text{оптич}}} \quad (5)$$

для рассеяния на ионизированных примесях $r = 2$ и

$$U_{02} = \frac{3 \pi h^3 \times^2}{2 c^3 \lambda_1 B}, \quad (6)$$

где ρ —плотность кристалла, τ_0 —скорость звука, E_0 —константа деформационного потенциала, M —приведенная масса ионов, V_0 —объем элементарной ячейки, w_0 —предельная частота оптических фононов,

e^* —эффективный заряд, \times —диэлектрическая постоянная, N_1 —концентрация ионизированных примесей, $B = \ln(1+\epsilon) - \epsilon/(1+\epsilon)$, $\epsilon = 4K^2 r_s^2$, r_s —радиус экранировки и выражается формулой

$$r_s^2 = \frac{4 e^2 m(r) (4\pi^2 p)^{1/3}}{\pi \times h^2}. \quad (7)$$

Справочные данные были взяты из [1]. Результирующая подвижность для смешанного механизма рассеяния определялась по формуле:

$$\frac{1}{U_{\text{общ}}} = \frac{1}{U_{\text{ион}}} + \frac{1}{U_{\text{ак}}} + \frac{1}{U_{\text{опт}}}. \quad (8)$$

Экспериментальные и теоретические кривые, вычисленные по формулам (3), (4), (5), (6), (8), приводятся на рис. 4 для образцов № 10 и № 6. Видно, что экспериментальные данные для образца

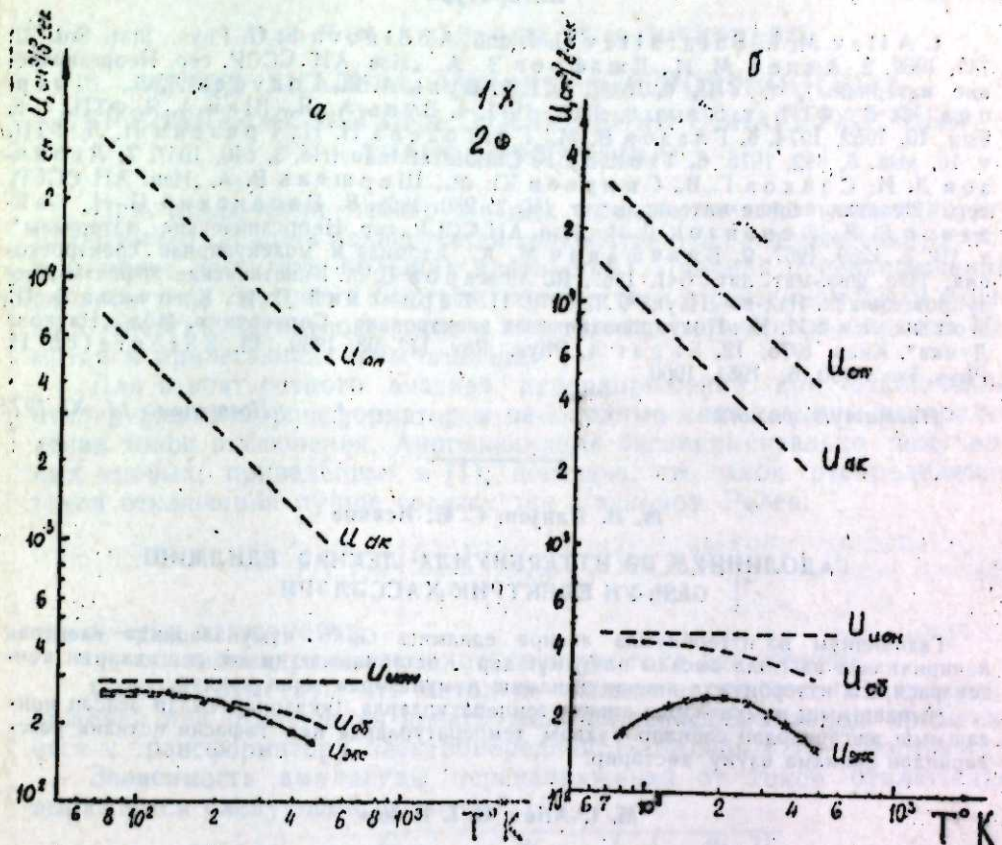


Рис. 4. Зависимость экспериментальных и теоретических значений подвижности от температуры.

(Пунктирные кривые—теоретические, сплошные—экспериментальные). 1—GaSb, легированый Gd; 2—GaSb, легированый Yb. а—образец № 10; б—образец № 6.

№ 10 хорошо согласуются с теоретическими расчетами и в интервале температур 78–200° К рассеяние дырок происходит в основном на ионизированных примесях, а при высоких температурах, наряду с рассеянием на ионизированных примесях, оказывается рассеяние на акустических и оптических колебаниях решетки. Для образца № 6 численные значения холловской подвижности меньше теоретического, и только после 200° К ход кривых $U_{\text{акс}}$ и $U_{\text{общ}}$ носит одинаковый характер, что свидетельствует о смешанном механизме рассеяния при этом. Ниже 200° К подвижность уменьшается и проходит через максимум.

Такой ход подвижности связан с возрастанием коэффициента Холла в интервале температур 78–200° К. Подобное возрастание коэффициента Холла наблюдается в n -GaSb [1, 12] и в GaAs [13], что авторы объясняют наличием второй зоны проводимости. Однако исследованный нами GaSb имеет p -тип проводимости. По-видимому, возрастание R с повышением температуры можно объяснить снятием вырождения в образцах 5, 6, 7, в которых значение приведенного химпотенциала равняется нулю при температурах 200, 300, 310° К соответственно. Как известно, для вырожденных полупроводников R от механизма рассеяния не зависит холловский фактор $A = 1$. В невырожденном случае при рассеянии носителей тока на акустических фононав $A = 3\pi/8$ и на ионах примеси $A = 315\pi/312$. Поэтому при снятии вырождения R должен возрастать.

Литература

1. Aliev M. I., Safaraliev G. I. and Abdinova S. G. Phys. Stat. Sol. 22, 741, 1967. 2. Алиев М. И., Джафров З. А. Изв. АН СССР, сер. Неорганические материалы, т. VIII, 6, 1059, 1971. 3. Вуль А. Я., Голубев Л. В., Шмарцев Ю. В. ФТП, т. 5, вып. 6, 1208, 1971. 4. Вуль А. Я., Шик А. Я. ФТП, т. 8, вып. 10, 1952, 1974. 5. Глазов В. М., Глаголева Н. Н., Грязева Н. Л. ФТП, т. 10, вып. 5, 882, 1976. 6. Громье F. Chimie et Industrie, 3, 540, 1957. 7. Левинзон Д. И., Сачков Г. В., Смирнов Ю. М., Шершель В. А. Изв. АН СССР, сер. Неорганические материалы, т. IV, 2, 280, 1968. 8. Баранский П. И., Байдаков В. В., Левинсон Д. И. Изв. АН СССР, сер. Неорганические материалы, т. III, 7, 1259, 1967. 9. Ельшевич М. А. Атомная и молекулярная спектроскопия. Изд. физ.-мат. лит., 341, 1962. 10. Аскеров Б. М. Кинетические эффекты в полупроводниках. Изд-во "Наука", Л., 1970. 11. Баранский П. И., Ключков В. П., Потекевич И. В. Полупроводниковая электроника. Справочник. Изд. "Наукова Думка", Киев, 1975. 12. Sagat A. Phys. Rev. 117, 93, 1960. 13. Ehrgenreich H. Phys. Rev., 120, 6, 1951, 1960.

Институт физики

Поступило 14. XI 1977

М. И. Элиев, Г. И. Исаков

ГАДОЛИНИУМ ВЭ ИТТЕРБИУМЛА ЛЕКИРЭ ЕДИЛМИШ GaSb-ҮН ЕЛЕКТРИК ХАССӘЛӘРИ

Гадолиниум вэ иттербиумла лекирэ едилмиш GaSb нумунәләриндә електрик кечиричилүү вэ һөннә эмсалы өлчүлүшшүр. Көстәрилмешдир ки, дешикләрин концентрасияси иттербиумла лекирэ едилмиш нүмүнәләрдә даһа чохдур.

Чырлашиш нүмүнәләрдә ашагы температурлarda ўқдашылымылар эсасен ионлашмыш ашгарлардан сәпилир. Йүхары температурлarda исә гәфесин истилик рәсәләрнән сәпилимә өзүнү көстәрир.

M. I. Aliev, G. I. Isakov

ELECTRICAL PROPERTIES OF GaSb DOPED WITH GADOLINIUM AND YTTERBIUM

On the sample of GaSb, doped with gadolinium and ytterbium, electrical conductivity and Hall coefficient have been measured. It is shown that the concentration of hole in ytterbium doped sample is appreciably move. In the degenerated sample at low temperature current carrier is mainly scattered on the ionization impurities. At high temperature, scattering on ionization impurities together with the scattering on thermal lattice vibration is appeared.

УДК 621.315.001.24

ФИЗИКА

Акад. Ч. М. ДЖУВАРЛЫ, Т. А. ЮСИФЗАДЕ

МЕТОД АНАЛИЗА АМПЛИТУД ВЕРОЯТНОСТНЫХ ПЕРЕНАПРЯЖЕНИЙ ПРИ ОТКЛЮЧЕНИИ НЕНАГРУЖЕННЫХ ТРАНСФОРМАТОРОВ

При отключении ненагруженных трансформаторов изоляция отключаемого аппарата подвергается воздействию перенапряжений, которые могут достигать больших кратностей. Причина перенапряжений данного типа состоит в быстром обрыве тока и связанном с ним переходе энергии магнитного поля в электрическую энергию емкости обмотки и прилегающих участков шин [1].

Для вероятностного анализа перенапряжений при отключении ненагруженных трансформаторов необходимо знать законы распределения токов отключения. Апроксимация экспериментально полученных кривых, приведенных в [1], показала, что закон распределения токов отключения лучше согласуется с законом Рэлея:

$$f(i_0) = \frac{i_0 - 1}{\sigma^2} \cdot \exp \left[-\frac{(i_0 - 1)^2}{2\sigma^2} \right], \quad (1)$$

где i_0 — ток отключения,

σ — среднеквадратичное отклонение тока отключения.

Следует отметить, что методика анализа вероятностных перенапряжений при отключении ненагруженных трансформаторов применяется к трансформатору электропередачи Волжская ГЭС—Москва [2].

Зависимость амплитуды перенапряжений от токов отключения выражается следующей формулой [1]:

$$\kappa_0 = \sqrt{E^2 + \beta^2 \cdot \frac{2i_0}{I} - \frac{1}{\gamma^2} \cdot \left[\ln \frac{2i_0}{I} \right]^2}. \quad (2)$$

Зависимость $\kappa_0 = \psi(i_0)$ приведена на рис. 1. Для облегчения дальнейших выкладок запишем (2) в следующем виде:

$$\kappa_0 = \sqrt{a + x_1 - x_2}, \quad (3)$$

где

$$a = E^2, \quad x_1 = \kappa_1 \cdot i_0, \quad \kappa_1 = \beta^2 \cdot \frac{2}{I} = \beta^2 \cdot x_0, \quad x_0 = \frac{2}{I},$$

$$x_2 = \kappa_2 \cdot \ln^2 x_0 \cdot i_0, \quad \kappa_2 = \frac{1}{\gamma^2}.$$

Нетрудно заметить, что случайные величины x_1 и x_2 зависимы. Воспользовавшись формулой

$$f(x_1) = \frac{1}{\left| \frac{dx_1}{di_0} \right|} \cdot f(i_0), \quad (4)$$

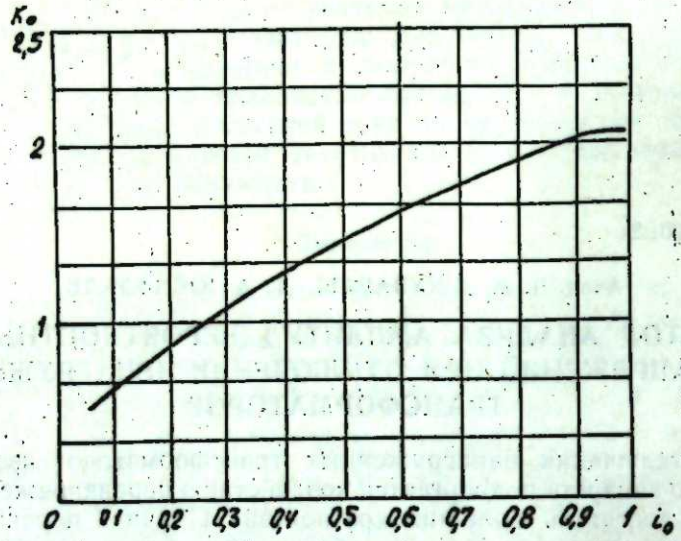


Рис. 1. Зависимость амплитуды перенапряжений от тока отключения.

можно определить закон распределения случайной величины x_1 :

$$f(x_1) = \left| \frac{x_1 - \kappa_1}{\kappa_1 \cdot \sigma^2} \right| \cdot \exp \left[-\frac{(x_1 - \kappa_1)^2}{2\kappa_1^2 \cdot \sigma^2} \right]. \quad (5)$$

Подобным образом можно определить закон распределения случайной величины x_2 :

$$f(x_2) = \frac{e^{V_{x_2/\kappa_2}}}{2x_0 \cdot \sqrt{x_2 \cdot \kappa_2}} \cdot f\left(\frac{1}{x_0} \cdot e^{V_{x_2/\kappa_2}}\right) + \frac{e^{-V_{x_2/\kappa_2}}}{2x_0 \cdot \sqrt{x_2 \cdot \kappa_2}} \cdot f\left(\frac{1}{x_0} \cdot e^{-V_{x_2/\kappa_2}}\right)$$

или

$$\begin{aligned} f(x_2) = & \left| \frac{\exp V_{x_2/\kappa_2}}{2x_0 \cdot \sqrt{x_2 \cdot \kappa_2}} \cdot \frac{\exp(V_{x_2/\kappa_2}) - x_0}{x_0 \cdot \sigma^2} \right| \cdot \exp \left[-\frac{\exp(V_{x_2/\kappa_2}) - x_0}{2x_0^2 \cdot \sigma^2} \right] + \\ & + \left| \frac{\exp(-V_{x_2/\kappa_2})}{2x_0 \cdot \sqrt{x_2 \cdot \kappa_2}} \cdot \frac{\exp(-V_{x_2/\kappa_2}) - x_0}{x_0 \cdot \sigma^2} \right| \times \\ & \times \exp \left[-\frac{\exp(-V_{x_2/\kappa_2}) - x_0}{2x_0^2 \cdot \sigma^2} \right]. \end{aligned} \quad (6)$$

Для облегчения последующих выкладок введем обозначение:

$$x_3 = x_1 + a. \quad (7)$$

Закон распределения случайной величины x_3 легко записать по (5):

$$f(x_3) = \left| \frac{x_3 - a - \kappa_1}{\kappa_1 \cdot \sigma^2} \right| \cdot \exp \left[-\frac{(x_3 - a - \kappa_1)^2}{2\kappa_1^2 \cdot \sigma^2} \right]. \quad (8)$$

Прежде чем определить закон распределения κ_0 , следует отметить, что непосредственное описание его по формуле (2) представляет

значительные трудности. В связи с этим представляется целесообразным следующий путь: сначала определить закон распределения κ_0^2 , затем по $f(\kappa_0^2)$ описать закон распределения κ_0 .

С учетом (7) выражение (3) можно записать в виде:

$$\kappa_0^2 = x_3 - x_2. \quad (9)$$

В связи с тем, что случайные величины x_2 и x_3 взаимно зависимы (посредством i_0), их совместную плотность вероятности можно записать в следующем виде:

$$f(x_2, x_3) = f(x_2) \cdot f(x_3/x_2). \quad (10)$$

Учитывая, что

$$f(x_3/x_2) = \delta(x_3 - \eta_1) + \delta(x_3 - \eta_2), \quad (11)$$

где

$$\eta_1 = \frac{1}{x_0} \cdot e^{V_{x_2/\kappa_2}} + a, \quad \eta_2 = \frac{1}{x_0} \cdot e^{-V_{x_2/\kappa_2}} + a, \quad x_0 = \frac{x_1}{\kappa_1},$$

Выражение (10) примет вид:

$$f(x_2, x_3) = f(x_2) \cdot \delta(x_3 - \eta_1) + f(x_2) \cdot \delta(x_3 - \eta_2)$$

или

$$f(x_2, x_2 + \kappa_0) = f(x_2) \cdot \delta(\kappa_0 - \eta_1) + f(x_2) \cdot \delta(\kappa_0 - \eta_2), \quad (12)$$

где

$$\eta_1^* = \frac{1}{x_0} \cdot e^{V_{x_2/\kappa_2}} - x_2 + a, \quad \eta_2^* = \frac{1}{x_0} \cdot e^{-V_{x_2/\kappa_2}} - x_2 + a.$$

При этом закон распределения κ_0^2 можно определить из следующего выражения:

$$\begin{aligned} f(\kappa_0^2) = & \int_{-\infty}^{\infty} f(x_2, x_2 + \kappa_0^2) dx_2 = \int_{-\infty}^{\infty} f(x_2) \cdot \delta(\kappa_0^2 - \eta_1^*) dx_2 + \\ & + \int_{-\infty}^{\infty} f(x_2) \cdot \delta(\kappa_0^2 - \eta_2^*) dx_2. \end{aligned} \quad (13)$$

Учитывая свойства δ -функций и производя замену переменных в интегралах выражения (13), получим:

$$f(\kappa_0^2) = f[\varphi_1(\kappa_0^2)] \cdot \left| \frac{\partial [\varphi_1(\kappa_0^2)]}{\partial (\kappa_0^2)} \right| + f[\varphi_2(\kappa_0^2)] \cdot \left| \frac{\partial [\varphi_2(\kappa_0^2)]}{\partial (\kappa_0^2)} \right|. \quad (14)$$

Функции $\varphi_1(\kappa_0^2)$ и $\varphi_2(\kappa_0^2)$ можно определить из следующих соотношений:

$$1. \quad \kappa_0^2 = \frac{1}{x_0} \cdot e^{V_{x_2/\kappa_2}} - x_2 + a,$$

$$2. \quad \kappa_0^2 = \frac{1}{x_0} \cdot e^{-V_{x_2/\kappa_2}} - x_2 + a.$$

Учитывая, что $e^{V_{x_2/\kappa_2}} \gg x_2$ (в первом выражении) и $\frac{1}{x_0} \cdot e^{-V_{x_2/\kappa_2}} \approx 0$ (во втором выражении), можно записать:

$$\varphi_1(\kappa_0^2) = \kappa_2 [\ln x_0 \cdot (\kappa_0^2 - a + x_{cp})]^2, \quad (15)$$

$$\varphi_2(\kappa_0^2) = a - \kappa_0^2, \quad (16)$$

где x_{cp} — среднее (неслучайное) значение случайной величины.

С учетом (15) и (16) выражение (14) примет вид:

$$f(\kappa_0^2) = \left| \frac{\exp [\ln x_0 \cdot (\kappa_0^2 - a + x_{cp})]}{2x_0 \cdot \kappa_2 \cdot \ln x_0 \cdot (\kappa_0^2 - a + x_{cp})} \cdot \frac{\exp [\ln x_0 \cdot (\kappa_0^2 - a + x_{cp})] - x_0}{x_0 \cdot \sigma^2} \right| \times$$

$$\begin{aligned}
& \times \exp \left\{ - \frac{\left[\exp (\ln x_0 \cdot (\kappa_0^2 - a + x_{cp})) - x_0 \right]^2}{2x_0^2 \cdot \sigma^2} \right\} + \\
& + \left| \frac{\exp (-\ln x_0 \cdot (\kappa_0^2 - a + x_{cp}))}{2x_0 \cdot \kappa_2 \cdot \ln x_0 \cdot (\kappa_0^2 - a + x_{cp})} \right| \cdot \frac{\exp (-\ln x_0 \cdot (\kappa_0^2 - a + x_{cp})) - x_0}{x_0 \cdot \sigma^2} \times \\
& \times \exp \left\{ - \frac{\left[\exp (-\ln x_0 \cdot (\kappa_0^2 - a + x_{cp})) - x_0 \right]^2}{2x_0^2 \cdot \sigma^2} \right\} + \\
& + \left| \frac{\exp (V(a - \kappa_0^2) / \kappa_2)}{2x_0 \cdot V(a - \kappa_0^2) \cdot \kappa_2} \right| \cdot \frac{\exp (V(a - \kappa_0^2) / \kappa_2) - x_0}{x_0 \cdot \sigma^2} \times \\
& \times \exp \left\{ - \frac{\left[\exp (V(a - \kappa_0^2) / \kappa_2) - x_0 \right]^2}{2x_0^2 \cdot \sigma^2} \right\} + \left| \frac{\exp (-V(a - \kappa_0^2) / \kappa_2)}{2x_0 \cdot V(a - \kappa_0^2) \cdot \kappa_2} \right| \times \\
& \times \frac{\exp' (-V(a - \kappa_0^2) / \kappa_2) - x_0}{x_0 \cdot \sigma^2} \cdot \exp \left\{ - \frac{\left[\exp (-V(a - \kappa_0^2) / \kappa_2) - x_0 \right]^2}{2x_0^2 \cdot \sigma^2} \right\}. \quad (17)
\end{aligned}$$

Как показал анализ выражения, в пределах 2%-ной погрешности можно пользоваться выражением:

$$\begin{aligned}
f(\kappa_0^2) = & \left| \frac{x_1 \cdot (\kappa_0^2 - a + x_{cp})}{2x_0 \cdot \kappa_2 \cdot \ln x_0 \cdot (\kappa_0^2 - a + x_{cp})} \right| \cdot \frac{x_0 \cdot (\kappa_0^2 - a + x_{cp}) - x_0}{x_0 \cdot \sigma^2} \times \\
& \times \exp \left\{ - \frac{\left[x_0 \cdot (\kappa_0^2 - a + x_{cp}) - x_0 \right]^2}{2x_0^2 \cdot \sigma^2} \right\} + \left| \frac{\exp (V(a - \kappa_0^2) / \kappa_2)}{2x_0 \cdot V(a - \kappa_0^2) \cdot \kappa_2} \right| \times \\
& \times \frac{\exp (V(a - \kappa_0^2) / \kappa_2) - x_0}{x_0 \cdot \sigma^2} \cdot \exp \left\{ - \frac{\left[\exp (V(a - \kappa_0^2) / \kappa_2) - x_0 \right]^2}{2x_0^2 \cdot \sigma^2} \right\}. \quad (18)
\end{aligned}$$

Переходя к определению закона распределения κ_0 по известному $f(\kappa_0^2)$, воспользуемся формулой:

$$f(\kappa_0) = \frac{1}{d\kappa_0} \cdot \frac{f(\kappa_0^2)}{d(\kappa_0^2)} \quad (19)$$

или

$$f(\kappa_0) = 2\kappa_0 \cdot f(\kappa_0^2).$$

При этом имеем

$$\begin{aligned}
f(\kappa_0) = & \left| \frac{\kappa_0 \cdot x_0 \cdot (\kappa_0^2 - a + x_{cp})}{x_0 \cdot \kappa_2 \cdot \ln x_0 \cdot (\kappa_0^2 - a + x_{cp})} \right| \cdot \frac{x_0 \cdot (\kappa_0^2 - a + x_{cp}) - x_0}{x_0 \cdot \sigma^2} \times \\
& \times \exp \left\{ - \frac{\left[x_0 \cdot (\kappa_0^2 - a + x_{cp}) - x_0 \right]^2}{2x_0^2 \cdot \sigma^2} \right\} + \left| \frac{\exp (V(a - \kappa_0^2) / \kappa_2)}{x_0 \cdot V(a - \kappa_0^2) \cdot \kappa_2} \right| \times \\
& \times \frac{x_0 \cdot \exp (V(a - \kappa_0^2) / \kappa_2) - x_0}{x_0 \cdot \sigma^2} \cdot \exp \left\{ - \frac{\left[\exp (V(a - \kappa_0^2) / \kappa_2) - x_0 \right]^2}{2x_0^2 \cdot \sigma^2} \right\}. \quad (20)
\end{aligned}$$

Результаты расчетов, проведенных по формуле (20), приведены в виде кривых на рис. 2. В таблице приведены пределы изменения перенапряжений и соответствующие этим пределам вероятностные уровни, вычисленные по формуле:

$$P(\xi_1 < \kappa_0 < \xi_2) = \int_{\xi_1}^{\xi_2} f(\kappa_0) \cdot d\kappa_0. \quad (21)$$

Как следует из таблицы, вероятность появления больших перенапряжений при отключении ненагруженного трансформатора воздуш-

Номера кривых	1	2	3	4	5
Пределы изменения перенапряжений	2,1÷2,14	2,1÷2,14	2,1÷2,14	2,1÷2,14	2,1÷2,14
Вероятностные уровни	$2,4 \cdot 10^{-3}$	$5,1 \cdot 10^{-3}$	$5,7 \cdot 10^{-3}$	$6,4 \cdot 10^{-3}$	$6,5 \cdot 10^{-3}$
Приемы изменения перенапряжений	2,06÷2,14	2,06÷2,14	2,06÷2,14	2,06÷2,14	2,06÷2,14
Вероятностные уровни	$12 \cdot 10^{-3}$	$18 \cdot 10^{-3}$	$22 \cdot 10^{-3}$	$28 \cdot 10^{-3}$	$32 \cdot 10^{-3}$

ными (кривые 3, 4, 5) выключателями превышает вероятность появления таких же перенапряжений при отключении масляными (кривые 1, 2) выключателями, что является, очевидно, результатом малости среднеквадратического отклонения (σ) токов отключения при отключении первыми выключателями.

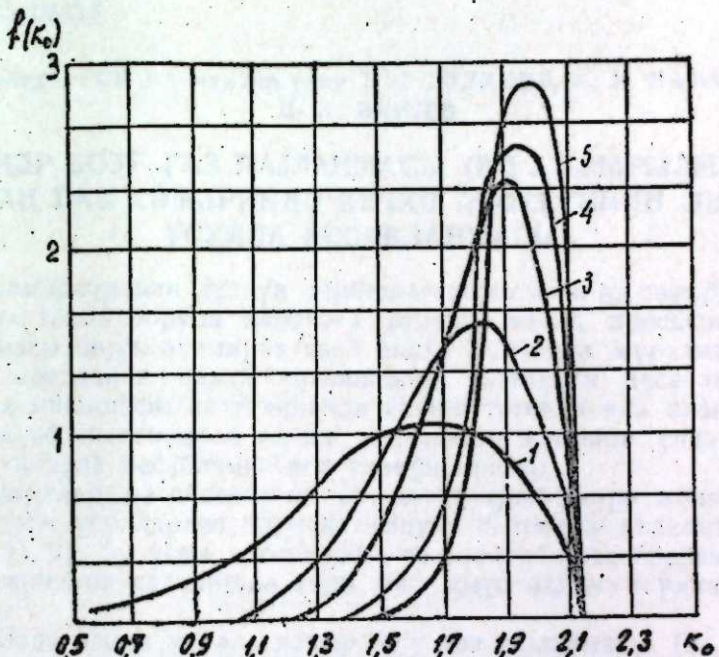


Рис. 2. Законы распределения амплитуды перенапряжений при различных условиях отключения: 1, 2—при отключении масляными выключателями; 3, 4, 5—при отключении воздушными выключателями

Приведенная методика может быть применима и для других случаев распределения токов отключения и позволяет аналитически прогнозировать с заданной вероятностью амплитуды перенапряжений, возникающих при отключении ненагруженных трансформаторов.

Литература

- Артемьев Д. Е., Тихолеев Н. Н., Шур С. С. Статистические основы выбора изоляции линий электропередачи. Изд-во "Энергия", 1965. 2. Акопян А. А. Исследование внутренних перенапряжений и условий работы выключателей на электропередаче 400 кВ Куйбышевская ГЭС—Москва. "Электричество", № 11, 1957.

Институт физики

Поступило 25. X 1977

Ч. М. Чуварлы, Т. Э. Юсифзадэ

**ЖҮКСҮЗ ТРАНСФОРМАТОРЛАРЫН АЧЫЛМАСЫ ЗАМАНЫ БАШ ВЕРЭН
ЕҢТИМАЛИ ИФРАТ КЁРКИНИЛКЛЭРИН ТӘҮЛИЛИ МЕТОДУ**

Мәгәләдә жүксүз трансформаторларын ачылмасы заманы баш верэн еңтимали ифрат көркинилкләрин тәүлили методу верилмишdir.

Ch. M. Dzuvarly, T. A. Yusifzade

**THE METHOD OF RANDOM OVERVOLTAGES AMPLITUDE ANALYSIS FOR
UNLOADAD TRANSFORMERS SWITCHING OFF**

The method is presented, that allows to predict analytically the amplitudes of over-voltages for unloaded transformers switching off with given probability.

АЗЭРБАЙЖАН ССР ЕЛМЛЭР АКАДЕМИЈАСЫНЫН МӘРУЗӘЛӘРИ

ДОКЛАДЫ АКАДЕМИИ НАУК АЗЕРБАЙДЖАНСКОЙ ССР

ТОМ XXXIV ЧИЛД

№ 1

1978

НӘГЛИЈАТ ВӘ САХЛАМА

УДК 622.692.47533.6

Азәрб. ССР ЕА мұхбир үзүү Ж. Б. Гәдимов, А. И. Мәммәдов
Н. Х. Әлиев

**КӘМӘР БОЮ ГАЗ ПАЈЛАНМАСЫ (ВӘ ІА ЙЫҒЫЛМАСЫ)
ОЛАН ГАЗ КӘМӘРИНДӘ КЕЧИД ПРОСЕССИНИН ӘДӘДИ
ҮСҮЛЛА НЕСАБЛАНМАСЫ**

Газ кәмәрләrinин дүэкүн лајиһәләшдирилмәси вә сәмәрәли истисмары үчүн газын боруда һәрәкәти заманы кечид просессинин дәгиг несабланмасы бөյүк әһәмийжәт кәсб едир. Хүсусилә мурәккәб системаләрдә бу мәсәләнин һәлли чәтилләшир. Електрон несаблајычы машиналарын инкишафы вә техникада кениш тәтбиғи илә әлагәдар олараг мурәккәб системаләрдә кечид просессинин һәллинин садә вә дәгиг әдәди үсүлларла несабламаг чох әльверишилди.

Сон вахтлар өз садәлијинә вә дәгиглиинә көрә кениш тәтбиғ едилән әдәди үсүллардан бири дә импулс системдә верилмиш әдәди үсүлдүр. [1, 2]. Бу үсүл дәгиглиинә вә электрон несаблајычы машиналарда алгаритмик садәлијинә көрә, бир сыра әдәди үсүлларда фәргләнир [3].

Мәгәләдә әдәди үсүлла кәмәр бою газ пајланмасы (вә йығылмасы) олан тыса газ кәмәрләrinдә кечид просессинин несабланма методу верилмишdir ки, бу да садә вә лазымы дәгиглии өдәйир (бу типли мәсәләләрин һәллинин [4,5]-дә мұхтәлиф һаллар үчүн кениш тәһлили верилмишdir).

Кәмәр бою газ пајланмасы (вә ја йығылмасы) олан гыса кәмәрләрдә газын һәрәкәт вә кәсилемәзлик тәнлијинин бирликдә һәллиндән газын кәмәр бىжү һәрәкәти заманы тәзҗигин дәжишмәси ашағыдақы кими олур [4,5]

$$\frac{\partial^2 p}{\partial x} = \kappa \frac{\partial^2 p}{\partial x} \pm A \delta(x - x_1) \delta(t - t_1) \quad (1)$$

бұрада

$$\kappa = \frac{1}{c^2}; \quad A = \frac{C_1}{F},$$

p —тәзҗиг; x, t —үзүилуг вә вахт координатлары; $\delta(x - x_1), \delta(t - t_1)$ —координата уйғын делта функция; C_1 —пајланма (вә ја йығылма) сәрфи (мұсбет вә мәиғи ишарәси уйғын олараг йығылма вә пајланманы кестерип); c —газда сәсии јајылма сүр'ети; F —борунуи ен кәсижи.

1) тәнлијинин һәллини ашағыдақы башланғыч вә сәрхәд шәртләри әсасында ахтарағ.

$$t = 0 \text{ оланда } p(x, 0) = f(x); \frac{\partial p(x, 0)}{\partial t} = 0$$

$x = 0$ оланда $p[0, t] = p_u = \text{const}$

$x = l$ оланда $p(l, t) = p_k = \text{const}$.

Жұхарыдақы, шәртләр әсасында (1) тәнлијинин икі гат Лаплас чевирмәсіндән алынат тәсвири ашағыдақы кими инфадә олунур.

$$\bar{p}(z, s) = \frac{z}{z^2 - v^2} \frac{p_u}{s} + \frac{p'(0, s)}{z^2 - v^2} - \frac{ks}{z^2 - v^2} \bar{f}(z) \pm \frac{Ae^{-zx} e^{-st_1}}{z^2 - v^2} \quad (2)$$

бурада

$$v^2 = ks^2; \bar{p}(z, s) = \bar{p}(x, S)$$

(2) тәнлијиндән аларыг:

$$\bar{p}(x, s) = \frac{p_u}{s} \text{ch } vx - \frac{F(s)}{s} - \frac{p'(0, s)}{v} \text{sh } vx \pm \frac{A}{v} e^{-st_1} \text{sh } v(x - x_1) \quad (3)$$

бурада

$$F(s) = \int_0^x \text{sh } v(x - \eta) f(\eta) d\eta$$

(3) тәнлијиндә $x = l$ сәрхәд шәртини нәзәрә алсаг вә $p'(0, s)$ -и тапыб жерине язсаг,

$$\begin{aligned} \bar{p}(x, s) &= \frac{p_u}{s} \text{ch } vx - \frac{F(s)}{s} - \frac{\text{sh } vx}{\text{sh } xl} \left[(p_u \text{ch } xl - p_k) \frac{1}{s} - \frac{F_e(s)}{s} \right. \pm \\ &\quad \left. \pm \frac{Ae^{-st_1}}{v} \text{sh } v(l - x_1) \right] \pm \frac{Ae^{-st_1}}{v} \text{sh } v(x - x_1) \end{aligned} \quad (4)$$

(4) тәнлијиндән дискрет (гәфәсли) формаја кечмәк үчүн ади Лаплас чевирмәсіндәki s оператору илә дискрет Лаплас чевирмәсіндәki q оператору арасындақы әлагәжә [1,2] әсасен:

$$s = \lambda q / T \quad (5)$$

бурада λ —истәннилән там әдәд ($\lambda = 1, 2, 3, \dots$)

$$T = 2\pi$$

τ —далғанын кәмәрии башланғычыдан соңуна јајылма вахты.

Импулс системи нәзәријәсінә [2] әсасен (4) тәнлијинин дискрет тәсвири ашағыдақы кими олар:

$$\begin{aligned} p^*(x, q) &= \{ p_u \text{ch } aq - F^*(q) - [(p_u \text{ch } a_1 q - p_k) - F_e(q)] \pm \\ &\quad \pm \frac{AT}{\lambda \sqrt{k}} e^{-\frac{t_1}{T} \lambda q} \text{sh}(a_1 - a_2) q \} \pm \frac{AT}{\lambda \sqrt{k}} e^{-\frac{t_1}{T} \lambda q} \text{sh}(a - a_2) q \} \frac{e^q}{e^q - 1} \end{aligned} \quad (6)$$

бурада

$$a = \sqrt{k} \frac{\lambda x}{T}, \quad a_1 = \sqrt{k} \frac{\lambda l}{T}, \quad a_2 = \sqrt{k} \frac{\lambda x_1}{T}$$

$$F^*(q) = D \left\{ \int_0^x \text{sh } v(x - \eta) f(\eta) d\eta \right\}, \quad F_e(q) = D \left\{ \int_0^0 \text{sh } v(l - \eta) f(\eta) d\eta \right\}$$

(6) тәнлијини ашағыдақы шәклә кәтирмәк олар:

$$P^*(x, q) = k^*(q) \frac{e^q}{e^q - 1} \quad (7)$$

бурада

$$k^*(q) = \frac{b_{l_1} e^{l_1 q} + b_{l_2} e^{(l_1 - 1)q} + \dots + b_0}{a_{l_1} e^{l_1 q} + a_{l_2} e^{(l_1 - 1)q} + \dots + a_0}$$

l_1, l_2 —ујғун олары $K^*(q)$ өтүрмә функциясынын сурэт вә мәхрәчинде e^q -жә көрә алынат чоххәдлинин ән јүксәк дәрәчәсидир.

(7) тәнлијини орижиналы исә [1,2] верилмиш садә рекуррент формула илә тапылып.

ГЕДД: 1) мәсәләнин һәллиниң дәғиглиji λ сечилмәсіндән асылыдыр [1]; 2) белә мәсәләләрин һәллиндә λ елә сечилир ки үстүү әдәләрин үстү кәсири дејил, там әдәдләр олсун. Бу чевирмәләри асанлашдырыр.

Әдәбијат

1. Кадымов Я. Б. Переходные процессы в системах с распределенными параметрами. Физматгиз, 1968.
2. Цыпкин Я. З. Теория линейных импульсных систем. Физматгиз, 1963.
3. Касумов Я. Б. и др. К вопросу сравнительного анализа численных методов расчета переходных процессов в линейных системах. Доклады АН Азерб. ССР, том XXX, № 6, 1975.
4. Шербаков С. Г. и др. Неуставившееся движение газа в газопроводах при путевом отборе. ВНИИОЭИГ, М., 1969.
5. Бобровский С. А. и др. Движение газа в газопроводах с путевым отбором. «Наука», М., 1972.

Ч. Илдирим адына Азәрбайжан Политехник Институту

Алынмышдыр 19. XII 1975.

Член-корр. Я. Б. Кадымов, А. И. Мамедов, Н. Х. Алиев

ЧИСЛЕННЫЙ МЕТОД РАСЧЕТА ПЕРЕХОДНЫХ ПРОЦЕССОВ ДВИЖЕНИЯ ГАЗА В ГАЗОПРОВОДАХ ПРИ ПУТЕВОМ ОТБОРДЕ

(или подкачке)

В работе разрабатывается численный метод расчета переходных процессов движения газа в газопроводах при путевом отборе (или подкачке).

Преимущество предлагаемого способа состоит в том, что при решении задачи [4,5] приводится к импульсной системе, а в предлагаемых [1,2] решаются рекуррентной формулой. Этот метод прост и в достаточной мере обеспечивает точность решаемых задач.

Ya. B. Kadymov, A. I. Mamedov, N. Ch. Aliev

THE NUMERICAL METHOD OF THE CALCULATION OF TRANSITIONAL PROCESSES THE MOTION OF THE GAS INTO THE GAS-MAINS IN THE TIME TRAVEL CHOICE

In this work elaborate of the numerical method of the calculation of transitional processes the motion of the gas in the time travel choice.

УДК 620. 197

БИОХИМИЯ

Л. Ш. ЗУЛЬФУГАРОВА, П. С. МАМЕДОВА

**ИНГИБИРУЮЩИЕ СВОЙСТВА НЕКОТОРЫХ СОЕДИНЕНИЙ
В ХИМИЧЕСКОЙ И БИОЛОГИЧЕСКОЙ СРЕДАХ И ОТБОР
ХИМИЧЕСКИХ ПРЕПАРАТОВ ПРОТИВООПУХОЛЕВОГО ДЕЙСТВИЯ**

(Представлено академиком АН Азербайджанской ССР
Г. Б. Шахтахтинским)

В последнее время широкое развитие получили работы, в которых изучается ряд физико-химических свойств как природных, так и синтетических соединений, исследуется их роль при нормальном метаболизме и при развитии патологических состояний, а также выдвигаются критерии их подбора для воздействия на окислительные свободно-радикальные и цепные процессы, протекающие в живых организмах [1–3].

Учитывая, что для познания и регулирования причин нарушений в жизненно важных процессах выявление отдельных корреляций может представить определенный интерес, мы обратили внимание на аналогию, которая проявляется в ингибирующем действии некоторых O-, P-, P-N-, S- содержащих органических соединений в сложной биологической и химической среде.

Как известно, для выявления противоопухолевой активности химических препаратов широко используются биологические методы изучения их в эксперименте на животных *in vitro* и *in vivo*. Указанные методы сложны, требуют длительного времени и кропотливого труда.

Данные, полученные нами, позволили установить корреляцию в катализическом действии некоторых соединений, которая обнаружена при исследовании их в качестве ингибиторов для защиты от коррозии алюминиевого сплава в сильнощелочной среде ($\text{pH}=13$) и в качестве ингибиторов, подавляющих рост злокачественных опухолей в организмах при биологических процессах.

По мнению ряда авторов [4], в живых клетках сдвиг реакции в щелочную сторону способствует процессам гликолиза, в которых опухолевая клетка черпает необходимую для роста энергию; у пораженного опухолью организма величина pH резко сдвинута в щелочную сторону. При этом, однако, следует отметить, что вопросы механизма нарушения щелочно-кислотного равновесия при опухолевых заболеваниях, так же как и механизма коррозии металлов как в щелочных, так и в кислых средах, в настоящее время не решены и требуют уг-

лубленного изучения. Причем представления о механизме гетерогенного катализа могут быть перенесены и на биологические ферментативные процессы.

Нами исследованы некоторые химические соединения, которые синтезировались на основе фенолов, а также алкилфенолов и треххлористого фосфора и характеризуются малой токсичностью.

Изучение ингибирующего действия химических соединений в коррозионной среде осуществлялось в известных условиях по ранее описанной методике [5]. Определение степени коррозии алюминиевого сплава D-16T проводилось в среде, состоящей из водно-щелочного раствора нефтяной эмульсии, содержащей 10 г исследуемого соединения на 1 л коррозионной среды, при 80°C и перемешивании. Продолжительность испытания—2 часа. Результаты опытов рассчитывались по потере массы металла.

Противоопухолевая активность соединений исследовалась по общепринятой методике на асцитной опухоли Эрлиха (АОЭ). Через 5 дней после перевивки опухоли для инъекций применялся 1%-ный раствор изучаемого химического соединения в оливковом масле. Животному вводилось внутрибрюшно по 0,05–0,1 мл раствора ежедневно в течение 5 дней. На 25-й день после перевивки опухоли и введения препарата животные забивались и результаты рассчитывались по среднему весу опухолей животных, подвергнутых действию испытуемых препаратов. Процент торможения роста опухоли определялся сравнением полученных данных с данными контрольной группы животных, которая не подвергалась действию препарата.

Данные, полученные при изучении ингибирующего действия исследуемых соединений на степень защиты алюминиевого сплава от коррозии в щелочной среде и на торможение роста опухолевых клеток при асцитной опухоли Эрлиха, приведены в таблице.

Химическая формула соединения	Степень защиты от коррозии, %	% торможения роста опухоли АОЭ
<chem>C60H76O6P2S2</chem>	67	45
<chem>C60H76O6P2S</chem>	90	45
<chem>C10H14O</chem>	95	50
<chem>C20H33O3S</chem>	87	43
<chem>C33H44O3PN</chem>	98	94

Как видно из данных таблицы, химическое соединение, отличающееся высокой ингибирующей способностью в щелочной коррозионной среде, обладает также эффективным противоопухолевым действием в биологических условиях.

В связи с изложенным можно предполагать, что метод, применяемый для испытания химических соединений в условиях щелочной коррозии, может быть использован для ускоренного поиска эффективных химических соединений с противоопухолевым действием и предварительного их отбора. Метод отличается простотой и позволяет провести испытание в течение 2–3 часов и таким образом прогнозировать целесообразность дальнейшей биологической проверки и более глубокого изучения препарата. Рекомендуемый химический метод первичного отбора препаратов, блажающих противоопухолевым действием, несомненно, требует дальнейшего подтверждения путем накопления более обширных данных не только на примере большего числа химических соединений, но и на различных видах опухолевых образований.

Выводы

1. Впервые выявлена корреляция между ингибирующим действием некоторых химических соединений в условиях коррозии алюминиевого сплава в щелочной среде и в условиях опухолевого роста при аномальном метаболизме в живых организмах.

2. Установленная корреляция может служить для предварительного ускоренного отбора химических препаратов, в связи с чём предлагается метод, используемый для исследования степени защиты от коррозии алюминиевого сплава в щелочной среде.

Авторы выражают свою глубокую благодарность Г. В. Тепляковой и А. М. Кязимову за интерес, проявленный к данной работе.

Литература

1. Эмануэль Н. М., Денисов Е. Г., Майзус З. К. Цепные реакции окисления углеводородов в жидкой фазе. Изд-во "Наука", М., 1965.
2. Биохимия фенольных соединений. Пер. с англ. Изд-во "Мир", М., 1968.
3. Биоантоксиданты при лучевом поражении и злокачественном росте. Изд-во "Наука", М., 1975.
4. Кавецкий Р. Е. Опухоль и организм. Госмедиздат УССР. Киев, 1962.
5. Зульфугарова Л. Ш., Кязимов А. М., Тагизаде Т. А., Саламзаде З. М. Ингибирование щелочной коррозии алюминиевого сплава в эмульсионном растворе. В сб.: "Коррозия и защита в нефтегазовой промышленности", № 6, ВНИИОЭНГ, М., 1975, стр. 9.

Институт неорганической
и физической химии

Поступило 14. IV 1977

Л. Ш. Зулфугарова, П. С. Мамедова

КИМЛЭВИ ВЭ БИОЛОЖИ МУНДЭ БИРЛЭШМЭЛЭРИН ИНЬИБИТОР
ХАССЭЛЭРИ ВЭ БЭД ШИШЛЭРЭ ТЭСИР ЕДЭН КИМЛЭВИ ПРЕПАРАТ-
ЛАРЫН СЕЧИЛМЭСИ

Мэглэдэ илк дээф алуминиум хэлтэснин гүүвэти эсси муунтэ коррозијасы
вэ чанлы организмлэрэд бэд шишлэрэн артмасы шэрэгтнэд бэзи кимлэви бирлэш-
мэлэрийн иньибигор тэсир арасында олан корреляција кестэрилиш, бэд шишлэрэ
тэсир едэ биелн бирлэшмэлэрийн тез муддэтэ сечилмэси үүчин кимлэви үсүл тэклиф
едилмишдир.

L. Sh. Zulfugarova, P. S. Mamedova

INHIBITING PROPERTIES OF SOME CHEMICAL COMPOUNDS IN CHEMICAL
AND BIOLOGICAL ENVIRONMENTS AND A CHOICE OF THE CHEMICAL
REACTIVES ANTISWELLING ACTION

The inhibiting properties of some chemical compounds aimed for the sake of establishment of correlation in its action in alkaline Inorganic environment under the growth conditions of cancer experimental swellings have been given. Thus, it is suggested that this method used for the test of chemical compounds as inhibitors of alkaline corrosion have been used for more rapid searching and preliminary choice of antiswelling action.

АЗЭРБАЙЧАН ССР ЕЛМЛЭР АКАДЕМИЯСЫНЫН МЭРҮЗЭЛЭРИ

ДОКЛАДЫ АКАДЕМИИ НАУК АЗЕРБАЙДЖАНСКОЙ ССР

ТОМ XXXIV ЧИЛД

№ 1

1978

УДК 553:982:550.3:51.011.57

ПРОМЫСЛОВАЯ ГЕОФИЗИКА

Л. А. БУРЯКОВСКИЙ, Г. Г. ПАЛАТНИК, Т. А. БАДАЛОВ

ОЦЕНКА НЕФТЕНОСНОСТИ ПЛАСТОВ-КОЛЛЕКТОРОВ ПО МАТЕРИАЛАМ ПРОМЫСЛОВОЙ ГЕОФИЗИКИ С ПОМОЩЬЮ АЛГОРИТМА ПРОГНОЗИРОВАНИЯ

(Представлено академиком АН Азербайджанской ССР Г. А. Ахмедовым)

Задача разделения пород-коллекторов по характеру насыщения т. е. оценка размеров нефтяной залежи, наиболее полно решается по данным опробования и промысловой геофизики. При ручной интерпретации сложных геологических объектов, представленных сложным песчано-глинистым разрезом с изменчивыми коллекторскими свойствами и нефтенасыщенностью, проводится комплексная интерпретация различных геофизических методов для повышения достоверности выделения нефтеносных пластов. Однако разработанные методы "ручной" интерпретации не могут полностью использовать всю геофизическую информацию о пласте. В этом случае большую эффективность деления пластов-коллекторов на нефтеносные и водоносные дают методы обработки геофизических материалов с помощью ЭВМ.

В настоящей работе приводятся результаты решения задачи прогнозирования характера насыщения пластов-коллекторов с помощью метода одномерных нелинейных преобразований.

Вопросы разделения пластов по характеру насыщения с помощью алгоритмов распознавания рассматривались в работах [1-4]. Основным отличием данной работы является возможность наряду с прогнозированием характера насыщения пласта определять степень и характер влияния отдельных геофизических параметров на прогнозируемую величину.

Объем обучающей выборки составил 144 пласта из 45 скважин-I горизонта месторождения Мишовдаг. Отобранные для обработки пласти опробованы поинтервално: из них в 41 получена пластовая вода из скважин законтурной области, остальные 73 пласта, расположенные в контуре нефтеносности, дали воду с нефтью, нефть с водой и нефть. По каждому пласту определено 18 геофизических параметров, которые составляют стандартный комплекс исследования скважин: глубина залегания пласта— H ; мощность пласта— h ; диаметр скважины— d ; удельные сопротивления глинистого раствора— r_c , фильтрата раствора— r_f и пластовой воды— r_p ; кажущиеся удельные сопротивле-

ния пород— ρ_n ; при измерениях зондами различной длины (5 зондов); удельное сопротивление опробованной породы— ρ_n и глинистых пластов— $\rho_{\text{вм}}$; величины относительных амплитуд самопроизвольной поляризации— $\Delta U_{\text{сп}}$; относительный разностный параметр естественной радиоактивности пород— ΔJ_1 ; максимальный размах— $U_{\text{сп}}^{\text{макс}}$; максимальный размах— $J_1^{\text{макс}}$.

Для прогнозирования использовалась следующая классификация пластов-коллекторов: 1) нефтеносные пласти; 2) водоносные пласти.

При этом прогнозируемое состояние (нефтеносность или водоносность) связывалось с числовым величиной r —номером класса. Предполагалось, что связь между прогнозируемым состоянием и геофизическими параметрами пласта описывается следующей моделью:

$$f(x_1, x_2, \dots, x_j) = z \left[\sum_{i=1}^j \varphi_i(x_i) \right],$$

где $\{x_i\}$ —геофизические параметры пласта, $\varphi_i(x_i)$ и $z(y)$ —искомые нелинейные одномерные функции, i —номер параметра. Функции $z(y)$ и $\varphi_i(x_i)$ находятся из условия минимума математического ожидания квадрата разности между прогнозируемой r и прогнозирующей f величинами: $M[r-f]^2 \rightarrow \min$. Таким образом, поиск неизвестных функций сводится к решению вариационной задачи. При решении этой задачи градиентным методом в работе [5] получены следующие рекуррентные выражения для вычисления z и φ_i :

$$\begin{aligned} z^{(n+1)}(y) &= [1 - \gamma^{(n)} p^{(n)}(y)] z^{(n)}(y) + \gamma^{(n)} P^{(n)}(y) M[g^{(n)}/y], \\ \varphi_i^{(n+1)}(x_i) &= \varphi_i^{(n)}(x_i) + \gamma^{(n)} P(x_i) \cdot M[g^{(n)}/x_i]; \quad (i=1, 2, \dots, J) \\ g^{(n)} &= \left\{ r - z^{(n)} \left[\sum_i \varphi_i^{(n)}(x_i) \right] \right\} \frac{dz^{(n)}}{dy}, \end{aligned}$$

где $P(y)$ и $P(x_i)$ —одномерные плотности вероятности величины $y = \sum_i \varphi_i(x_i)$ и x_i ; $M[g/y]$ и $M[g/x_i]$ —одномерные регрессии величин g и g при переменных y и x_i ; $\gamma^{(n)}$ —положительные коэффициенты, удовлетворяющие известным условиям сходимости градиентной процедуры.

Руководствуясь соображениями выбора более простой модели, мы рассматривали эффективность линейной модели по сравнению с указанной. Такое сравнение было произведено на основе использования F -критерия [6]. Оказалось, что дисперсионное отношение F , равное 24,60, превышает значение $F_{\text{кр}} = 2,75$ на уровне значимости 5%. На этом основании гипотеза о линейном характере зависимости была отвергнута.

При решении данной задачи наряду с получением прогноза было важно определить наиболее существенные геофизические параметры.

С этой целью был использован систематический метод оценки, при котором одновременно выделялись существенные параметры [6]. Суть метода заключается в том, что на каждом этапе к модели добавляется тот параметр, который вызывает наибольшее уменьшение остаточной суммы квадратов, при условии, что это уменьшение является значимым. Остаточные суммы квадратов рассчитываются с учетом уменьшения числа степеней свободы от включения в модель переменных. Для оценки значимости параметров осуществлялся дисперсионный анализ, который приводит к F -критерию.

Оказалось, что для прогнозирования достаточно взять четыре геофизических параметра: $\rho_n/\rho_{\text{вм}}$, $\rho_{\text{вм}}$, H , ρ_n . Графики полученных функци-

ций φ_i , соответствующих параметрам $\rho_n/\rho_{\text{вм}}$, $\rho_{\text{вм}}$, H , ρ_n и функции z приведены на рис. 1 (а, б, в, г, д). Предлагаемые графики имеют существенно нелинейный характер.

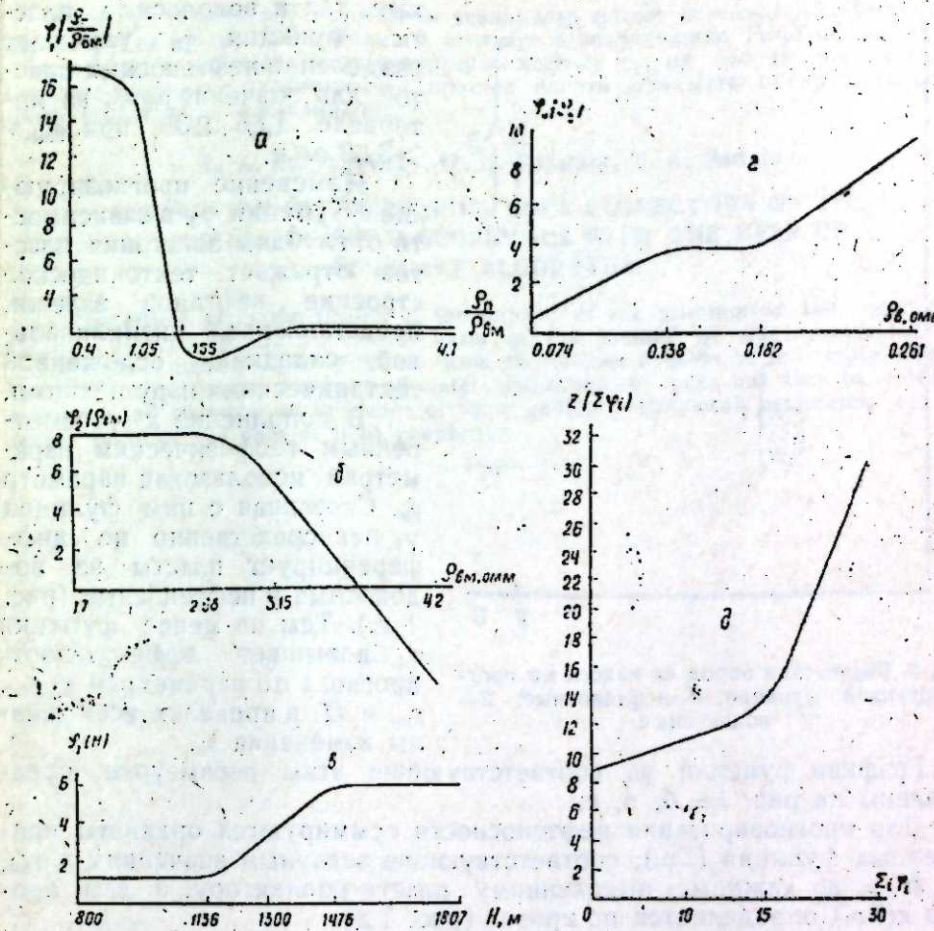


Рис. 1. Прогнозирующие функции по геофизическим данным.

Наиболее значимым разделительным параметром оказался $\rho_n/\rho_{\text{вм}}$. Функция φ_1 , связанная с этим параметром (рис. 1а), становится прогностически решающей при $\rho_n/\rho_{\text{вм}}$, равном $0,4 \div 1,05$ (класс водоносных пластов) и $\rho_n/\rho_{\text{вм}}$, равном $2,35 \div 4,10$ (класс нефтеносных пластов). Информативность прогнозирующей функции φ_2 снижается, когда водоносные и нефтеносные пласти характеризуются одинаковыми значениями $\rho_n/\rho_{\text{вм}}$, равными $1,05 \div 1,55$, и становится минимальной при $\rho_n/\rho_{\text{вм}}$, равном $1,55 \div 2,35$. В последнем случае удельное сопротивление нефтеносных пород минимальное и не превышает $5 \div 6$ омм и оказывается близким к $\rho_{\text{вм}}$.

В качестве следующего параметра для прогноза выбран $\rho_{\text{вм}}$. График функции φ_3 , связанной с этим параметром, представлен на рис. 1 б. Наиболее информативный участок этой функции соответствует значениям $\rho_{\text{вм}}$, равным $2,70 \div 3,50$ омм. Здесь функция φ_3 корректирует прогнозирующую φ_1 на интервале значений $\rho_n/\rho_{\text{вм}}$, равном $1,05 \div 2,35$.

Дальнейшая коррекция прогноза осуществляется прогнозирующей функцией φ_4 , связанной с параметром H глубиной залегания пластов

(рис. 1 в). Эта функция осуществляет разделение пород на водоносные и нефтеносные по глубине залегания: на глубинах 800—1135 м залегают нефтеносные породы, а на глубинах 1550—1800 м—водоносные.

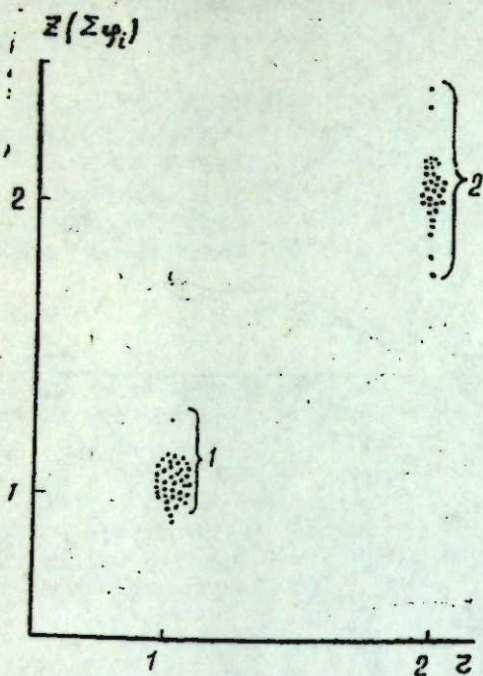


Рис. 2. Разделение пород на классы по прогностирующей функции: 1—нефтеносные; 2—водоносные.

Графики функций φ_i , соответствующие этим параметрам, представлены на рис. 1а, б, в, г.

Для прогнозирования нефтеносности суммируются ординаты приведенных функций $(\Sigma\varphi_i)$, соответствующие заданным значениям r_n/r_m , H , r_b по каждому выделенному пласту-коллектору, а сам прогноз $z(\Sigma\varphi_i)$ определяется по кривой (рис. 1 д).

Разделение пород на классы, проведенное на обучающей выборке, показано на рис. 2: породы, по результатам опробования отнесенные к нефтеносным, достаточно надежно отделяются от водоносных.

Полученные по обучающей выборке функции φ_1 — φ_4 были проверены на 209 опробованных пластиках, не участвовавших в учебной выборке. Эффективность прогноза составила 95%.

Литература

- Губерман Ш. А., Извекова М. Л., Хургин Н. И. Применение методов распознавания образов при интерпретации геофизических данных. В сб. «Самообучающиеся автоматические системы». М., «Наука», 1966.
- Бонгард М. М. и др. Опыт использования обучающейся программы для выявления нефтеносных пластов. В сб. «Проблемы расширения возможностей автоматов». Труды Института автоматики и телемеханики, вып. 5, 1964.
- Эдланский М. М. и др. Математические методы в газонефтяной геологии и геофизике. М., «Недра», 1972.
- Вапник В. Н., Червоненкис А. Я. Теория распознавания образов. М., «Наука», 1974.
- Юрков Е. Ф. Нахождение одномерных нелинейных преобразований на основе одномерных статистических характеристик при прогнозировании. В сб. «Нелинейные и линейные методы в распознавании образов». М., «Наука», 1975.
- Дрейпер Н., Смит Г. Прикладной регрессионный анализ. М., «Статистика», 1973.

Институт проблем глубинных нефтегазовых месторождений

Л. А. Буряковский, Г. Г. Палатник, Т. А. Бадалов

ПРОГНОЗЛАШДЫРМА АЛГОРИТМИ ВАСИТЭСИЛЭ МЭДЭН КЕОФИЗИКА МАТЕРИАЛЛАРЫ ЭСАСЫНДА КОЛЛЕКТОР ЛАЙЛАРЫНЫН НЕФТЛИЛИЖИНИН ГИЈМЭТЛЭНДИРИЛМЭСИ

Мэгэлэдэ бир өлчүүлү гејри-хэтти чевирмэлэр методу эсасында лајларын дојуму харктеринин прогнозлашдырылмасы мэсэлэсн өјрэнүүлмийшдир. Нефт-мэдэн кеофизики материалы эсасында сүхурларын нефт-су дојуму илэ јанаши, мухтэлиф үеоложи-кеофизики параметрлэрин прогноз едилэн кэмийэтэ тэ'сир харктери вэ онун гијмэти мүэлжэн өдилмийшдир.

L. A. Buryakovskiy, G. G. Palatnik, T. A. Badalov

ESTIMATION OF OIL-BEARING ROCK-COLLECTORS ON THE MATERIALS OF FIELD GEOPHYSICS WITH THE HELP OF A FORECAST ALGORITHM

The article gives the results of the solution of the problem on the forecast character of reservoir saturation on the basis of the method of single-measured non-linear transformations, distinguished from the themes considered in literature earlier, that allow to estimate not only oil-water saturation of rocks but also to determine a degree and character of influence of some geologogeophysical parameters on a forecast value on the data of field geophysics.

УДК: 575.24: 585.15

КЕНЕТИКА

Азэрб. ССР ЕА мүхбүр үзүү М. А. ЭЛИЗАДЭ Л. Н. ЧАВАДОВА

**КОЛХИСИН ТЭСИРИНДЭН АЛЫНМЫШ ПАМБЫГ
МУТАНТЛАРЫНДА НУКЛЕИН МУБАДИЛЭСИ**

Азэрбајҹан ССР Елмлэр Академијасынын Кенетика вә Селексија Институтунда тәчрүби мутакенез үзрэ кениш тәдгигат ишләри апарылыр. Физики вә кимҗәви мутакенләрин тәсириндән бир чох мутантлар алымыш вә онларын биологи вә тәсэрүфат көстәричиләри кениш өјрәннилir.

Сон заманлар полиплоид биткиләр алымасында кениш истифадә олунан колхисин маддәсиндән бир мутакен кими истифадә олунур. Кенетика вә Селексија Институтун техники вә јем биткиләри шебәсисин эмәкдашлары памбыг биткисине колхисинлә (0,03%-ли) тәсир едәрәк, бә'зи мутантлар алый, онларын үзәриндә елми вә тәчрүби тәдгигатлар апарылар.

Биз өз ишимиздә С-4727 памбыг сорту үзрэ алымыш бә'зи мутантлarda нуклеин мубадиләсini өјрәнишик. Алынан мутантлар институтумузун Абшерон базасында 1975-1976-чы илләрдә тарла шәрантингә бечәрилмишилir. Нәзәрә тутдукумuz тәдгигат ишинн апармаг үчүн биз бу биткиләрдән мүәлжин векетасија мәрхәләләриндә нүмүнәләр көтүүрүб, онларда нуклеин туршууларынын мигдарча дәшмәсini тәдгиг етмишик.

1-чи чәдвәл

Памбыг мутантларынын филгә вә һәгиги јарпагларында нуклеин туршууларынын дәјишилмәси (гурӯ мааддә мг %-лә, 1975)

Мутантлар	РНТ		ДНТ	
	филгә јарпаг-ларда	чаван јарпаг-ларда	филгә јарпаг-ларда	чаван јарпаг-ларда
C-4727 (контрол)	352±5,7	1740±31,4	43±0,8	210±0,8
M-38	430±7,3	1805±1,6	44±0,7	206±1,3
M-9/1	371±4,9	1790±8,1	55±0,8	198±22,6
M-9/2	422±26,9	1713±26,9	46±0,5	225±9,0

1 вә 2-чи чәдвәлләрдә памбыгын филгә јарпагларында вә биткинин чичәкләнмәси заманы симподиал будагларда јерләшэн чаван јарпагларда олан РНТ вә ДНТ-нин мигдарынын мутантлар үзрэ дәјишимәсии тәсвир едән рәгэмләр верилир. Нуклеин туршууларын мигдары

су бухарында фиксә едилмиш вә гурудулмуш јарпагларда Ниман вә Поулсен үсүү илә тә'јин едилмишилir. Апарылан ишләрин методлары әввәлки мәгаләләрдә тәсвир олунмушудур.

1975-чи илдә апарылан тәчрүбәнин нәтиҗеси 1-чи чәдвәлдә верилмишилir.

2-чи чәдвәл

Памбыгын филгә вә һәгиги јарпагларында нуклеин туршууларынын мигдары (гурӯ мааддә мг %-лә, 1976)

Мутантлар	РНТ		ДНТ	
	филгә јарпаг-ларда	чаван јарпаг-ларда	филгә јарпаг-ларда	чаван јарпаг-ларда
C-4727 (контрол)	675±0,0	1598±80,0	74,2±1,2	563±3,1
M-9/3	502±6,5	1863±0,0	67,3±0,3	337±1,9
M-23	601±0,0	1536±18,5	82,7±0,5	367±6,1
M-24/75	411±0,0	1637±48,0	71,9±0,0	345±11,4
M-25/75	586±6,0	1305±66,5	74,0±0,3	318±9,0
M-26/75	616±173	2337±32,0	66,4±0,0	505±14,0

Рәгэмләрдән айдын олур ки, өјрәнилән мутантларын јарпагларында РНТ-нин мигдары, үмумијәтлә, контролдан чох олмушудур. Айчаг мутант M-9/2-нин чаван јарпаглары бу ганунаујуналугдан чыхыр. Бу мутанттын јарпагларында олан РНТ контролдан бир аз фәргли олараq азалыр вә ја контрол сәвијәсindә галыр. Башга мутантларын һәм филгә јарпагларында вә һәм дә һәгиги чаван јарпагларында РНТ-нин мигдары контролдан чох олмушудур. Өјрәнилән мутантлар ичәрисindә ән кәсқин дәјишмә мутант M-38-дә нәзәрә чарпыр. Бу мутанттын һәм филгә јарпагларында вә һәм дә һәгиги јарпагларында РНТ-нин мигдары контролда вә башга мутантлара иисбәтән чох олмушудур. ДНТ кестәричиләrinә көрә мутантлар там башга ганунаујуналуг кестәришилir. Мутант M-9/1 филгә јарпагларында олан ДНТ-нин мигдарына көрә мутант M-9/2-дән даңа чох фәргләнir.

1976-чы ил тәчрүбәсindә башга мутантлар иштирак етмишилir. Бу тәчрүбәнин нәтиҗәләри 2-чи чәдвәлдә верилир.

Бу чәдвәлдәки рәгэмләрдән айдын олур ки, бүтүн мутантлар филгә јарпаында олан РНТ вә ДНТ-нин мигдарына көрә контролдан фәргләнir. Мутант M-23-дә ДНТ үзрэ олан кестәричиләрдән башга галан мутантларын һәм филгә. һәм дә һәгиги чаван јарпагларында нуклеин туршууларынын мигдары контролдан аз олмушудур. РНТ үзрэ алынан рәгэмләр кестәрир ки, мутант M-9/3 вә M-26/75 мүстәсна олмаг шәртилә галан мутантлар контролдан фәргләнir. Мутант M-24/75 чаван јарпагларда олан РНТ-нин мигдарына көрә демәк олар ки, контрол сәвијәсindә галыр.

Апарылан тәчрүбәләрин нәтиҗәләри кестәрир ки. колхисин тәсириндә алымыш мутантларын векетатив органларында нуклеин мубадиләси просеси чох мурәккәб олур. Бә'зи мутантларда РНТ-нин вә ДНТ-нин мигдары чохалыр, бә'зиләrinдә исә азалыр. Бир нечә мутантларда исә нуклеин мубадиләси контрол олан C-4727 сортунун сәвијәсindә кедир.

Әдәбијат

- Али-заде М. А., Ахундова Э. М. Изменение содержания ДНК в соматической клетке у полиплоидных форм шелковицы, „ДАН“ Азер. ССР № 9, 1969.
- Али-заде М. А., Алиев Р. Т. Содержание ДНК в соматической клетке

М. А. Али-Заде, Л. Г. Джавадова

**НУКЛЕИНОВЫЙ ОБМЕН У МУТАНТОВ ХЛОПЧАТНИКА, ПОЛУЧЕННЫХ
ПОД ВОЗДЕЙСТВИЕМ КОЛХИЦИНА**

В течение 1975 и 1976 гг. изучался нуклеиновый обмен в семядолях и молодых листьях у 8 мутантов хлопчатника, полученных под воздействием колхицина. Было установлено, что у некоторых мутантов в вегетативных органах содержание ДНК и РНК по сравнению с исходным сортом С-4727 увеличивается, у некоторых уменьшается, а ряд мутантов ведет себя так же, как исходный сорт.

M. A. Ali-zade, L. G. Javadova

**METABOLISM OF NUCLEIC ACIDS OF MUTANTS OF GOSSIPIUMM
OBTAINED UNDER THE INFLUENCE OF COLCHICIN**

During 1975—1976 has been studied the metabolism of nucleic acids in cotyledons and young leaves of 8 mutants of *Gossypium* under the influence of colchicine. It was established that in the vegetative organs of some mutants DNA and RNA content was increased in comparison with the initial sort C—4727, in some ones was decreased; but a number of mutants acted in the same way as the initial sorts do.

УДК 633.861.4

ПРИКЛАДНАЯ ЗООЛОГИЯ

М. А. КАСУМОВ

**КОШЕНИЛЬ АРАРАТСКАЯ—PORPHYROPHORA HAMELLII
BRANDT И ВОЗМОЖНОСТИ ЕЕ ИСПОЛЬЗОВАНИЯ
В КРАСИЛЬНОМ ПРОИЗВОДСТВЕ**

(Представлено академиком АН Азербайджанской ССР В. Р. Волобуевым)

Родина кошенили—Мексика. Начиная с 1518 г. до 40-х годов XX в. кошениль была незаменимым красителем для окрашивания шерсти, шелка, кожи, жилищ, орудий, пищевых продуктов и т. д.

Самки кошенили (*Dactylopius*), живущие в Мексике, на Яве, в Алжире и Центральной Америке, разводились на плантациях некоторых видов опунции (*Opuntia dillenii* Наше, *O. ellisiana* Griff., *O. exaltata* Berger, *O. ficus indica* Mill., *O. hernandezii* D. C.).

С плантации в 1 га получали 100—300 кг кошенили, причем в 1 кг насчитывалось 140000 насекомых.

Кошениль—это насекомое, содержащее 10—15% красящего вещества—карминовой кислоты ($C_{22}H_{20}O_{13}$), являющейся производным антрахинона [3, 4, 5, 6, 7, 8, 10, 13, 14, 15, 16].

Род кошениль (*Porphyrphora*) распространен в Палеарктической и Эфиопской областях и содержит более 23 видов. В СССР встречается 13 видов, а на Кавказе—3 вида (*P. hamelli* Brandt, *P. tritici* Bod., *P. moonticola* Borgs.) Самым ценным и перспективным для народного хозяйства является *P. hamelli* Brandt—кошениль ааратская. Она имеет овальное тело, сильно выпуклое с дорзальной стороны, ясно сегментированное, от 3 до 12 мм в длину и от 1,4 до 6 мм в ширину. Цвет ее—темно-вишневый [12]. В Азербайджане кошениль встречается в Карабахе и в Нахичеванской АССР. Обитает на корневищах злаков—*Aeluropus littoralis*, прибрежники и тростника, растущих на солончаках. До открытия анилиновых красителей кошениль ааратская была основным источником для получения красного и фиолетового цвета.

Л. П. Мкртчян (1976) указывает, что ааратская кошениль—эндемик Ааратской равнины, однако в литературных источниках [1] отмечается, что ранее в Азербайджане (в окрестностях Гянджи и в Нахичеванской АССР, особенно на берегу р. Аракс) на неплодородных засоленных и заболоченных почвах местные жители собирали ежегодно более 500 пудов кошенили, которую сдавали в красильные мастерские для окрашивания различных тканей в алый цвет.

С серединой XX в. с появлением синтетических анилиновых красителей кошениль была вытеснена. Однако анилиновые красители,

Результаты опытного окрашивания шерстяной пряжи в водном экстракте кошенили—*Rorhynophoro hamellii* применением различных проправ

Проправа	Кол-во химиката, %	Крашение одновременно с солями металлов	Крашение перед проправой	Цвет окрашенной пряжи
Н е к т р а л ь н а я в а н н а				
Контроль (вода)	H ₂ O	Фиолетовый	Фиолетовый	
Алюмо-калиевые красцы	10,0	Розовый	Розовый	
Железный купорос	10,0	Серовато-фиолетовый	Серовато-фиолетовый	
Красная кровяная соль	10,0	Серовато-бурый	Серовато-бурый	
Медный купорос	10,0	Зеленовато-малахитовый	Зеленый	
Хромпик	0,70	Хаки	Хаки	
Калий марганцевокислый	0,80	Бежевый	Бежевый	
Кобальт уксуснокислый	10,0	Оливковый	Оливковый	
Свинец уксуснокислый	5,0	Сероватый	Сероватый	
Никель хлористый	7,0	Серовато-фиолетовый	Серовато-фиолетовый	
Шавелевая кислота	2,0	Оранжево-розовый	Оранжево-розовый	
Олово двуххлористое	0,2	Красный	Красный	
Шавелевая кислота + + олово двуххлористое	3,0+0,2	Бордовый	Бордовый	

П р о д о л ж е н и е т а б л .

Проправа	Кол-во химиката, %	Крашение одновременно с солями металлов	Крашение перед проправой	Цвет окрашенной пряжи
Щ е л о ч н а я в а н н а				
Едкий натр	2,5 мл	Серовато-фиолетовый	Серовато-фиолетовый	
Алюмо-калиевые красцы	10,0	Розовый	Розовый	
Железный купорос	10,0	Серовато-фиолетовый	Серовато-фиолетовый	
Красная кровяная соль	10,0	Серовато-фиолетовый	Фиолетово-серый	
Медный купорос	10,0	Оливковый	Оливковый	
Хромпик	0,70	Хаки	Хаки	
Калий марганцевокислый.	0,80	Бежевый	Бежевый	
Кобальт уксуснокислый	10,0	Серовато-фиолетовый	Серовато-фиолетовый	
Никель хлористый	10,0	Розовый	Розовый	
Шавелевая кислота	5,0	Сероватый	Сероватый	
Олово двуххлористое	7,0	Серовато-фиолетовый	Серовато-фиолетовый	
Шавелевая кислота + + олово двуххлористое	2,0	Оранжево-розовый	Оранжево-розовый	
	0,2	Красный	Красный	
	3,0+0,2	Бордовый	Бордовый	

Окончание табл.

Протрава	Кол-во химиката, %	Крашение одновременно с солями металлов		Цвет окрашенной пряжи	Крашение перед проправой	Крашение после проправы
		Кислотная ванна	Фиолетовая ванна			
Муравьиная кислота	2,5 л/л	Серовато-фиолетовый	Серовато-фиолетовый	Розовый	Розовый	Серовато-фиолетовый
Алюмо-калиевые квасцы	10,0	Розовый	Розовый	Сероватый	Сероватый	Розовый
Железный купорос	10,0	Сероватый	Сероватый	Табачный	Табачный	Сероватый
Красная кровяная соль	10,0	Табачный	Табачный	Хаки	Хаки	Хаки
Медный купорос	10,0	Темно-фиолетовый	Темно-фиолетовый	Бежевый	Бежевый	Бежевый
Хромник	0,70	Хаки	Хаки	Оливковый	Оливковый	Оливковый
Калий маргашевокислый	0,80	Бежевый	Бежевый	Розовато-фиолетовый	Розовато-фиолетовый	Розовато-фиолетовый
Кобальт уксуснокислый	10,0	Оливково-серый	Оливково-серый	Сероватый	Сероватый	Сероватый
Кадмий уксуснокислый	10,0	Розовато-фиолетовый	Розовато-фиолетовый	Серовато-фиолетовый	Серовато-фиолетовый	Серовато-фиолетовый
Свинец уксуснокислый	5,0	Сероватый	Сероватый	Оранжево-розовый	Оранжево-розовый	Оранжево-розовый
Никель хлористый	7,0	Серовато-фиолетовый	Серовато-фиолетовый	Красный	Красный	Красный
Шавелевая кислота	0,2	Оранжево-розовый	Оранжево-розовый	Бордовый	Бордовый	Бордовый
Олово двуххлористое	0,2	Красный	Красный			
Шавелевая кислота + олово двуххлористое	3,0+0,2	Бордовый	Бордовый			

использованные в ковровом производстве, снизили качество художественного оформления ковров так как светостойкость их оказалась низкой.

В лаборатории растительных ресурсов Института ботаники АН Азербайджанской ССР мы провели окрашивание шерстяной пряжи водным экстрактом, полученным из кошенили, привезенной из Института ботаники АН Туркменской ССР. Полученные данные приведены в таблице.

Для окрашивания шерстяной пряжи применялась методика, разработанная автором [6]. Окрашивание производилось с помощью водного экстракта, полученного из кошенили, в нейтральных, щелочных или кислых ванных с предварительной и последующей проправой шерстяной пряжи солями металлов: алюмо-калиевыми квасцами, железным и медным купоросом, хромником, кобальтом уксуснокислым, никелем хлористым оловом двуххлористым и др.

Использование различных химических веществ и изменение условий окрашивания впервые позволило нам, кроме красных и фиолетовых цветов, получить разнообразную гамму цветов и оттенков: бордовый, розовый, зеленый, оливковый, бежевый, сероватый, хаки, табачный, малиновый и др.

Испытание образцов шерстяной пряжи, окрашенной экстрактом кошенили по ГОСТу—9733—61, показало, что они очень светостойки и устойчивы к трению и химическим воздействиям.

Установлено, что экстрактом, полученным из 1 кг сухой кошенили, можно окрасить 30—40 кг шерстяной пряжи.

Кошениль является не только прекрасным красителем шерсти и шелка, но и может применяться в качестве акварельной краски в живописи, при окрашивании микроскопических препаратов, для изготовления румян и в медицине.

Выходы

1. Наши исследования показали, что кошениль ааратская является незаменимым естественным красителем для окрашивания шерсти, шелка, хлопчатобумажной ткани и т. д.

2. Экстракти обеспечивают достаточно прочную окраску шерсти в следующие цвета: красный, бордовый, фиолетовый, розовый, бежевый, зеленый, оливковый, табачный, сероватый и др.

3. Красящая способность *Porphyrhoga hamelii* Brandt достаточно велика: из 1 кг измельченного порошка кошенили ааратской можно получить 140—150 л красильного экстракта, которым можно окрасить от 30 до 40 кг шерсти и шелка.

4. Учитывая народнохозяйственную ценность этого вида и ограниченность его распространения, целесообразно изучить биологию, экологию, размножение, а также ареалы его.

Литература

1. Бархарлы, Азербайджан. Баку, 1921.
2. Ветчинкин А.-Р. Естественные органические красящие вещества. Саратов, 1966.
3. Вульф Е. В., Малеева О. Ф. Мировые ресурсы полезных растений. Изд.-во "Наука", Л., 1969.4. Добринин И. А. Естественные органические красящие вещества. Научн. химико-техн. управление ВСХГ, Л., 1929.
5. Ильин И. П. Курс красильного производства. СПб., 1874.
6. Лидов А. П. Химическая технология волокнистых веществ. СПб., 1900.
7. Касуинов М. А. Методы крашения шерстяной пряжи растительными кра-

сителями. Изв. АН Азерб. ССР, № 6, 1976. 8. Майер Ф. Естественные органические красящие вещества. М., 1940. 9. Михайлов С. Н. Производство минеральных и земляных красок. Пг., 1915. 10. Мкртчян Л. П. Материалы по биологии размножения ааратской кошенили (*Porphyrphora hamelii* Brandt). Бюл. ж., т. XXIX, № 8, Ереван, 1976. 11. Нецкий Р. Химия органических красящих веществ. СПб., 1896. 12. Тер-Григорян. Морфология ааратской кошенили. Ереван, 1924. 13. Linge-Berl. Chemisch-technische Untersuchungsmethoden. Bd. IV. Berlin, 1924. 14. Fogel H. W. Praktische Spectralanalytische Nachweis künstlicher organischer Farbstoffe. Berlin, 1900. 15. Rupe. Die Chemie der natürlichen Farbstoffe. Bd I—1900, Bd II—1909. 16. Schützenberger M. P. Die Farbstoffe. Berlin, 1870.

Институт ботаники

Поступило 1. VIII 1977

М. Э. Гасымов

**АРАРАТ КОШЕНИЛИНДЭН БОЯГ СЭНАЈЕСИНДЭ
ИСТИФАДЭОЛУНМА МҮМКҮНЛҮҮ**

Апардыгымыз тәдгигат ишләринин, иэтичеси көстәрди ки, аарат кошенили бояг санаәсү үчүн гијметли бир хаммал саяла биләр. Белә ки, ондан назырланан боја мәһлүлүнүн мұхтәлиф ашгардајычы маддәләр әлавә етмәккә јун вә ипек мәмүлатларының гырымызы, албалы, зејтуну, боз, ачыг гәһвәзи, нарынчы, чәрәжү түтүнү, яшыл ва саирә рәнк вә чаларлара бојамаг олар.

Алынан рәнк вә чаларлар күнәш шүасына вә мұхтәлиф кимјәви јуучу маддәләрин тә'сирине чох давамлы олур.

M. A. Kasumov

**THE ARARAT COCHINEAL (PORPHYROPHORA HAMELII
BRANDT) THE POSSIBILITIES OF IT USAGE IN THE
DYE-WORKS**

As a result of our studies the ararat cochineal has been established to be irreplaceable natural dye for wool, silk, cotton, etc.

The colours and shades obtained, namely, wine, grey, green, olivebeige, snuff are light-and detergent-stable.

АЗӘРБАЙЧАН ССР ЕЛМЛӘР АКАДЕМИЯСЫНЫН МӘРҮЗӘЛӘРИ

ДОКЛАДЫ АКАДЕМИИ НАУК АЗЕРБАЙДЖАНСКОЙ ССР

ТОМ XXXIV ЧИЛД

№ 1

1978

UDK 582. 52/59/479. 24

**СИСТЕМАТИКА ВЫСШИХ
РАСТЕНИЙ**

С. Г. МУСАЕВ, И. А. САДЫХОВ

НОВЫЙ ВИД РОДА STIPA L. ИЗ НАХИЧЕВАНСКОЙ АССР

(Представлено академиком АН Азербайджанской ССР
М. Г. Абуталибовым)

Stipa issaevi Musaev et Sadychov sp. nov. — Planta perennis, densa cespitosa, 30—50 cm alt. Vagine foliorum inferiorum breviter sed dense pilosae, superiorum subglabrae; ligula membranacea, foliorum innovationum 4 mm lg., foliorum caulinorum 9—10 (11) mm lg., dorso plus minusve pilosae; laminae conduplicatae, 0,9—1,2 mm in diam.; extus flabrate et laevis, intus scabrae, sine pilis. Paniculae angustae, contractae, rachilla breviter pilosa; glumae 7—9 cm lg., longe acuminaliae? Lemmata 25—26 mm lg., in parte inferiore pilosa, supra lineis pilosis nodata, e quibus marginales aristam subattingentes; callus 5—6 mm lg.; arista 25—35 cm lg., bigeruculata, in parte inferiore torta usque ad basium 1/5—1/4 intergrae, in parte superiore pilosa, pilis 7—9 mm lg.

Typus, Azerbaldzhania, Respublica autonoma Nachiczevan, in viciniis pag. Kulus, in declivitate herbida sicco, 20. VII 1975, I. A. Sadychov (BAK).

Affinitas. A. specie proxima — *Stipa paradoxa* Jung e arista 26—35 cm lg. (а пес 19—23 см lg.), in 1/5—1/4 usque integræ parte inferiore glabra et laevis, in parte superiore pilosa, pilis 7—9 mm lg. (а пес са 5 mm lg.), ligula sat breviter pilosa (9—11 mm lg.) differt.

Многолетнее густодернистое растение высотой 30—50 см, влагалища нижних листьев коротко, но густо волосистые, влагалища верхних — почти голые, язычок перепончатый, длина листьев вегетативных побегов — 4 мм, а стеблевых листьев — 9—10 (11) мм, спинка их более или менее волосистая; листовые пластинки, сложенные вдоль, имеют в диаметре 0,9—1,2 мм, снаружи голые и гладкие, внутри гладкие, но коротко волосистые. Метелки узкие, сжатые, ось колоска коротковолосистая; колосковые чешуи длиной 7—9 см, длинно заостренные; нижние цветковые чешуи длиной 25—26 мм, в нижней части волосистые, выше с 7 рядами волосков, из которых краевые доходят до основания ости; каллус длиной 5—6 мм, ость 26—35 см, дважды коленчато- согнутая, в основании нижней части почти на 1/5—1/4 своей длины гладкая, в верхней части с перистыми волосками длиной 7—9 мм.

Тип. Азербайджан, Нахичеванская АССР, окр. сел. Кулус, на сухих травянистых и каменистых склонах, 20. VII 1975, И. А. Садыхов (BAK).

Родство. От наиболее близкого вида — *Stipa paradoxa*, Ju пげ отличается более длинными (26—35, а не 19—23 см) остьюми, в нижней скрученной части на 1/5—1/4 своей длины голые и гладкие, в верхней части с перистыми волосками длиной 7—9 мм (а не 5 мм), с довольно длинными язычками (9—11 мм).

Институт ботаники

Поступило 3. V 1976

C. h. Мусаев, И. А. Садыков
НАХЧЫВАН ФЛОРАСЫНЫН ЈЕНИ STIPA L.
НӨВҮ ҺАГГЫНДА

Тематик экспедиция заманы Нахчыван МССР-дән топланылмыш шијав чинсинә аид һербари материалларының сәрәнәркән бу чинсин йени нөвү — *Stipa Issaevi Musaev et Sadykov* мүәйян, едииншидир.

Мәгәләдә тасвир олуулан йени нөв бир чох морфологи иишәнәләриң көрә она дахын олай *Stipa paradoxa* Jungе нөвүндән сүнбулчук саплағының тамамилә түкчүк-ду, ярпаг аյәсииң алт (дахили) һиссәсииң һамар вә гыса түкчүк, ярпагын 0,9—1,2 мм диаметриндә олмасы, ейни заманда иисбәтән узун гылчыглы (26—35 см узун, ачыг 19—23 см јох) вә гылчыгын ашагы бурулмуш һиссәсииң өз узунлугунун 1—4 гәдәр чылпаг вә һамар, яхары һиссәсииң 7—9 мм узун (анчаг 5 мм-э гәдәр јох) түкчүк, векетатив зөгләрда дилчијин 4 мм вә көвде ярпагларында дилчијин 9—10 [11] мм узунлугда олмасы илә фәргләннir.

S. G. Musayev, I. A. Sadykov

NEW SPECIES OF THE GENUS STIPA L. FROM NAKHICHEVAN

By critical treatment of herbarium materialis on the genus *Stipa* L.—*Stipa Issaevi Musayev et Sadykov* sp. nov. is found. It is similar to *Stipa paradoxa* Jungе.

АЗЭРБАЙЖАН ССР ЕЛМЛӘР АКАДЕМИЯСЫНЫН МӘРУЗӘЛӘРИ

ДОКЛАДЫ АКАДЕМИИ НАУК АЗЕРБАЙДЖАНСКОЙ ССР

ТОМ XXXIV ЧИЛД

№ 1

1978

УДК 632.7.651

ЗООЛОГИЯ

Г. А. КАСИМОВА

**СЛУЧАЙ ОБНАРУЖЕНИЯ ГОРЧАКОВОЙ НЕМАТОДЫ
PARANGUINA PICRIDIS (KIRJANOVA, 1944) НА ГОРЧАКЕ
ПОЛЗУЧЕМ В АЗЕРБАЙДЖАНЕ**

(Представлено академиком АН Азербайджанской ССР М. А. Мусаевым)

Горчаковая нематода — естественный враг сорняка — горчака ползучего. Горчак ползучий (кәкәр) — *Acroptilon repens* является злостным сорняком поливных и богарных посевов Азербайджана (овощных, зерновых, технических, кормовых и др. культур). Особенно широко распространен он на хлопковых посевах республики. Горчак ползучий — опасный засоритель и посевов люцерны. Это очень засухоустойчивое растение, не боится уплотнения и засоления почвы. Горчак ядовит и опасен для животных. Сено с примесью горчака не пригодно для животных.

Горчаковая нематода впервые была обнаружена в Таджикистане в Гиссарской долине в 1944 г. Позже была отмечена в Самаркандской (ургут) и Ташкентской (сел. Юсуп-Хана) областях Узбекской ССР, в Сисянском районе Армянской ССР и в заповеднике Аксу-Джеглы Казахской ССР. Затем этот паразит был интродуцирован в Казахстан. В Азербайджане заболевание горчака этой нематодой никем не было обнаружено. В 1975 г. при обследовании сорных растений овощных культур Алшерона в двух хозяйствах (сел. Говсаны и Хурдалан) в посевах овощных культур обнаружили растения горчака ползучего, зараженные горчаковой нематодой. Зараженные растения оказались сильно угнетенными. При этом было отмечено, что росшие рядом различные культуры этой нематодой не заражены.

Размер галлов — 1—3×0,5 см. Число галлов на одном растении — 2—12 шт. В галле находятся в большом количестве самки, самцы и инвазионные личинки.

Размер самок — 1,5—2,1 мм; a=23—44; b=6,0—12,5; c=14—23,5 мк; V=81—84%; копье — 12 мк. Размер самцов — 1,35—1,8 мм; a=36,2—49,5; b=6,7—7,0; c=14,4—18,7 мк; копье — 12 мк; спикулы — 40—43 мк; рулек — 10—15 мк. У самок голова с тремя кольцами кутикулы, яичник дважды изогнут. Длина задней матки в 2 раза превышает диаметр тела. У самцов бурса не доходит до конца хвоста на 20 мк. Размеры яйца — 63—80×31—34 мк. Личинки длиной 750—850 мк.

При сильном заражении растения остаются низкорослыми, репродуктивные органы у них оказываются недоразвитыми. В зависимости от степени заражения всходы часто гибнут. Личинки горчаковой нематоды зимуют в остатках зараженных растений и находятся в верхнем слое почвы до глубины 5–7 см. Весной они проникают в пазухи листьев и стеблей молодых побегов, и в течение 5–10 дней в этих

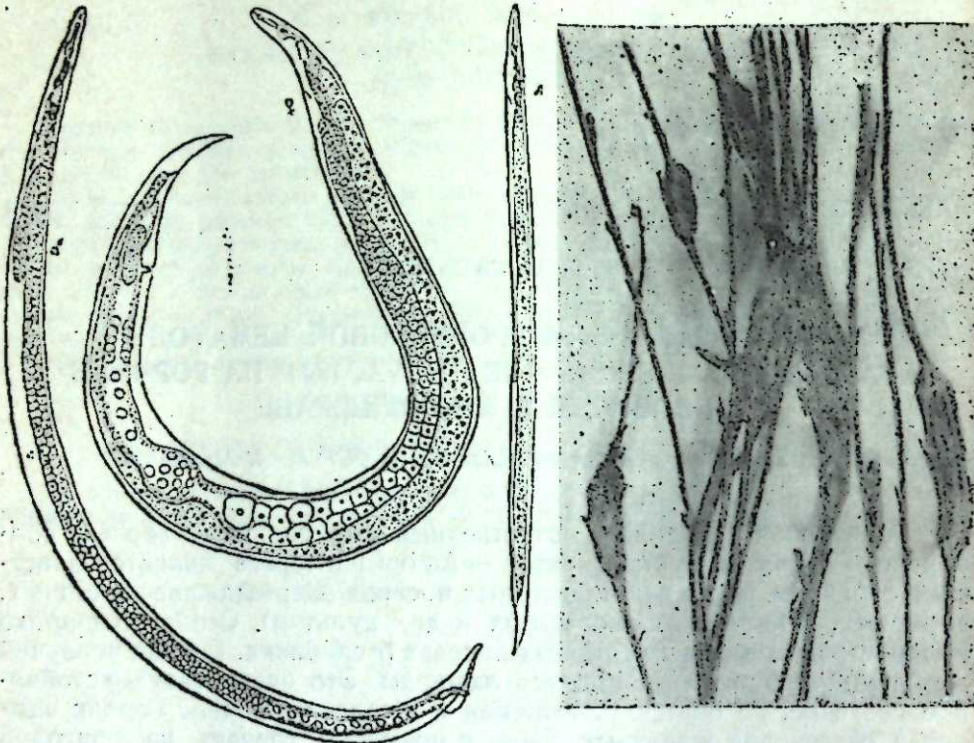


Рис. 1. Самец, самка и личинка горчаковой нематоды—*Paranguina picridis* (по Кирьяновой)

местах образуется галл в виде небольшого уплотнения ткани с полостью внутри. Галлы вначале бывают зеленого цвета, затем постепенно темнеют и становятся почти черными. Иногда галлы бывают крупные и висят вокруг основного стебля. В галлах развивается два поколения паразита, к концу вегетации (в августе) в них бывает несколько тысяч инвазионных личинок (Кирьянова, 1944). Этот случай говорит о том, что имеется еще один фактор биологического метода борьбы со злостным сорняком — горчаком ползучим. Для расселения горчаковой нематоды необходимо в начале сентября собрать сухие стебли горчака (с галлами) и в начале ноября часть их закопать на глубину 4–6 см под стеблями горчака, другую часть разбросать по поверхности почвы (из расчета 250 г/м²), чтобы весной под действием почвенной влаги галлы разрушались и нематоды выходили в почву (Иванников, 1969).

Литература

1. Эмадбэли Н. Э., Эфандиева Ш. М. АДУ-нун едни эсэрләри, биол сер., №2, Бакы, 1961.
2. Бржецикий М. В. Горчак. Баку, 1938.
3. Касимова Г. А., Атакишиева Я. Ю. Эколого-фаунистическая характеристика нематод сорных растений овощных посевов Ашхерона. Изв. АН Азерб. ССР, серия наук о Земле, № 5, 1976.
4. Кирьянова Е. С. Изв. Тадж. ФАН СССР, № 5, 1944.

5. Кирьянова Е. С., Иванова Т. С. Матер. Всесоюзн. совещ. по изучению нематод. Тез. докл. Изд. Самаркандск. гос. ун-та, 1960.

6. Кирьянова Е. С., Краль Э. Л. Паразитические нематоды растений и меры борьбы с ними, т. II. Л., 1971.

7. Киселев А. Н. Сорные растения и меры борьбы с ними. М., Сельхозгиз, 1951.

Институт зоологии

Поступило 3. VI 1977

Г. Э. Гасымова

АЗЭРБАЙЧАНДА КЭКРЭ ОТУНДА КЭКРЭ НЕМАТОДУНУН-PARANGUINA PICRIDIS (KIRJANOVA, 1944) ТАПЫЛМАСЫНА ДАИР

Мэглэдэ экин саһәләриндә кениш јајылыш чётин ләғв единән кэкрэ отунда кэкрэ нематодуну илк дәфә Азәрбајчанда (икинчи тапынты) тапылмасындан бәнс едилүр. Нематодун гурулушу ва бә'зи биологи хүсусијәтлори нагында мәлumat верилмәкэлә йанаши гејд едилүр ки, кэкрәнин тәбии дүшиңнән олан кэкрэ нематоду васитәсилә республика әразисидә кэкрэ илә биологи үсүлла мүбаризә етмәк олар.

G. A. Kasimova

THE CASE OF DISCOVERING OF GORCHAK NEMATODE-PARANGUINA PICRIDIS (KIRJANOVA, 1944) ON CREEPING GORCHAK IN AZERBAIJAN

Data on gorchak nematode occurrence in Azerbaijan are given. Some morpho-biological data on parasites are presented. The author recommends to use gorchak nematode—the natural enemy of gorchak—in the biological methods of weed control and gives brief technique of galls using (full of parasites) in the gorchak control.

Рис. 2. Стебель горчака ползучего *Acropitton repens* с галлами горчаковой нематоды (*Paranguina picridis* Kирjanova, 1944) на Ашхероне.

УДК 631.43

ПОЧВОВЕДЕНИЕ

Р. Г. МАМЕДОВ, Ю. Д. ГАСАНОВ

ВЛИЯНИЕ ЛЕСНЫХ НАСАЖДЕНИЙ НА СОСТАВ ГУМУСА ПОЧВ СУХОСТЕПНОЙ ЗОНЫ АЗЕРБАЙДЖАНСКОЙ ССР

(Представлено академиком АН Азербайджанской ССР В. Р. Волобуевым)

По вопросу об исследовании состава и свойств органического вещества за последнее время появился ряд литературных данных. Работы И. В. Тюрина (1940), М. М. Кононовой (1963), Н. П. Ремезова (1933), В. Р. Волобуева (1948) и др. широко освещают вопросы накопления гумуса в почвах, его свойства и методы выделения органического вещества в различных почвенных типах. Однако состав органического вещества и его изменение в аналогичных почвах, находящихся длительное время под лесными насаждениями в условиях степной полосы, изучены в Азербайджане еще недостаточно. Изучению органического вещества лесостепных почв и обыкновенных черноземов посвящены работы [5, 12, 11 и др.]. Вопросы качественного состава гумуса в основных типах почв Азербайджана освещены в работах [1, 3, 6, 4 и др.].

Определение состава гумуса проводили по ускоренному методу М. М. Кононовой и Н. П. Бельчиковой (1961), основанному на извлечении гумусовых веществ из почвы смесью пирофосфата натрия с едким натром. На каждом ключевом участке из пяти мест были взяты почвенные образцы по генетическим горизонтам для лабораторного анализа.

С целью изучения влияния лесных насаждений на изменения физико-химических свойств каштановых почв было выбрано 3 ключевых участка под лесными насаждениями (посадки 1951 г.), пшеницей и целиной.

Каштановые почвы распространены в предгорной части и низкогорной зоне, на абсолютных высотах 200–600 м над ур. м. Геоморфологически это преимущественно древние террасы или конусы выноса рек, сложенные пролювиальными и делювиальными суглинистыми наносами.

Каштановые почвы равнинной части формируются в условиях сухого и теплого климата. Растительный покров исследуемой зоны характеризуется большим богатством видов и различными формациями, где выделяются полупустынные, нагорно-ксерофильные, лесные, садовые, сельскохозяйственные, сорные и др.

Сравнивая каштановые окультуренные почвы с подобными почвами под лесными насаждениями, можно отметить увеличение у пос-

Таблица 1

Горизонт и глубина, см	Гумус % m/га	Азот % m/га	C:N	Карбо- натность, %	Сумма пог- лощенных cationов, мг-экв на 100 г почвы	% от суммы			рН водный	Содержание водопро- водимых агрега- тов >0,25 м.м. %	<0,01	<0,01				
						Лесной массив										
						Ca	Mg	Na								
A' 0–20	2,70	65,3	0,13	3,3	11,5	6,11	44,2	63,0	30,5	6,5	8,1	64,4				
A" 20–45	2,48	78,1	0,14	7,9	10,0	6,79	38,3	67,9	24,8	7,3	8,3	55,6				
A' 0–15	2,15	40,6	0,11	2,5	10,9	6,32	32,0	78,1	15,6	6,3	8,3	53,4				
A" 15–45	1,04	40,9	0,07	4,9	3,4	16,6	27,4	80,3	7,3	12,4	8,4	48,2				
Целина																
Пшеничное поле																
A' 0–30	1,83	67,5	0,10	2,2	10,0	12,0	33,2	75,3	18,1	6,6	8,3	37,2				
A" 30–58	1,30	45,9	0,08	3,8	7,3	13,1	32,0	87,5	6,3	6,2	8,4	42,4				

ледних мощности гумусового горизонта и снижение глубины залегания карбонатов.

В каштановых почвах под лесными насаждениями запасы гумуса в метровой толще увеличиваются по сравнению с целиной более чем в 1,5 раза.

Установлено, что под лесными насаждениями почвы характеризуются относительно высокой величиной суммы поглощенных оснований (38,3—44,2 мг·экв на 100 г почвы). На целине емкость поглощения составляет 27,4—32,0 мг·экв на 100 г почвы.

Определенный интерес представляют изменения относительного содержания поглощенных оснований под различными угодьями (на целине, под пшеницей) в условиях сухостепной зоны Азербайджанской ССР. Относительное содержание поглощенного кальция заметно уменьшается, а магния, наоборот, увеличивается под древесными насаждениями. Карбонатность, солонцеватость также снижаются.

Запасы гумуса под лесами в поверхностном почвенном слое составляют 65,3, а азота—3,3 т/га, а на целине соответственно—40,6 и 2,5 т/га. Такое распределение гумуса соответствует характеру поступления растительных остатков в виде поверхностного лиственного опада лесной растительности. В гумусовом горизонте отношение C:N колеблется от 10,0 до 11,5, а на целине составляет 3,4—10,9% (табл. 1).

К особенностям почв под лесными насаждениями по сравнению с почвами открытого поля нужно также отнести повышенное содержание в них труднорастворимых веществ, т. е. негидролизуемого остатка.

В почвах под лесными насаждениями органическое вещество, образующееся при разложении корней древесных растений, усиливает цементацию агрегатов и делает их более прочными. Таким образом, корневая система является одним из факторов образования структуры почвы и повышения ее водопрочности (табл. 1).

Таблица 2

Состав гумуса в каштановых почвах
(в % от общего количества с почвы)

Горизонт и глубина, см	С, %	Компоненты гумуса, извлекаемые смесью $\text{Na}_2\text{P}_2\text{O}_7 + \text{NaOH}$			С-остаток почвы	$\frac{C_{\text{гк}}}{C_{\text{фк}}}$
		Общее количество	Гуминовые кислоты	Фульвокислоты		
Лесной массив						
A' 0—20	1,5	0,49 32,7	0,24 16,0	0,25 16,7	1,01 67,3	1,0
A" 20—45	1,4	0,49 35,0	0,24 17,1	0,25 17,9	0,91 65,0	0,9
Целина						
A' 0—15	1,2	0,42 34,0	0,24 20,0	0,18 14,0	0,78 66,0	1,3
A" 15—45	0,6	0,36 60,0	0,18 30,0	0,18 30,0	0,24 40,0	1,0
Пшеница						
A' 0—30	1,0	0,34 34,0	0,12 12,0	0,22 22,0	0,78 66,0	0,6
A" 30—58	0,7	0,49 67,2	0,24 32,8	0,25 34,4	0,24 32,8	0,9

При изучении указанных почв выявлено, что состав гумуса почв под лесными насаждениями гуматно-фульватный; отношение $C_{\text{гк}} : C_{\text{фк}}$ изменяется в пределах 0,9—1,0. Надо отметить, что вниз по профилю почв это соотношение почти не изменяется, но наблюдается некоторое повышение относительного количества гуминовых и фульвокислотных веществ, вследствие чего снижается негидролизуемый остаток. Из табл. 2 видно, что на целине в почвах под лесными насаждениями состав гумуса почти одинаков, только в целинных почвах органическое вещество является более гуматным и отношение $C_{\text{гк}} : C_{\text{фк}}$ по профилю меняется в пределах 1,0—1,3. Относительное количество гуминовых и особенно фульвокислот по профилю повышается. При этом в почвах под лесными насаждениями эти повышения незначительны, а на целине, наоборот, резко выражены.

Иная картина наблюдается в полях под пшеницей. В этих почвах состав гумуса в пахотном слое (0—30 см) является фульватным; а вниз по профилю соотношение углерода двух групп гумусовых кислот повышается и составляет 0,9. Количество гуминовых кислот в нижних горизонтах этих почв повышено. Распределение органического вещества по профилю почв может быть объяснено тем, что при разложении корневых систем образующееся органическое вещество вследствие орошения вымывается в нижележащие слои.

Полученные данные показывают, что в каштановых почвах под пшеницей и на целине в большинстве случаев обнаруживается значительно более повышенное содержание гуминовых кислот, чем в почвах под лесными насаждениями.

На участках под лесными насаждениями и на целине соотношение $C_{\text{гк}} : C_{\text{фк}} > 1$. Это позволяет отнести гуминовые вещества почв описываемых участков к фульватно-гуматно-гуминному типу, а почвы участков под пшеницей — к гуматно-фульватно-гуминному типу.

Литература

- Алиев С. А. 1966. Изд. АН Азербайджанской ССР. 2. Алиев Г. А., Гасанов Х. Н. 1972. Влияние лесов на почвенные процессы. Баку. 3. Алиев С. А., Шейхов М. А. 1974. „Почвоведение“, № 11. 4. Алекскеров А. А., Мамедов Р. Г. 1973. „Эрозия“, № 49. АзНИИТИ. 5. Байко А. С. 1955. Состав органических веществ ВКН. В сб.: „Полезащитное лесоразвитие“. 6. Касимов Н. Н., Бабаев М. П. 1972. Изв. АН Азерб. ССР, серия биол., № 2. 7. Волобуев В. Р. 1948. „ДАН СССР“, IX, № 1. 8. Кононова М. М., Бельчикова Н. П. 1961. „Почвоведение“, № 10. 9. Кононова М. М. 1963. Органическое вещество почвы. М., Изд. АН СССР. 10. Ремезов Н. П. 1933. „Почвоведение“, № 5. 11. Соколов П. Е., Барсукова М. П. 1961. „Вест. Московск. ун-та“, № 2. 12. Сущалкина М. И. 1950. „Почвоведение“, № 8. 13. Тюрик И. В. 1940. „Проблемы сов. почвоведения“, сб. 11.

Институт почвоведения и агрохимии

Поступило 20. VI 1977

Р. Г. Мамедов, Ю. Д. Гасанов

ЭКИЛМИШ МЕШЭНИН ГУРУЧЕЛ ТОРПАГЛАРЫНДА НУМУСУН ТЭРКИБИНЭ ТЭСИРИ

Мэггалэдэ илк дэфэ олраг гуручел зонасында экилмиш мешенин алтындакы шабалдын торпагларда нумусун тэркибинэн дэјишилмэснэн бэхс единир.

Азэрбајҹанын гуручел зонасы торпагларында апарылан тэчүрүбэлэр итичэснэдэ мүэјјэн единимшидир ки, мешэ алтындакы торпагда үзви маддэний мигдары хам вэ тахылалты саһэлэрэ писбэтэн үстүн олмушдур.

R. G. Mamedov, Yu. D. Gasanov

THE INFLUENCE OF FORESTRY PLANTATION TO STRUCTURE HUMUS IN DRY-STEPPE ZONE SOIL OF AZERB. SSR

The fractional structure of humus studied under forestry plantation soil and different agricultural culture.

УДК 595.423

АКАРОЛОГИЯ

К. А. КУЛИЕВ

TRIAUNGIUS KULIJEV GEN. NOV.

(Представлено академиком АН Азербайджанской ССР М. К. Ганиевым)

Типовой вид: *schelorivates* (?) *Fallax* Kulijev, 1968

Клещи среднего размера, светло-золотистой окраски, умеренно склеротизированные. Гистеросома имеет цилиндрическую форму. Длина протеросомы примерно на 2/5 меньше длины гистеросомы. Ламеллы широкие, расположены вдоль боковых сторон протеросомы, суживающиеся кпереди. Длина ламелл более 2/3 длины протеросомы. Основания ламелл скрыты под выступающим передним краем нотогастера.

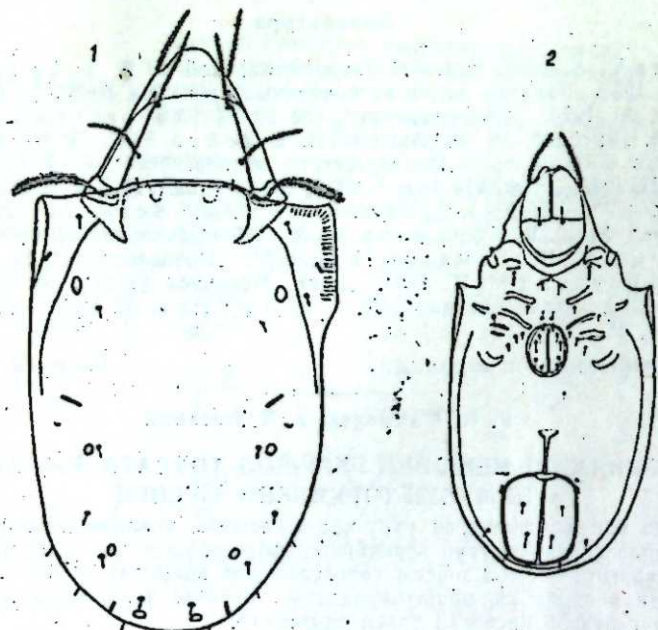


Рис. 1. *Triaungius fallax* Kulijev gen. nov. 1—вид сверху; 2—вид снизу.

Из дистальных половин ламелл отделяется по одной четкой ветви, которая за основанием интерламеллярных щетинок продолжается в виде нечеткой линии. Эта ветвь проксимально дуговидно изогнута и

по середине ламелл проходит к их корням. Крыловой шов четкий. Трихоботрии дистально утолщены и 2/3 части их, около 40 пар, покрыты заметными шипами.

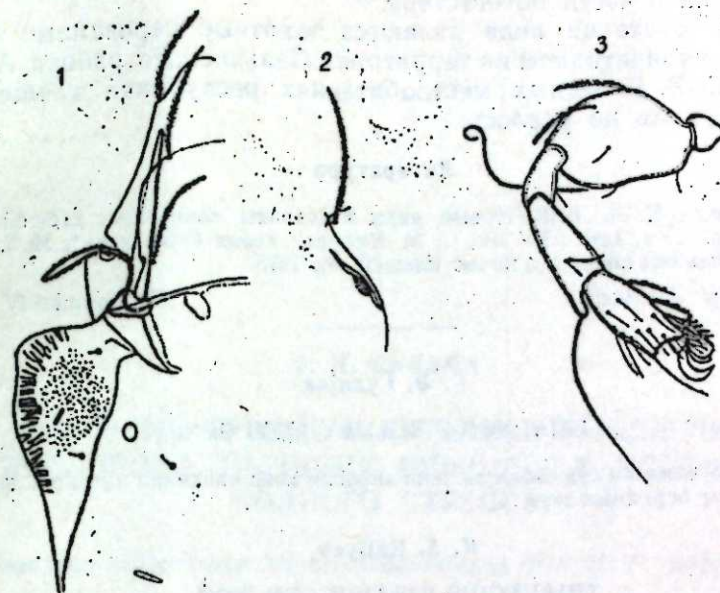


Рис. 2. *Triaungius* Kulijev gen. nov. 1—левая половина продорзума; 2—субламелла; 3—нога из первой передней пары. р

Расстояния между коксами II и III в два раза больше, чем расстояния между коксами I и II или III и IV. Лапки I и II отличаются от лапок III и IV пары ног своеобразным строением. Коксы I и II сердцевидные. Насчитывается 10 пар нотогастральных щетинок. Пористые поля четкие (4 пары). Генитальных щетинок—5 пар. Анальное отверстие удалено от генитального более чем на длину первого. Лапки трехкоготковые, причем средний коготок более развит, чем боковые щетинковидные, тонкие. Субламеллы луковидные, по длине равны 1/2 длины ламелл. На уровне средней части субламелл имеется одно большое поровидное образование, 1/4 часть которого скрыта под субламеллами. Первая пара аданальных щетинок расположена перед анальным отверстием, тогда как остальные 2 пары отодвинуты к ее задней части.

Новый род занимает промежуточное положение между родами *Protoribates* и *Haplozetes*. Однако у представителей рода *Haplozetes* настоящие пористые поля отсутствуют, вместо пористых полей имеются саккули. А у представителей рода *Protoribates* лапки с одним коготком, 4 пары генитальных щетинок. 4 пары генитальных щетинок отмечены также у представителей рода *Scheloribatus*, к которому сначала был условно отнесен это вид.

Triaungius fallax (Kulijev, 1968)

С родовым диагнозом. Длина тела—500—542 μ . Ширина тела на уровне птероморф—295 μ . Длина протеросомы—153 μ , гистеросомы—384 μ . Длина ламелл с основанием—132 μ . Длина ростральных щетинок—65 μ , ламеллярных щетинок—68 μ , интерламеллярных щетинок—83 μ , трихоботрий—95 μ . Размеры анального отверстия—117X 105 μ , генитального—59X 47 μ . Нотогастральные щетинки мелкие. Пористые

поля, щелевидные органы и вводные отверстия жировых желез легко бросаются в глаза. В хорошо просветленных экземплярах даже с дорзальной стороны прорезума видны поровидные образования. Нотогастер слегка морщинистый. Морщинистость особенно хорошо заметна в нижней части нотогастера.

Местом обитания вида являются пахотные сероземные луговые почвы под хлопчатником на территории Сальянского района Азербайджанской ССР. В лесных местообитаниях республики клещей этого вида обнаружить не удалось.

Литература

- Кулиев К. А. 1968. Новые виды и подвиды панцирных клещей из лесов Азербайджана. Уч. зап. АГУ им. С. М. Кирова, серия биол. наук, № 2, 84—101.
- Определитель обитающих в почве клещей. М. 1975.

АПИ им. В. И. Ленина

Поступило 27. VI 1977

Г. Э. Гулиев

TRIAUNGUS KULIEV NOV. GEN.

Мэглэдэе ели э мэ'лум олмаан яни зиреиши кэнэ чинсний тэсвири, шэкиллэри вэ эколокијасы верилмишдир.

К. А. Kuliyev

TRIAUNGUS KULIEV GEN. NOV.

This paper deals with the description, pictures, ecology of the new genus of oribatides ticks—*Triaungus Kuliev gen. nov.*

АЗЭРБАЙЧАН ССР ЕЛМЛЭР АКАДЕМИЈАСЫНЫН МЭ'РҮЗЭЛЭРИ

ДОКЛАДЫ АКАДЕМИИ НАУК АЗЕРБАЙДЖАНСКОЙ ССР

ТОМ XXXIV ЧИЛД

№ 1

1978

УДК 577

БИОФИЗИКА

Ф. М. САЛАМА

СВЕТОВЫЕ КРИВЫЕ И КИНЕТИКА ВЫДЕЛЕНИЯ КИСЛОРОДА ЛИСТЬЯМИ ПШЕНИЦЫ В УСЛОВИЯХ ВОДНОГО СТРЕССА

(Представлено академиком АН Азербайджанской ССР М. Г. Абуталибовым)

Известно, что в условиях водного стресса фотосинтез высших растений резко подавляется. Обычно это подавление объясняется нарушением деятельности устьичного аппарата [1] и подавлением диффузии CO_2 [2]. Однако имеются убедительные указания на то, что состояние воды в тканях оказывает регуляторное влияние на развитие фотосинтетического аппарата. Так, низкий уровень водобеспеченности приводит к изменениям скорости накопления хлорофилла [3] и тормозит структурную дифференциацию хлоропласта [4]. Показано, что обезвоживание листьев приводит к изменению реакции Хилла [5,6] и фотофосфорилирования [7,8], а также скорости выделения O_2 [9].

В последнее время появились работы, в которых указывается на то, что нарушения под влиянием водного дефицита возникают в фотокинетической стадии фотосинтеза [10, 11].

Учитывая, что в фотокинетической стадии фотосинтеза важная роль принадлежит состоянию кислородовыделяющей системы высших растений, в работе исследовалась кинетика и световые кривые выделения O_2 листьями пшеницы, выращенной в различных условиях водообеспеченности.

МАТЕРИАЛЫ И МЕТОДЫ

В работе использовали два сорта *Triticum vulgare* Гиза-55 (APE) и Макс-Бак (Мексика)*, отличающиеся устойчивостью к дефициту влаги. Водный стресс создавали, помешав 7-дневные проростки пшеницы, выращенные на 1/10 питательного раствора Хогланда в специальном проращивателе (освещенность—5000 лк люминесцентными лампами, фотопериод—14 часов, $20^\circ\text{C} \pm 1^\circ$, относительная влажность—50—70%), в сосудах с солевым раствором соответствующего осмот-

* Семена этих сортов были любезно предоставлены отделом злаковых Министерства сельского хозяйства в г. Гиза (APE).

тического давления (различные концентрации хлористого кальция и хлористого натрия). Через 4 дня пребывания в данных условиях проводили измерения скорости обмена O_2 . Кинетику выделения или поглощения O_2 высечками одного и того же листа проростков пшеницы одинакового диаметра измеряли на открытом платиновом электроде, на установке, описанной ранее [12].

Запись скорости обмена O_2 проводилась перед освещением, во время освещения полихроматическим светом (лампа накаливания 100 вт, 12 в) и после него. При исследовании световых кривых выделения O_2 интенсивность света изменяли с помощью стеклянных ослабляющих фильтров.

РЕЗУЛЬТАТЫ И ОБСУЖДЕНИЕ

При освещении высечек из нормально выращенных проростков, помещенных на платиновый электрод, после светового периода наблюдается индукция выделения O_2 (рис. 1, А, Б). При этом, как

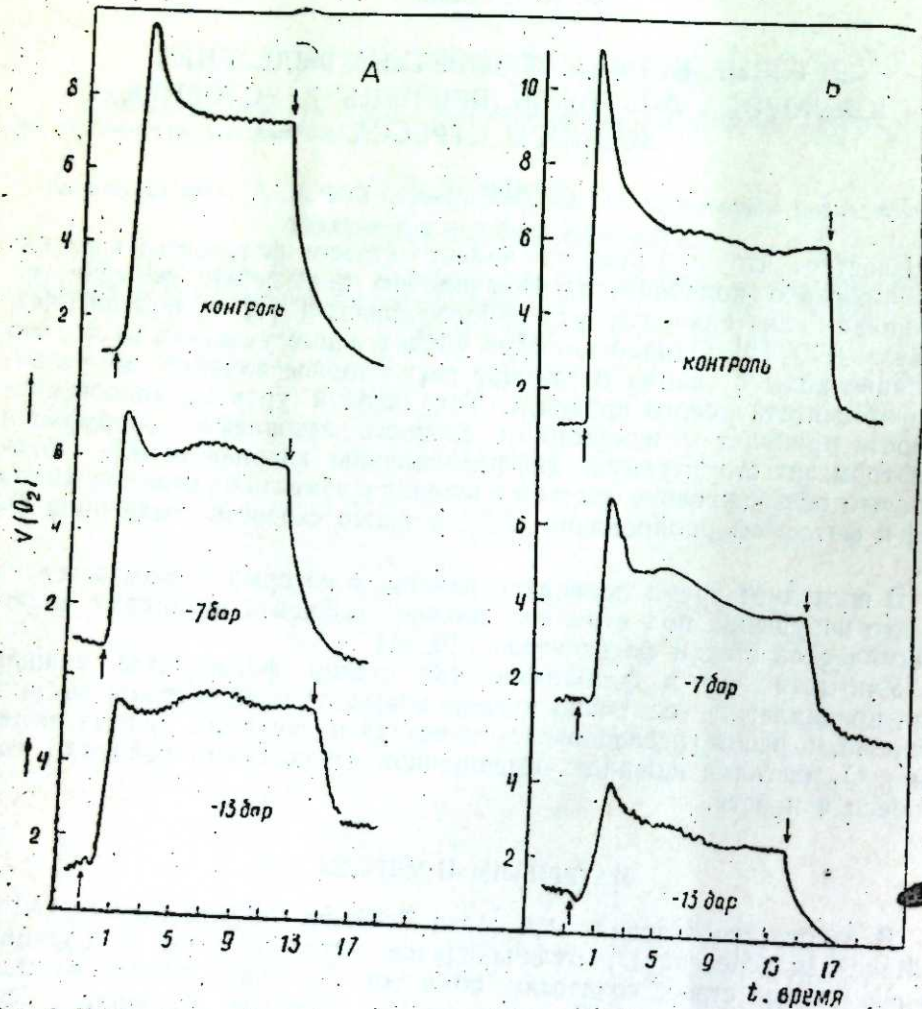


Рис. 1. Кинетические кривые выделения O_2 листьями проростков Гиза-155 (А) и Макс-Бак (Б) в норме и под влиянием водного дефицита.

видно из рисунка, наблюдается кислородный всплеск (V_{max}), а затем резкое падение и медленный подъем до стационарного уровня (V_s). Если учесть диффузию кислорода из листа, время этого всплеска

равно приблизительно 2 мин. Прекращение освещения приводит к резкому снижению скорости выделения O_2 с выходом на стационарный уровень, характеризующий уровень дыхания. При сравнении кривых А и В на рис. 1, соответствующих кинетике выделения O_2 , соответственно высечкам из листьев пшеницы Гиза-155 и Макс-Бак, видно, что существенных различий между сортами не наблюдается. Тем не менее V_{max} у сорта Макс-Бак и отношение V_{max}/V_s у того же сорта значительно больше.

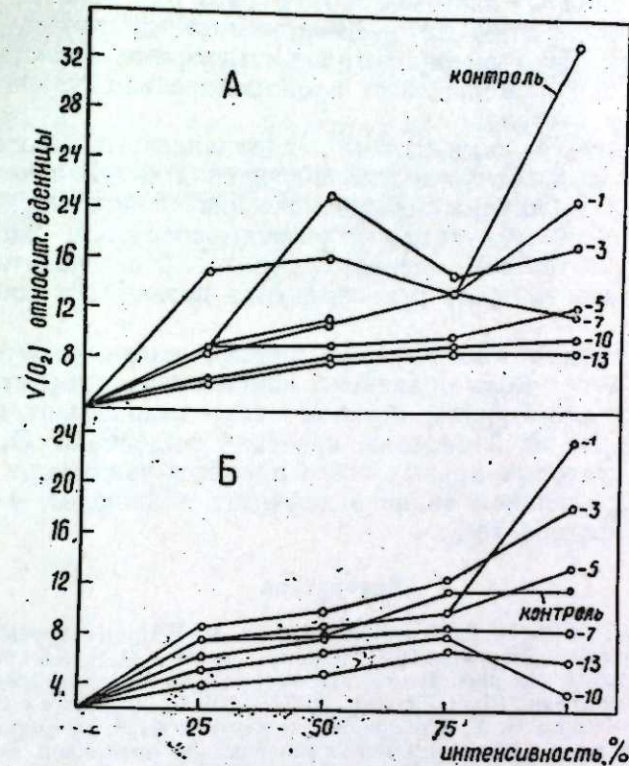


Рис. 2. Световые кривые выделения O_2 листьями проростков Гиза-155 (А) и Макс-Бак (Б) при различных уровнях водного дефицита.

При дефиците влаги наблюдаются значительные изменения в процессе выделения O_2 под влиянием освещения (рис. 1). Эти изменения различны для каждого из сортов. Для сорта Гиза-155 при -7 бар (рис. 1, А) наблюдается уменьшение V_{max}/V_s и некоторое увеличение V_s . Однако при осмотическом давлении в -7 бар кислородный всплеск почти отсутствует (см. рис. 1, А), а V_s значительно уменьшается. Сорт Макс-Бак, по-видимому, более устойчив к изменениям водного баланса, и общий вид кинетической кривой выделения O_2 у него подвергается значительным изменениям (рис. 1, Б). Однако с увеличением осмотического давления раствора отношение V_{max}/V_s заметно падает.

Интересные данные получены при анализе световых кривых выделения O_2 исследуемых сортов (рис. 2, А, Б). Согласно общепринятому представлению, крутизна наклона световых кривых характеризует квантовый выход процесса, а световое насыщение обусловлено ограничением общей скорости какой-то "лимитирующей" ферментативной реакцией.

Как видно из представленных данных, используемый источник освещения не позволил нам достичь светового насыщения ни для сорта Гиза-155, ни для сорта Макс-Бак. Однако начальный наклон кривой, характеризующий квантовый выход процесса, во многом зависит от величины осмотического давления раствора, в который помещали проростки пшеницы.

Как видно, каждый из исследуемых сортов по-своему реагирует на стрессовые условия. Так, низкие величины водного потенциала раствора, вплоть до давления —5 бар, увеличивают квантовый выход процесса выделения O_2 листьями сорта Гиза-155 (рис. 2, А), а при потенциале раствора от —7 до —13 бар квантовый выход резко падает, в то время как квантовый выход выделения O_2 листьями сорта Макс-Бак (рис. 2, Б) уменьшается пропорционально увеличению осмотической силы раствора.

Здесь следует привести данные, полученные в работе [11], где были измерены квантовые выходы поглощения CO_2 листьями подсолнечника, имеющими различный водный потенциал и потенциал фотосинтеза ДХФИФ (2,4-дихлорфенолиндофенол) для хлоропластов, изолированных из тех же листьев. В обоих случаях квантовый выход падал более чем в три раза при изменении потенциала листа от —3 до —15 бар.

Как наши данные, так и данные, приведенные в работе Моханти и др. [11], не могут быть объяснены изменениями скорости дыхания или содержания хлорофилла. В таком случае надо полагать, что полученные данные как по измерению кинетики выделения O_2 , так и по исследованию световых кривых этого процесса указывают на то, что нарушения под влиянием водного дефицита возникают в фотохимической стадии фотосинтеза.

Литература

1. Vaadia Y., Rau Iy F. C. and Hagan R. M. 1961. Plant water deficits and physiological processes. *Ann. Rev. Plant Physiol.* 12: 265—29.
2. Shimsh I. D. 1963. Effect of soil moisture and phenylmercuric acetate upon stomatal aperture, transpiration, and photosynthesis. *Plant Physiol.* 38: 713—721.
3. Лебедев С. И., Соколов Н. Д., Киряниева О. Х. Изменение структуры и функции хлоропластов сельскохозяйственных растений при различных условиях произрастания. В сб.: „Хлороплазты и митохондрии“. Изд-во „Наука“, 1964—172, 1969.
4. Bourgue D. P. Correlation of physiological ultrastructural and macromolecular aspects of light induced chloroplast development. Ph. D. dissertation, Duke University, Durham, 1969.
5. Boyer J. S. and Potter J. R. Chloroplast response to low water potentials. I. Role of turgor. *Plant Physiol.*, 51, 989—992, 1973.
6. Гончарик М. Н., Урбанович Т. А. О влиянии Cl^- на фотофосфорилирование хлоропластов в условиях недостаточного водообеспечения растений. В сб.: „Физиолого-биохимические аспекты роста и развития растений“. „Наука и техника“, Минск, № 2, 27, 1975.
7. Nir I. and Poljakoff-Mayber A. Effect of water stress on the photochemical activity of chloroplast. *Nature*, 213, 418—419, 1967.
8. Алиева С. А., Таирбеков М. Г. Касаткина В. С., Тагеева С. В. Связь фотофосфорилирования с ультраструктурной организацией и механо-химическими свойствами хлоропластов. *ДАН СССР*, т. 197, № 5, 1189—1192, 1971.
9. Boyer J. S. and Bowen B. Z. Inhibition of oxygen evolution in chloroplasts isolated from leaves with low water potentials. *Plant Physiol.* 45, 612—615, 1970.
10. Fork D. C. and Hiyma T. The photochemical reactions of photosynthesis in an alga exposed to extreme conditions. *Carnegie Inst. Year Book*, 72, 384—388, 1973.
11. Mohandy P. and Boyer J. S. Chloroplast response to low leaf water potentials. IV. Quantum yield is reduced. *Plant Physiol.* 57, 704—709, 1976.
12. Гасанов Р. А., Литвин Ф. Ф. Применение оптической спектроскопии и полянографии для одновременного исследования спектров поглощения листьев растений и спектров действия фотосинтеза. Материалы I Закавказской конференции по физиологии растений. Изд. АН Азерб. ССР, Баку, £3—57.

АГУ им. С. М. Кирова

Поступило 8. VII 1977

СУ СТРЕССИ ШӘРЛӘТИНДӘ БҮГДА ЖАРЛАГЛАРЫНДА ОКСИКЕНИН АЖЫРЫЛМАСЫ КИНЕТИКАСЫ ВӘ ИШЫГ ЭРСИСИ

Магаләдә мұхтәлиф су гытылығы шәрләтилә бечәрілмеш икі сорт бүгда—Мисир „Гиза-155“ вә Мексика „Макс-бак“ жарлагларында оксикинн ажырлымасты кинетикасында вә ишыг эрсисинде яранан дәжишиклик тәддиге олумышрудур. Көстгрілешиди ки, бу шәрләтә чүчәртиләр ин оксикин ажыран аппаратында баш верон дәжишикликләр фотосинтезин фотокимәви мәріелеси илә эләгәләрдәр.

F. M. Salama

THE LIGHT CURVES AND KINETICS OF O_2 EVOLUTION FROM THE WHEAT LEAVES UNDER WATER DEFICIENCY

The changes of the light curves and kinetics of the O_2 evolution was studied on the wheat leaves of two varieties—Egypt „Giza-155“ and the Mexico „Max-back“, grown under different levels of the water deficiency. The forming damage in the O_2 evolving apparatus of the seedlings was showed to be related to the photochemical stage of photosynthesis.

УДК 616—073.75

КЛИНИЧЕСКАЯ
МЕДИЦИНА

Н. А. МУТАЛИБОВ

ЛЮМБАЛЬНАЯ АОРТОГРАФИЯ ЧЕРЕЗ МЕЖРЕБЕРНЫЕ
АРТЕРИИ

(Представлено академиком АН Азербайджанской ССР М. А. Топчубашевым)

На современном этапе развития сосудистой хирургии большую диагностическую ценность приобретают рентгеноконтрастные исследования аорты и ее магистральных ветвей.

Известно, что без данных аортографии невозможно производить восстановительные операции на аорте и ее магистральных ветвях. Аортография дает возможность установить характер патологических изменений в сосудах, их локализацию и выявить топографо-анатомическое состояние патологического очага с окружающими органами и тканями. Это облегчает планирование операции и определение наилучшего доступа к оперируемому органу, дает возможность проследить развитие окольного кровообращения после реконструктивных и пластических операций.

В настоящее время аортография производится по способу Сельдингера путем катетеризации магистральных сосудов конечностей. Этот метод получил широкое распространение в виде селективной вазографии висцеральных ветвей брюшной аорты. Однако при облитерирующих заболеваниях бедренной и подвздошной артерий метод Сельдингера имеет ограниченное применение. Иногда проведение катетера вообще невозможно из-за двусторонней обтурации бифуркации аорты. По этой причине многие клиницисты сдержанно относятся к аортографии по Сельдингеру и редко прибегают к этому методу исследования.

При облитерирующих заболеваниях брюшного отдела аорты признанным методом аортографии стала транслюмбальная аортография по способу Дос-Сантоса. Этот метод получил также широкое применение в урологии при диагностике опухоли почек.

При некоторых заболеваниях аорты, каковыми являются кальцинация и аневризма, имеются противопоказания к применению транслюмбальной аортографии, потому что в результате пункции происходит разрыв аорты и тяжелые забрюшинные кровотечения.

По данным J. Descoates, A. Sisleron, R. Poulat et Portillo (1960), основанным на изучении большого статистического материала, смертно-

сть после транслюмбальной аортографии колеблется от 0,3 до 1,3%, а осложнения — от 0,7 до 10,8%. Авторы на основании 556 транслюмбальных аортографий и литературных данных пришли к заключению, что в среднем на каждые 100 исследований приходится 1 смерть и 5 тяжелых осложнений. Abrams (1961) указывает, что смертность от транслюмбальной аортографии составляет 0,3%, а осложнения — 1%. M. C. Afu (1952) на 13207 транслюмбальных аортографий наблюдал 37 смертельных исходов и 135 тяжелых осложнений. Ю. С. Петросян с соавторами (1963) на 316 аортографий наблюдали 1% смертности и 1,3% осложнений.

Многочисленные осложнения в случаях применения способа Дос-Сантоса, описанные в литературе, например, повреждение позвоночника и спинного мозга, гемо-хилостакс, парааортальное и интрамуральное введение контрастного вещества, тромбоз и эмболия вследствие отрыва атеросклеротической бляшки, некроз кишечника, острые почечные недостаточность и др., в основном связаны с проколом аорты и ее главных ветвей (G. Progard, 1959; J. Descoates с соавторами, 1960; Н. А. Лопаткин, 1961; А. А. Гринберг и В. И. Прокубовский, 1964).

Из всего сказанного видно, что главным недостатком транслюмбальной аортографии по способу Дос-Сантоса является нарушение целости аорты и ее магистральных ветвей вследствие пункции их стенки.

Исходя из этого, мы занимались поиском нового и безопасного метода контрастирования брюшной аорты и ее магистральных ветвей. Нами на трупном материале был разработан новый способ люмбальной аортографии через межреберные артерии, который в дальнейшем был детально изучен в эксперименте на живых собаках.

Техника применения метода люмбальной аортографии через межреберные артерии заключается в следующем: под 0,5%-ным новокаиновым обезболиванием по нижнему краю X или XI ребра по лопаточной линии производится кожный разрез длиной в 3—4 см. После этого вскрываются волокна широкой мышцы спины и нижней задней зубчатой мышцы, тупо разъединяются волокна наружной межреберной мышцы. Под ними по нижнему краю ребра обнажается межреберная артерия, а рядом одноименная вена. Артерия между двумя лигатурами приподнимается в рану, лигатура, находящаяся на периферическом участке артерии, перевязывается. Кончиком тупоконечных ножниц вскрывается передняя стенка артерии, в нее против тока крови вводится канюль диаметром в 1,5 мм и фиксируется к стенке артерии лигатурой, находящейся на центральном участке сосуда. Через канюль при помощи 50-граммового шприца вначале вводится 20 мл 0,5%-ного раствора новокаина, после этого со скоростью в 2—3 сек. вводится 75%-ный уротраст в количестве 30 мл. Вслед за этим производится рентгенография брюшной полости. После рентгенографии канюль удаляется и артерия перевязывается. Кожная рана зашивается наглухо.



Рис. 1

Обнажение межреберной артерии следует производить ниже угла ребра, где она имеет больший диаметр и сзади покрыта задней межреберной и подреберной мышцей. При сбражении межреберной артерии до угла ребра возможна повреждение плевры, так как на данном участке артерия покрыта сзади только одной плеврой.

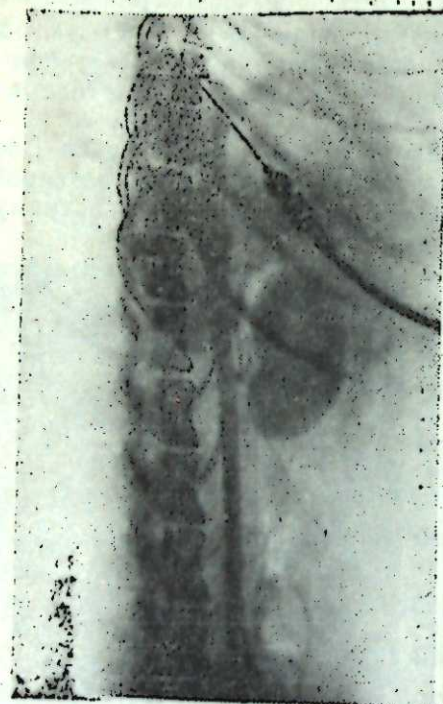


Рис. 2



Рис. 3

За лопаточной линией X—XI-межреберная артерия располагается в поясничной области. На этом участке она сзади покрыта внутренней межреберной и поперечной мышцей живота, а спереди—только одной широкой мышцей спины. Дальше этого участка X—XI-межреберная артерия спускается вниз и переходит в толщу брюшного пресса и анастомозируется ветвями нижней надчревной артерии. Обнажение, канюлирование или введение катетера в межреберную артерию на данном участке позволяет сохранить плевру.

Ниже приводятся несколько рентгенограмм поясничной аорты и ее ветвей, выявленных через межреберные артерии.

На рентгенограммах, произведенных в фасной проекции (рис. 1), обнаружена четкая тень поясничной аорты на всем ее протяжении, начиная выше уровня диафрагмы вплоть до сосудов таза, выявлена тень висцеральных ветвей аорты и тень сосудов почки.

На рентгенограмме, произведенной в боковой проекции (рис. 2), выявлена четкая тень поясничной аорты, тень почечных и подвздошных артерий.

На другой рентгенограмме, также произведенной в боковой проекции (рис. 3), обнаружена четкая тень поясничной аорты, тень чревной, брыжеечной и почечной артерий.

В заключение следует отметить, что способ поясничной аортографии через межреберные артерии дает возможность четко выявить контрастные тени поясничной аорты, ее магистральных и пристеночных ветвей, тени сосудов таза и почек.

Подобную рентгенологическую картину аорты и ее магистральных ветвей невозможно получить путем применения способа Дос-Сантоса.

Пункция аорты иглой длиной 16—17 см, диаметром 1 мм мешает введению в аорту с необходимой скоростью контрастного вещества. Болевая реакция, возникающая при этом, изменяет расположение кончика иглы в просвете аорты и нередко в результате этого происходит интрамуральное или ретроперитональное излияние контрастного вещества. По этой причине полученные рентгенограммы по способу Дос-Сантоса зачастую бывают неконтрастными.

Выводы

1. Обнажение и канюлирование межреберной артерии—легко выполняемая и безопасная манипуляция.
2. Способ поясничной аортографии через межреберные артерии дает возможность наглядно выявить контрастные тени поясничной аорты, ее магистральных и пристеночных ветвей, тени сосудов таза и почек.
3. При помощи разработанного нами способа удается производить люмбальную аортографию в 2 проекциях, что очень важно для установления протяженности и уровня облитерации аорты.

Литература

1. Лопаткин Н. А. Транслюмбальная аортография. М., 1961.
2. Петровский Б. В., Крылов В. С., Зарецкий В. В. и Бабкин И. Е. Вестник хирургии им. И. И. Грекова", 1962, № 10, стр. 3—10.
3. Петросян Ю. С., Аниакян П. П., Рушанов В. С. "Грудная хирургия", 1963, № 4, стр. 45—51.
4. Гриберг А. А. и Прокубовский В. И. "Вестник хирургии им. И. И. Грекова", 1964, № 4, стр. 130—131.
5. Аниакян П. П. Труды Ереванского мед. ин-та, вып. XIV. 1965, стр. 469—474.
6. Вишневский А. А., Краковский Н. И., Золотовский В. Я. Облитерирующие заболевания артерий конечностей. М., 1972, стр. 40—48.

НИИ клинической и экспериментальной медицины

Поступило 4. V 1977

Н. Э. Муталибов

ГАБЫРГАРАСЫ АРТЕРИЈАЛАР ВАСИТЭСИ ИЛЭ АПАРЫЛАН БЕЛ АОРТОГРАФИЯСЫ

Мүэллиф гарын аортасынын рентген шәклинин чекилмәснин јени үсулуни ишлејиб назырламышдыр. Бу үсүл илэ јерли көләшдиремән истифада едәрек күрөк хәтти узэр X—XI габыргарасы иницијәдә дәріде кичик биркәсик апарылыш. Белин кениси эзэлэ лифләри косилдикдән соңра габыргарасы артерија иккى ишк сапла жара үзәрни галдырылыш. Ишк сапларын арасында артеријаны он дивары косилир вә аортаја дөргү 1,5 см диаметри конюла јеридилер. Конюла ишк сапла дамара бағланылыш. Шприс васитесиэ конюлаја өввэл 20 ил 0,5%-ли новокайн мәһлүлү вүрүлүр. Бунун ардынча артерија сүр'етло 30 мл уратраст (рентген шүаларыны кечирмәэн маддә) јеридилер вә дәрінал гарын бошлуғунун рентген шәклин чөккүлөнүр.

Алылан рентгенограммада аортанын вә онун шахәләринин чох айдан шәкли корумпур.

N. A. Mutalibov

LUMBAV AORTOGRAPHY THROUGH INTERCOSTAL ARTERIES

The method of aortographic lumbalis was made out in experiments on corpse and in vital on dogs. It consists the following—under the 0,5% novocain anaesthesia at the low border of X and XI costae at linea scapularis the skin incision 3—4 cm long was made.

Then m. latissimus dorsi was dissected and m. Intercostalis blunt separated. On low border under art. Intercostalis was observed. The front wall of arteria by small blunt ended scissors was dissect. Cannula 1,5 mm in diameter was moved in the arteria against blood current was moved. Then with the 50 grams syringe 20 ml 0,5% novocaine solution and after it 30 ml 75% urotrast solution during 2—3 was injected. Then the roentgenography of the abdominal cavity was made. On the roentgenogram the clear shade of aorta lumbalis with the branchis was occurred.

УДК 93/99. 94

АЗӘРБАЙЧАН ТАРИХИ

Ш. Ф. ФӘРЗӘЛИЈЕВ

1585—1588-ЧИ ИЛЛӘР АЗӘРБАЙЧАН ТАРИХИНӘ АИД
БИР НАДИР ТҮРК ӘЛЈАЗМАСЫ ҺАГГЫНДА

(Азәрбајчан ССР ЕА академији д. д. Әлизадә төгдим етмишdir)

Азәрбајчанын орта әсрләр тарихинин өјрәнилмәсindә әрәб, фарс вә түрк дилләrinдә јазылыш илк мәнбәләrin мүстәсна әһәмијјәti вардыр. Әrәb вә фарс мәnбәlәrinин тәdгигата нисbәtәn кениш чәlb әdilmәsinә бахмајараг, түrк мүәlliflәrinin әsәrlәrinдәn Azәrbaj-чан тарихини өjрәnmәk бахымыndan az istifadә olummuşdur. Һalbu-ki, Muṣṭafa ḥәimә¹, Muṣṭafa ḥeffәndi², Өvlija Җәlәbi³, İbrahîm Rәhîmizâdә⁴ kimi tarihxilәrin әsәrlәri bir syra Jaxyn вә Orta Шәrg өlkәlәri, o ҹumlәdәn Azәrbaj-чан tарихини mүәjjәn dөvrләrinin әks etdirilmәsindә xüsusi әhәmiјјәtә malikdir. Adlarы әvvәl-чә ҹәkilәn mүәlliflәrin әsәrlәrinдәn az-chox istifadә olummasыna bахmaјaраг⁵, İbrahîm Rәhîmizâdәnin „Kәnçine-ji fәtھ-i Kәnçә“ ad-ly tарихi mәnбәjә Azәrbaj-чан tарихshunaслыgыna ilk dәfә olaraq chәlb әdiliр⁶.

İbrahîm Rәhîmizâdә bir mүddet sarađa чавуш вәzifәsindә ҹalышmyш⁷, sonradan Zagaфgaziјa өlkәlәri үzәrinә 1578-чи ilde bашлајan түrк һәrbи јurushundә iшtiarak etmiшdir.

Һәcми o гәdәr дә бөյük olmajan „Kәnçine-ji fәtھ-i Kәnçә“ әsәriндәki nadisәlәrin tәsviri 993 [1585]—997 [1588]-chi illәri әhätә eDIR. Mүәllif bu әsәrinin „risalә“ adlanдыrarag-кәstәriр ki, o, „bir risalә-ji bәdiүl-bәjan“ („bәdii үslublu risalә“) јazmysh вә onu sarađa tәgdim etmiшdir.⁸ Sarađa onun bu risalәsi bәjәniлиr вә mүәllifә osmanly sәrdarы mәrһum Muṣṭafa pашanыn Шәrg өlkәlәrinә (Azәrbaj-чан, Kүrçustan вә Ermәnistan) nәzәrdә tutulur—Sh. F.) јurushу заманы bаш vermiш ҹahады da gәlәmә almag вә onu „Zәfәrname-ji Sultân Muṣrad хan“ adlanдыrmag tapshyrlyr⁹. İbrahîm Rәhîmizâdә buна разы olur вә dejiр ki, әkәr әchәl aman verse, az bir vahxta bu һagda „bөjük bir daстan“ јazachagdyr¹⁰.

104 сәhiфәdәn ibarәt olan „Kәnçine-ji fәtھ-i Kәnçә“ 8 фәsil (bab) вә epilogdan (hatimә) ibarәtdir. Mүәllifini bu kitabda gәlәmә алдыgы nadisәlәr сырф Zagaфgaziјa өlkәlәri tарихини јuxaryda gejd etdiјimiz dөrd илини әks etdirәrәk, osmanlylar tәrәfinidәn bir choх шәhәr, gәsәbә вә kәndlәrin alynamasы, galalarыn tә'imir olunub, түrк garnizonlary үчүn istinadkaha chevirlmәsi, јerli әhaliinin talan eдilmәsi вә kүtlәvi surәtde гylыnicdan kechiриlmәsi nadisәlәrinin tәshkil eDIR. Mүәllifini гызылbaшlara гарши muнасибәti oлougcha nifratamizdir, lakin buна bахmaјaраг, bә'zәn o, aýry-aýry сәfәvi сәrkәrdәlәrinin ikidlijinin вә halgыn istiglaliјjät ufrunda mүbarizәsinи kәstәrmәjä bilmir. İbrahîm Rәhîmizâdә түrк ordusu tәrәfinidәn „gol kүчүn“ („zur-i basu“) alyanan gala вә bашга јerlәr “dәn” etrafly danışyр. O, Garagojulu, Afgojulu вә ilk

Cәfәvi һekmdarlarынын dөvlәt mәrkәzi олан Tәbris шәhәrinin „Azәrbaj-чан вilaјetiinin tәxت-i binәiziри“ adlanдыryr¹². Onun jaz-shewval (sентябр-октябр) aýnida јurushе bашlaјan osmanly goшуни ilә Tәbrisin mудafиәchilәri arasynda сәkkiz dәfә гызыn dejush bаш vermiш, lakin 7 dejush заманы шәhәr tәslim әdilmәniшdi. „Mejdän shaһuvary“ Osman pasha hәmin илиn зүлгәdә aýnini 6-da (ноябрь 1-dә) чәrшәnбә kүnү гәflәtәn wәfat etdiјi үчүn, иki il әvvәl Zagaфgaziјa өlkәlәrinә јurush әdәn Fәrhad pasha ikinci dәfә түrк goшуна sәrdar tә'jin әdilmәniшdir¹³.

O, гыш фәslinde Tәbrisе hүchum etmәji гәrarlaшdyрыш вә „xandaғы torpaғын diби dәriñlijindә олан“ Tәbris Jaxynlygыndakы Xәmә adly galanы muһasirә etmiшdi¹⁴. Mүәllif Xәmә galasыnyн әlә kechiриlmәsi zәrurәtinи билдиrәrәk јazyр: „Ekәr Azәrbaj-чан вilaјeti bir haсara bәiżәsә, Xәmә galasы onun gapysы saýla bilәr¹⁵. Bu nadisәlәrin tәsviri ilә әlagәdar olaraq mәnбәdә kәstәriр ki, fәtھ olunan јerlәrin „malы, әhli вә әjalы-әskәrin, dasы вә torpaғы исә padشاһын“ olusun, шұары ilә hүchum еdәn әskәrlәr, Xәmә galasыны daғыdyb, torpagla bir etdiләr¹⁶.

Kәstәrmәk lazymdyr ki, osmanlylar әlә kechiриdklәri hәr һan-sы bir galanы daғыdylysh вәziijәtde saхlamыр, tezliklә tә'mir eDIR вә oraјa choхlu silaһ вә әskәri гүvвә topplaјarag, galanы өзләrinin isteňkamyна cheviriриdilәr¹⁷. Xәmә galasы da mәrlubijjәtdeñ sonra „ani bir vahxta“ tә'mir olummuş вә onu muһafizәsindәn өtrү galada „bir emiriň bашчылығы ilә ikiд әskәrlәr“ saхlanмыshdy¹⁸. Mәnбәnin mә'lumatyna kәrә, osmanlylarыn 8-chi hүchumunda Tәbris әlә kechiриlmish, muһasirә vahxtы daғыdan mәhәllәlәr 3—4 kүnidә „min сәj“ вә chalышganlygla evlikdәn artыg isteňkam kimi tikiňlişdi¹⁹.

Mә'lum oldufu kimi, Azәrbaj-чанын chenub һissәsini әlә kechiřen osmanlylar зәbt etdiklәri јerlәrdә өz garnizonlaryны saхlaјarag, bir mүddet hүchumu daјandyrlyshdylar. Onlarыn iөvбәti јurushу daňa Azәrbaj-чанын гызыlbaшlaryn әlinde galan bашga јerlәrinә јох, Kүrçustan үzәrinә гәrara alynmyshdy. 995-chi илиn shә'ban aýnini 24-dә ҹumә aхшамы (1586-chi il, 2 avgust) Эrzrumdan chыхыb јurushе bашlaјan osmanly goшуни Kүrçustanın Эхәsgә (Aхalsixi), Tu-manes (Dmansi) вә Korи. galalarыn әlә kechiриdkdәn sonra Azәrbaj-чанын шimalyna hүchuma kechdiләr. Goшуни әvvәlчә Kәnçә vilaјetinе ѡollandy. Ramazanы 29-da (sентябрь 4-dә) onlar artыg Kүrtinә ѡollandy. Pамазаны 29-da (sентябрь 4-dә) onlar artыg Kәnçә galasыna daхil oldu²².

İbrahîm Rәhîmizâdә mә'lum әsәrinde Kәnçәnin tәsvirinе 2 сәhiфә Jep аýrymyshdyr. „Vilaјet-i Kәnçә bir mәnзil-i dilkәsh вә bir сәfabәхш“ dejәn mүәllif orany bol suju вә saf һavасы olduғunu kәstәrәrәk, o torpaғын bol mejvә bitirdijini, әrazisindәn 360 чаj (nәhр) aхdýgыны (jә'gin ki, mүәllif шәhәrdәki вә ѡol kәnarlarыndakы archlары da чаj adlanдыrmышdyr), oрада jaхshы ipék hasıl olunduғunu kәstәriр²³.

Osmanlylar tezliklә Kәnçәdә „nә mәlәjin kөzү kәrәn, nә dә фәlәjin гulaғы eшидәn“ bir гala тикмәjә bашlađyлar. Шәvvалын 15-dә (sентябрь 19-da) bашlađan bu iš 43 kүn давам etdi. Galada 43 әdәd гүллә gүrulmuş вә 7 dәmیر gapы gojulmuşdu. İbrahîm Rәhîmizâdә kәstәriр ki, Tрабzon bәjләrбәjisi Чәrkәs һejder pasha Kәnçә galasыna bәjләrбәj tә'jin eidlidi²⁴.

Kәstәrmәk lazymdyr ki, osmanly goшуни Kәnçә vilaјetinе hеч bir mание kәrmәdәn daхil olmuşdu. Kәnçә һakimi олан Mәhәmmәd хan Ziјadoғlu o заман шәhәrdә јох idi. Vilaјetin tutulmasы хәбә-

рини ешидән Мәһәммәд хан дәјүшчүләри илә кери гајыдыр. Онуң кәлишини ешидән османлылар зүлгә дәнин 8-дә (октабрын 11-дә) чүмә күнү²⁵ ханын гарышына юлланылар. Ибраһим Рәһимизадә јазырки, әввәлләр гызылбашлара хәҗанәт едib, османлы ордусуна пәнаң апарат Исмајыл хан бу дәфә онлара хәҗанәт едәрәк, Мәһәммәд ханын душәркәсинә кәлмиш вә ону османлы гошуунун кәлишиндән хәбәрдар етмишди. Дәјүшүн кедишиндә Мәһәммәд ханын дәстәси мәргуб едилди²⁶. Чох кечмәдән Бәрдә һакими Эли Султан да османлылара табе олду²⁷. Бу гәләбә мәнбәдә „фүтуhat-и әзим үл-бәрәкат“ („бәյүк мәнфәэтли гәләбә“) адландырылыр ки, бу һеч дә тәсадүфи дејилдир. Һәигигәтән дә, галиб кәлән османлы гошууну Ширван вә Гарабаг виляјетини „енинә вә узунуна талан етмиш“, бәйүк мәнфәэт көтүрмушдү²⁸.

Гејд етмәк лазымдыр ки, орта әср тарихчиләри һадисәләрә биртәрәфли јанашмыш, әсәрләrinи мәисуб олдуглары синфин, яхалгын мәнафеji бахымындан гәләмә алмышлар. „Кәнчине-ji фәтһ-и Кәнчә“ әсәриндә дә османлылар ифрат тә'рифләнмиш, онларын Загафазија үзәринә олан йүрүшүнүн гәсбкар мәзмуну пәрдәләнмиш, өз вәтәнләри угрунда фәдакарчысына вурушан халгын айры-айры нұмајәндәләринин мүгавимәти нағадан писләнмишdir. Ибраһим Рәһимизадә османлы султани III Мурады

Фате-и мүлк-и Кәнчә вә Гарабаг.
Дәм-и ә'даны етдиရән ирмағ...

вә с. кими ибарәли ифадәләрлә вәсф едәрәк²⁹, Сәфәви һекмдарыны „шәh-и күмраh“ („јолуны азан шаh“), османлылara гарши дәјүшэн халглары исә „мүлһидләr“ („аллаhсызлар“)³⁰, „пәлидләr“ (гәлбән чиркин әдамлар“³¹) адландырыр. Мүәллифин фикринчә, онларын Загафазија hүчумлары әдаләтли бир һәрәкәтdir. Лакин, бу феодал дәвр тарихчинин шәхси фикринин әлеjинә оларәг мә'lумдур ки, „феодалларын ишғалчы мүһарибәләри тарихи инкишафда мүртәче рол оynamышды³².

Бир-ики кәлмә дә бу әлјазманын ады нағында: Јухарыда гејд олундуғу кими, „Кәнчине-ji фәтһ-и Кәнчә“ адланан бу әсәрдә јалныз Кәнчәнин фәтһиндән јох, Загафазијанын бир чох шәhәр вә галаларыны алынмағындан, османлыларын харичи вә дахили сијасәтindәn бәhс олунур. Әсәrin јалныз б-чы бабынын Кәнчәjә aid олмасы вә мәнбәнин дә мәhз „Кәнчине-ji фәтһ-и Кәнчә“ адланмасы, Јәгин ки, Кәнчә йүрүшүнә мүәллиf тәрәfinдәn хүсуси диггәт вә әhәmijjәt верилмәсдиннән нәтижәсidiр.

Нәтижә е'тибарчлә демәк олар ки, Ибраһим Рәһимизадәnin „Кәнчине-ji фәтһ-и Кәнчә“ әсәri Загафазија өлкәләри тарихинин јухарыда көстәриләn кичик дөврүнү өjrәmәk бахымындан мараг кәсб едир.

1. Мустафа Эфәнди. Сәланикли тарихи, Истамбул, 1865.
2. Мустафа Нәима. Роузэт әл-һүсейн фи хуласәти әхбар ил-хафигин, I—VI чилд, Истамбул, 1867.
3. Өвлија Чәләби сәјаһәтнамәси, Истамбул, II чилд, 1896.
4. Ибраһим Рәһимизадә. Зәфәрнаме-ji Султан Мурад-и салес; Гөнчә-ji бағ-и Мурад; Кәнчине-ji фәтһ-и Кәнчә (әлјазмалар). Истамбул университетинни китабханасы, шифр № 2372.

5. А. И. Новичев. История Турции, т. I, 1963; А. С. Тверитинов. Аграрный строй Османской империи XV—XVII вв., 1963; М. Х. Гайдаров. Ремесленное производство в городах Азербайджана в XVII в. Баку, 1967; О. А. Эфендиев. Азербайджанское государство Сефевидов в XVI веке, Автореферат дисс. на соис. уч. степ. докт. ист. наук. Баку, 1968; А. А. Рахманов. Азербайджан в конце XVI—XVII вв. (1590—1700). Автореферат на соиск. уч. ст. докт. ист. наук, Баку, 1971.
6. Ибраһим Рәһимизадәnin әсәрләrinин микрофильмини бизим истифадәмизә вермеш Азәrb. CCP EA Тарих Институтунун баш елми ишчиси тарих слмләri намизәdi

7. Die Geschichtsschreiber der osmanen und ihre werke von Frans Babinger, Leipzig, 1927, сәh. 110, 117.
8. И. Рәһимизадә. Кәнчине-ji фәтһ-и Кәнчә, вәр. 103 б.
9. Јенә орада, вәр. 106 а.
10. Јенә орада. Гејд: И. Рәһимизадә, докурдан да, сонрадан белә бир китаб јазмыш вә ону „Зәфәрнаме-ji Султан Мурад-и салес“ (III Султан Мурадын зәфәр китабы) адландырымыйды.
11. Јенә орада, вәр. 110 б.
12. Јенә орада, вәр. 114 б.
13. Јенә орада, вәр. 115 а—115 б. Гејд: Тәбризи элә кечирмәк угрундакы 8 дәјүшүн икиси Осман пашаһын сәрдар олдугу вахтда баш вермишdir. Искәндәр бәj Мүншинин јаздыгына кәрә, о дәјүшләrin биринчисине горчибашы (хүсуси шаh аланын башчысы—Ш. Ф.) Гулу бәj, икничисина исә шаhзада һәмәз Мирза башчылыг етмиш, һәр ики дәјүшдә османлылар кери чәкилмәjә мәcbur олмушдулар (бах: Искәндәр бәj Түркман, Тарих-и аләм араj-и Аббаси, I чилд, Тегран, 1334, сәh. 311—312).
14. Кәнчине-ji фәтһ-и Кәнчә*, вәр. 116 б.
15. Јенә орада.
16. Јенә орада.
17. Тарих-и аләм араj-и Аббаси, сәh. 311. Гејд: Бу хүсүсәдә Искәндәр бәj Мүншидан бир мә'lumat верәrәk билдирир ки, Азәrbaijana hүчум едәn османлы (румийjә) гошууну „бир јандан дәјүшүр, башга јандан гала тикирдиләr“ (Тарих-и аләм араj-и Аббаси, сәh. 313).
18. Кәнчине-ji фәтһ-и Кәнчә*, вәр. 117 а.
19. Јенә орада.
20. Јенә орада, вәр. 117 б—130 а.
21. Јенә орада, вәр. 131 а—131 б.
22. Јенә орада, вәр. 132 б.
23. Јенә орада, вәр. 133 а.
24. Јенә орада, вәр. 134 б.
25. Јенә орада, вәр. 136 а.
26. Јенә орада, вәр. 137 б.
27. Јенә орада, вәр. 139 а.
28. Јенә орада, вәр. 137 б.
29. Јенә орада, вәр. 102 б.
30. Јенә орада, вәр. 111 а—131 б.
31. Јенә орада, вәр. 116 б.
32. Советская историческая энциклопедия, т. 3, 1963, сәh. 630.

Жаһын вә Орта Шәрк
Халылары Институту

Алынышдыр 18. II 1977

Ш. Ф. Фарзалиев

ОБ ОДНОЙ РЕДКОЙ ТУРЕЦКОЙ РУКОПИСИ ПО ИСТОРИИ АЗЕРБАЙДЖАНА 1585—1588 гг.

Как известно, подавляющее большинство нарративных источников по истории средневекового Азербайджана написано на арабском и персидском языках. Наряду с ними большой интерес представляют турецкие (османские) исторические хроники, которые для изучения истории Азербайджана привлекались слабо. Многие из них вообще не изучались в азербайджанской историографии.

Данные Ибраһима Рагимизаде в его труде „Гянджике-йи фатх-и Гяндже“ („Сокровищница Гянджинской победы“) подробно отражают политическое положение Азербайджана в период турецко-иранских войн 1585—1588 гг., когда Азербайджан являлся центром этих событий.

Название труда „Гянджике-йи фатх-и Гяндже“ является результатом того, что автор здесь основное внимание уделил событиям, происшедшем в Азербайджане, особенно захвату османами Гянджинской области.

Sh. F. Farzaliyev

ON ONE RARE TURKISH MANUSCRIPT RELATING TO AZERBAIJANIAN HISTORY: 1585—1588

As is generally known, an overwhelming majority of the narrative sources concerning the history of Medieval Azerbaijan is written in Arabic and Persian. Side by side with this Turkish (Osman) historical chronicles involved poorly for the study of Azerbaijani history are of great interest. Many of them were not studied at all in Azerbaijani historiography.

The data cited by Ibrahim Rahimizade in his „Gyandgine-yi fath-y Gyandja“ reflect in detail the political situation in Azerbaijan during the Turkish-Iran wars 1585—1588 when Azerbaijan was the center of these events.

„Gyandgine-yi fath-y Gyandja“ is called so because the author gave here a particular consideration to the events which took place in Azerbaijan, especially the occupation of Gyandja region by Osmans.

МƏТНШУНАСЛЫГ

ТƏJJAR ƏKBƏROV

ХƏTAİ TƏBRİZİNİN „JUSİF VƏ ZÜLEJXÄ“ ƏSƏRİNİN
TEKSTOLÖJİ TƏDĞİGINƏ DAİR

(Azərbaycan SSR EA akademiki M. Ç. Əkbərov təqdim etmişdir)

Хətaï¹ Təbrizi Azərbaycan ədəbiyyatı tarixinə ńəsənoğlu, Gəzi Bürhanəddin, Nəsimi ən'ənələrinin davamçısı kimi dahil olmuşdur. Elm aləminə ńələlik onun „Jusif və Zülejxa“ əsəri mə'lumdur. „Jusif və Zülejxa“ Azərbaycan dilində jazylym, XV əsrən bizə jadikar galmyş ilk epiq əsərlərdən biridir. H. Araslyny² verdiyi galyar galmyş ilək epiq əsərlərdən biridir. Həmin əsər mə'lummat nəzərə alınımazsa, „Jusif və Zülejxa“ poeması hagtynda kəniş elmı cəhət açylmamış, onun tədğigi və nəşri sahəsində inidiyə gədər əsaslı bir iş kərəlməmişdir. Cəbəbi əsərin ələjazmalarynyň uzun mündət üzə chyxمامасы ilə baflıdyr.

İnzirdə „Jusif və Zülejxa“ əsərinin altı ələjazma nüsxəsi³ mə'lumdur. Ələjazmalaryn mətninin mügañisə edərkən kərərük ki, əsrlər dən bəri məxtəlif katiblər tərəfinidən üzü kəçürülən „Jusif və Zülejxa“ əsəri zəmanəmizə chatana gədər bəjük deñiñiklijə ugramyşdır. Əsərin ələjazma nüsxələrinin hər birində bejt, misra, səz təhriflərinə, vəzni, gafiyə ajrylygına, təkrarlara, XV əsrin poetik və dill xüsusiyyətinə uymajan үnsürlərə və c. təsadüf eidiyrik. Mə'lumdur ki, bu nüsxələri ajrylygda tədğigat obyekti kimi kətүrədükde düzgün elmi nəticə əldə etmək olmaz. Müəjjən ələjazmada bə'zən bir sevzün düzküni oxunmaması jañız ńəmin əsər və onun müəllifi barəsində jox, hətta ədəbiyyat və dill tarixi hagtynda gejri-real nəticələrə kətiyrib chyxara bilər. Dikər tərəfdən XIV və XVI əsrlərə⁴ aid jañızlı abidələrin təngidi mətni həzırlandırmışsa, hələ lazımyıncha əjərənilməjən XV əsr ədəbi abidələri üzərinə həc bir tekstologji iş aparylmamışdır. Bu cəhətdən Xətaï Təbrizinin „Jusif və Zülejxa“ əsərinin təngidi mətninin həzırlandırmaması müñüm elmi əhəmiyyət kəsb eidi. Buna kərə də birinchi nəvbədə „Jusif və Zülejxa“ əsərinin ələjazmalarynyň dillətələ əjrənməji və təngidi mətnini həzırlamagę garşymyzə məgsəd gojduq.

Xətaï Təbrizinin „Jusif və Zülejxa“ əsərinin tekstologji tədğigini bəşləməzdan əvvəl ələjazma nüsxələri gruplaşdırılmış,

1 Bu şair Şah İsmayıllı deñil. Bax: M. Ə. Tərbəliyət. Daneshməndan Azərbaycan, Təhran, 1314, səh. 137.

2 H. Arasly. Orta əsrlər ədəbiyyatı tarixi, Bakı, 1943, səh. 112.

3 Ələjazmalar Azərb. SSR EA Respublikası Ələjazmalary fondunda müñafizə ediliir.

4 Ç. V. Gəhrəmanov. Nəsimi, Əsərləri, III çilddə, Bakı, 1973; Ə. Məmmədov. Xətaï, Əsərləri, I-II çilddə, Bakı, 1966—1973.

onlaryň garşylıgly əlagəsi müəjjənləşdirilmişdir. Tədğigat zamanı əsərin jaråndığı dəvr, ələjazmanın kəçürülmə tarixi, onuň məzusu və jańr xüsusiyyəti, tarixi orfografiya, əsərin içtimai-sijsasi və estetik kərüşü, sənfi məvqeji və c. məsələlər nəzərə alınımışdır. A nüsxəsi əsas məti kimi gəbul edilmişdir. Bu nüsxənin əsas kətürləməsinə aşaýdaqlar cəbəb olmuşdur:

1) A nüsxəsi dikər ələjazmalara nisbətən həcmli olub 1040 bejt-dən ibarətdir.

2) O dikər nüsxələrə nisbətən oxunaqlıdı.

3) Fonetik, leksik və grammatic үnsürləri dikər ələjazmalara nisbətən jańr sahlamışdır.

Nüsxədə kərdiyimuz məsbat çəhətlərin müñafizə edilməsinə cəbəb katibin əsəri ədəbi irsi sahlamag xatirinə kəçürməsidir. ńəmin ələjazmanı kəçürən katib mətnə sadig galmafa çəhd etmiş, oxuya bilmədiyi hərf və cəzələrin hətta şəklini çəkməjə chalıshımyıldır. Buna kərə də ələjazma gədim arxaik үnsürləri müñafizə edə bilmişdir. Əsas kətürləmə A nüsxəsi B (XIX əsr), B (XIX əsr), G (XIX əsr), D (XIX əsr), Ş (XIX əsr), M (XVIII əsr) ələjazmalary ilə mügañisə edilmişdir. Katib xətalalar aşaýdaqları kimi gruppashdyrylmışdır: birinchi grup məgsədli xətalardır, ikinci grup məgsədsiz xətalardır.

Biz daňa çox məgsədli xətalardır үzərinə dajanacaqı.

Xətaïnin „Jusif və Zülejxa“ əsərini kəçürən katiblər aşaýdaqları məgsədli xətalara jol vermişlər.

1) Əsər rədaktə edilmişdir.

„Jusif və Zülejxa“ əsərinin A, B, V, G, D, Ş ələjazmalarynyň ńamysı üçün ejni olan umumi xəta vardır. Bu nüsxələrdə 90-dan çox bejt bir anda əsərdən chyxarılmışdır. Bunu səbəbi ələjazmalaryn mənşələri ilə bağlıdır. „Jusif və Zülejxa“ əsərinin ələjazmalary formal çəhətdən mügañisə edərkən kərərük ki, A, B, V, G, D, Ş ələjazmalary rədaktə olunub, mənşə e'tibar ilə ejnidir. M ələjazması isə „Jusif və Zülejxa“ əsərinin XVIII əsrə үzü kətürləmə variantıdır.

Bildiymiz kimi, orta əsrlərdə ələjazmalary kəçürən katiblərin ńamysı müəjjən kalligrafiya məktəbinin davamçılıkla olmayıb, „ez dəvrərinə kərə tənəyimish şair və alim olmuşlar“⁵. Belə „xəttatlar klassik şairlərin əsərlərinin mehaniği kəçürməklə kifajətlənmir, çox zaman ńəmin şə'rəri əz zəvglərinə münasib ńala salıyr“⁶, bir nəv əsər үzərinə sərbəst rədaktorluk eidi. Xətaïnin „Jusif və Zülejxa“ əsərinin ələjazmalarynda da bu ńadisənin şahiidi olurug. A, B, V, D, G, Ş nüsxələrinde 90-dan çox bejtin əsərdən chyxarılmışları buňu təsdiq eidi.

M ələjazmasında (bu nüsxə orijinala daňa jańyndır) Xətaï Misir յuxu kərməsi ńadisəsinin təsvir eidi⁷. Misir Əzizi յuxusunda Əzizinin Nil چaýından jeddi okuzun chyxarag dikər jeddi okuzu jədiyini və jeddi guryu bugda sunbulunun dikər jeddi jaş sunbulu turutdufunu kərər. Xətaï əsərin bu jəriyində súket xəttini gýryr, çox jatmağı pislisiyindən, akiyət duijasında əbədi յuxudan, bu dünjanın vəfasızlıqyndan uzun-uzadı cəhət açır və əsərdəki ńadisəlləri inkişaf etdirməji bir ńana buraxaraq oxuchusunu nikaran etməjə chalıshımyıldır.

5 Ç. V. Gəhrəmanov. İmadəddin Nəsimi, Əsərləri, Elm-təngidi məti, I çilddə, Bakı, 1973, səh. 6.

6 Ç. V. Gəhrəmanov. Kəstəriilən əsəri, səh. 66.

Дөврүн әдәби жаңы хүсусијәти илә бағлы олан мұэллифләrin хүсуси үслубларындан дөған вә Хәтанин „Jusif vә Zulejha“ әсәриндә дә өзүңү көстәрән бу „узунчулуга“, рич’этә орта әср жазылы абидәләриндә тез-тез тәсадүф олуңур. Чүнки бә’зи орта әср мұэллифләри „охучу“ сүну никаран етмәк, оны тәәҷҷубләндирмәк вә һәјәчанландырмағы өзләри үчүн һүнәр сајмышлар⁸. Э. Чаминин әсәрләrinдә дә өзүңү көстәрән белә вәзијәт һаггында А. Гулијев жазыр: „Белә һаллар чох заман шаири мүәлжән һадисе вә мәсәлә илә әлагәдар олан фикирләrinин гүввәтләнмәсина нәники о гәдәр дә көмәк етмири, ejni заманда әсәрин сүжет ҳәттинә ҳәләл кәтирирди⁹. Әлбәттә, бу һал Хәтанин вә дикәр мұасирләrinин өзүңемәхсүс вә дөврү үчүн мұсбәт әдәби үсүл олса да, „редактор“ көзүjlә бахыланда һәмин вәзијәт әсәрин композицијасына ҳәләл кәтиришишdir. Она көрә дә А, Б, В, Г, Д, Ш әлжазмаларында бу вәзијәт арадан галдырылышдыр. Редакторлуг иши нұсхәләrin айрыча кетүрүлмүш бир нұсхәси үзәринде дејил, онларын мәншәc бағлы олдуғу үмуми архетипдә апарылышдыр. Һәмин архетип көчүрән катиб әсәрдәki бә’зи артыг көрүнән һиссәләри чыхармыш, бунуңла да орижинала јабанчы бир нұсхә мејдана чыхмышдыр. А, Б, В, Г, Д, Ш әлжазмаларынын мәншәjи үмуми архетип илә әлагәдар олzugу үчүн һәмин хәта онларда еңилә тәkrar едилшишdir.

Чох етимал ки, бизә чатмајан һәмин үмуми архетипи көчүрән катиб XVII әсрдә јашамыш вә шаирлик исте’ дадына малик олмушшудur. Чүнки „XVII әсрдә јашамыш шаирләr“ үзүнчулуга ѡол вермәмиш һәмишә фикрин әсас мәғзини сөјләmәjе чалышылар¹⁰.

2) Әсәрдә түрк мәншәли сөзләr әрәб вә фарс сөзләri илә әвәz едилшишdir.

Бу хәталарын сәбәби катибин естетик зөвгү илә бағлы олмушшудur. Чүnки бә’зи орта әср катибләri ибарәli, чәtin анлашылан сөзләr вә тәркибләr ишләтмәji хошламышлар. Мәс: Хәтai јухусунда Jusifi көрән Zulejhanын тәмтәрәгла Misrә ѡола салындығыны тәсвири:

بِرْ نَجَّه قَاطِر فَوْلَ آغْ مَالْ قَمَاشْ هُمْ هَزَارَانْ آتْ قَوْلْ قَرَابَشْ
Бу бејтдәki белә нәтичә чыхыр ки, куја Jusifә јетмиш әдәdон кејдирилиб. Бу фикir һеч чүр ағлабатан дејил вә катибин ујдурмасыдыр.

Ким یتويدور آدم اوغلو
كيم یتويدور آدم اوغلو

— ىشى تەشى مисрасындакы اۋەن سөзү A нұсхәsinde әрәбчә олан سەن سۆزү илә әвәz едилшишdir.

Әлбәттә, бу тип хәталар әсәrin композиција вә сүжетинә ҳәләл кәтиrmасә дә орижинала јабанчыдыр.

3) Гәдим лексик үнсүрләr мұасирләшdirilmiшdir.

Белә хәталара классик мәтиләrdә олдуғу кими, Хәтанин „Jusif vә Zulejha“ әсәrinин әлжазмаларында да раст кәлирик. Мә’лүм олдуғу кими, катибләr көчүрдүккләri әсәrlәrdә анлашылан сөзләri өз дөврү үчүн анлашыглы jени сөзләrlә әвәz еdir вә буны бејүк һүнәр сајмышлар. „Jusif vә Zulejha“ әсәrinин әлжазмаларыны көчүрән хәттатлар, һәмчинин бу кими шүүрлү хәталара ѡол вермишләr. Бу тип хәталар хүсусилене B, D нұсхәleri үчүн даха характеристикdir. Мәs: ايدىلر بىر دوش گوردوڭ بىر بودو
— ىشى تەشى مисрасындакы اۋەن سۆزү B, D нұсхәleri үчүн даха характеристикdir. Мәs: ايدىلر بىر دوش گوردوڭ بىر بودو
— ىشى تەشى مисрасындакы اۋەن سۆزү A нұсхәsinde әрәbchә олан سەن سۆزү илә әвәz еdilmiшdir. Әлбәtтә, бу тип хәtalar әsәrin композицијa вә sүjетinә ҳәlәl kәtiрmasә dә orijinala јabanchydyr.

7 Азәрб. ССР ЕА Республика Әлжазмадары Фонду ۋە حاڻو و شف و را ىنۋېتار № M—185 (2438).

8 A. S. Zevent. Dıvan Edebiyatında Hikaye. Türk dili orastırımları .yıllig 1967, sayı: 2:6, s. 98.

9 A. Гулиев (Саровлу). Эбдурраиман Чаминин „Jusif vә Zulejha“ поэмасы, Бакы, 1969, сәh. 101.

10 Haluk J pekten, Naili Kadim. Hayati ve Edebi kisiliği, Ankara, 1973, s. 13.

Мүтәхәссисләrin фикринә көгә, архаизмләrin jени сөзләrlә әвәz еdilmişsi XIX әср наширләri учүн даха характеристикdir¹¹. Анчаг һәmin һала XV—XVI әср әлжазмаларында да раст кәlmәk мүмкүндүр. „Jusif vә Zulejha“ әсәrinин әлжазмаларында мәгсәdsiz хәталара да тәсадүf еdiрик. Белә хәталар әsасәn катибин диггәtsizliji вә сәhlәnkärligى учундан յаранышдыr. Нөвләri вә типләri чох олан һәmin хәталар тәngidi мәtihde чидди сәjle aрадан галдырылышдыr. Анчаг мүһүм олан ашағыдақы мәgсәdsiz хәталардан бәhс етмәjи ла-зыm biliрик.

5) Фонетик охшарлыг катиби сәhв көчүрмәjә vadар etmiшdir.

Бу кими хәталар бизчә катибин савадсызлығы вә мәtih дүзкүн охуя билмәmәsi илә бағlydyr. О, сөзу охуя билмәmiш, өзүндәn yjdurmushdur. Mәs:

يخشى دوناراكتى كىدردىلار خلعت ايدوب هم آتا مندردىلار
— ىشى دۇناراكتى كىدردىلار خلعت ايدوب هم آتا مندردىلار
— ىشى دوناراكتى كىدردىلار خلعت ايدوب هم آتا مندردىلار
— ىشى دوناراكتى كىدردىلار خلعت ايدوب هم آتا مندردىلار

Бурадакы бејtдәn белә нәтичә чыхыр ки, куја Jusifә јетмиш әdәdон кејdiрилиб. Бу фикir һеч чүр ағлабатан дејил вә катибин ујdурмасыдыr.

Хәтанин „Jusif vә Zulejha“ әsәrinin текстологи тәdгиги заманы әлжазмалары арасында M~b, i~u, x~k, o~a, i~sh, d~t, ch~sh, кими фонетик dәjishmәlәri көрүрүк. Mәs.: نـ

و بنـ طاشـ و شمـدـيـ / ايـمـدـيـ و گـلـوبـ / گـلـىـيـ
Биз мәtih тәrtib еdәrkәn м, у, a, k, i, d сәslәrinә үstүnlük verdiк. Kөrүndүjү кими, „Jusif vә Zulejha“ әsәri бу күnә чатана гәdәr хеjli dәjishkiliye ugryamышдыr. Son сөz olaraq gejd etmәk istәjiriк ки, jañnyz Хәтанин дејил, umumiijetlә, орta әsrlәrdәn зәmanәmizә гәdәr kәlib чатыш вә үzәrinde tәdгигat аparmaғa lajig јазылы abidәlәrimizin tәngidi mәtihini tәrtibi mүһүm мәsәlәdir. Akademik J. E. Berotelisini diili ilә desek „tәngidi mәtih olmadan һеч birish mүvәffәgiijetlә kөrүlә bilmәz“¹²

Азәрбајҹан ССР ЕА Республика
Әлжазмалары Фонду

Алымышдыr 12. V 1977

T. B. Akperov

О ТЕКСТОЛОГИЧЕСКОМ ИССЛЕДОВАНИИ ПРОИЗВЕДЕНИЯ ХАТАИ ТЕБРИЗИ „ЮСИФ И ЗУЛЕЙКА“

Критический текст составлен на основе семи рукописей. В рукописях произведения „Юсиф и Зулейка“ изменена идеальная направленность, архаизмы заменены более современными, древнетюркские слова выражены арабскими и персидскими. В критическом тексте эти погрешности с большим старанием были исправлены.

T. V. Akbarov

ON THE TEXTOLOGIC RESEARCH OF MANUSCRIPT OF THE WORK OF „YUSIF AND ZULEIKHA“ WRITTEN BY KHATAI TABRIZI

In preparation of the critic text seven manuscripts have been used. The work of „Yusif and Zuleikha“ was edited, archaisms were substituted by new words, ideological trend of the work was partially changed, ancient turkish words were substituted by arabic and persian words. These mistakes have been corrected.

¹¹ Е. Э. Бертельс. К вопросам о филологической основе изучения восточных памятников. Советское Востоковедение, № 3, 1955, с. 15.

¹² J. E. Berotel. Nizami Kənçəvi. Şərafənəmə, Bakı, 1947, с. 13.

УДК—91.(014)

Г. А. ГЕЙБУЛЛАЕВ

ТОПОНИМИКА

**О ПРОИСХОЖДЕНИИ НЕКОТОРЫХ ЭТНОТОПОНИМОВ
АЗЕРБАЙДЖАНА (ДЕЛЛЕР, ТУЛУ, ТИРКЕШ, ШАДЫЛИ,
ТУБАКЕНТ, ТУЛУС, ЧАЛГАН, КУЗАНЛИ)**

(Представлено академиком АН Азербайджанской ССР З. М. Бунятовым)

Известно, что древнетюркские племена Алтая вместе с именным образованием теле¹, разгромив жужанов², в 552 г. создали Тюркский каганат, охвативший огромную территорию от Китая на Востоке до границ Ирана и Византии на юго-западе [19; стр. 82; 6, стр. 380]. К 70-годам VI века каганат расширил свои границы на запад до Северного Кавказа [6, стр. 380]. В 584 г. это государство распалось на западный и восточный каганаты [6, стр. 383].

В Западно-Тюркском каганате, центром которого было Семиречье, во время правления кагана Шаболо Хилиши (634—638) племена делились на десять частей, называемых стрелами. «Десятистрельный народ» имел пять стрел к западу и пять к востоку от реки Чу. Первые назывались нушиби, вторые—дулу [4, т. II, ч. I, стр. 33]. В состав племенного объединения дулу входили карлуки³ (между Иртышом и Алтаем), тюргеши (между р. Или и Иртыш), шато (в Джунгарии), чубан и другие [6, стр. 266]. В 704 году восставшие тюргеши положили конец Западно-Тюркскому каганату.

Некоторые азербайджанские топонимы по происхождению могут быть связаны с вышеупомянутыми этонимами Алтая.

Так, древний этоним теле, по нашему мнению, мог отразиться на четырех топонимах Деллер (Ахсунинский, Саатлинский, Шамхор-

¹ По мнению исследователей, существовавшая в IV—V веках в Джунгарии и бассейне Бахаша племенная общность теле ранее входила в состав гуннов. В V веке теле из многих десятков тысяч кибиток, перейдя Иртыш, создали свое государство, которому в 494—496 гг. положили конец эфталиты. В 546 г. оно было подчинено алтайским племенам (см. подробно [4, стр. 15, 20]).

² Побежденные жужаны проникли на Северный Кавказ, где были известны под названием авар. (См. подробно об аварах: Н. Н. Noworth. The Avaras. Journal of the Royal Asiatic Society, новая серия, 1889, XXI, стр. 721—810). Позже, в 70-х годах VI века с разрешения грузинского царя Гурджа (570—600) часть аваров переселилась в Закавказье. (См.: Картлис Цховреба. СМОМПК, вып. XXII, Тифлис, 1897). Возможно, с этим и связан топоним Джужанлы в Азербайджане (Кедабекский район).

³ Этоним „карлук“, вероятно, звучит в азербайджанском орониме Гарлыг (Шемахинский район), а название карлукского гора чигил сохраняется в гидрониме Чигилчай (Кубинский район). (О племени чигил см.: O. Pritsak. Die karachaniden. Der Islam, Bd. 31, № 1, 1954, стр. 21—22).

ский районы)⁴. Правильной формой этого топонима является Делиляр⁵, состоящая из этонима теле (с незначительным фонетическим изменением) и окончания множественности—“лэр“. Этоним в форме тели отмечен у каракалпаков [5, стр. 228], тели—среди ногайцев [21]. В современных названиях алтайцев (этнографических групп)—телеутов, теленгутов и телес—основой также является этоним теле [20, стр. 147]. Этот этоним, по Л. И. Потапову, оставил след в гидрониме Тели в Монголии, гидрониме Деле—в Алатау, Теле-кол—в Казахстане [20, стр. 157].

Этоним дулу мог отразиться с некоторыми фонетическими изменениями в азербайджанских топонимах Тулу (Белоканский район), Туллар с выпадением второго „у“ (Ханларский район), Тулар (Кубинский район), Тюли (Лерикский район). По Ч. Ч. Валиханову, древнетюркское племя дулу во II веке кочевало вместе с гуннами между Тянь-Шанем и Алтаем. В IV веке они входили в состав Западно-Тюркского каганата и жили на правом берегу р. Или [9, т. I, стр. 676]. Этоним дулу до настоящего времени сохраняется среди киргизов в форме тобё [3, стр. 54], близкой к азербайджанскому этониму тулу, тули.

До сих пор не выяснено происхождение топонимов Тиркеш (Шахбузский район), Тиркешевенд (Кельбаджарский район), Теркеш (Варташенский район) в Азербайджане. Не исключено, что эти топонимы связаны с древними тюргешами, входившими в VII—VIII веках в состав племенного объединения дулу (см. выше). Тюргеши кочевали на территории Семиречья и Джунгарии [20, стр. 186]. В конце VII века в Западном каганате они усилились [6, стр. 385; 13, стр. 139; 19, стр. 186] и положили конец каганату, создав свое государство. В VIII веке тюргеши были покорены уйгурами и карлуками.

Этоним тюргеш (или тургеш) отмечен среди современных башкир и татар [24]. В горном Алтае одна из трех этнографических групп (теле, тулус, тиркеш) называется тиркеш (или тиргеш), который сопоставляют с древним этонимом тюргеш [20, стр. 186].

По мнению исследователей, в V веке одна из этнических общин, находившихся в составе племенного объединения, теле, называлась тубо [19, 20]. В VIII веке племя тубо было одним из 15 колен среди теле [11, стр. 143]. В китайских источниках VI—VII вв. отмечается, что в племенное объединение теле входили племена тубо [14, стр. 292] и гулиган [15, стр. 58]⁶. Этоним туба с фонетическим изменением (переходом о→а) отражен в азербайджанском топониме Тубакенд (Исмаиллинский район). Маленькая речка, протекавшая через территорию этого района, также называется Туба, на берегу ее расположено село Тубакент. Вероятно, речка получила свое название от жившего там в древности племени туба, а потом в связи с обра-

⁴ Рукав р. Туг (Дивичинский район) также называется Деллерчай.

⁵ Так отмечено в литературе XIX века (См., например, у Н. А. Абелова: Далилар, Тарс-Далилар) [2, стр. 62]. В прошлом в Азербайджане было известно 9 топонимов Делилер [18]. Вероятно, этоним теле участвовал и в образовании топонимов Дилин-Мускени, Дели-Кушчу, Дели-Мамеди, Дели-Чобан. На Кавказе в XIX веке было отмечено 10 оронимов Делидаг [18, стр. 74]. В Азербайджане имеется много микротопонимов с компонентом „дели“. Некоторые из этих топонимов и микротопонимов, по-видимому, восходят к этониму теле (дели). Ибо трудно поверить, что все они образовались от азербайджанского слова дели—„удалый“ или „дэли“—сумасшедший.

⁶ В XIX веке в Азербайджане отмечен ороним Гулиган, который в настоящее время имеет форму Галаган (Хачмасский район). К этому этониму восходят топонимы Большой Калаган, Малый Калаган в Дагестанской АССР [12, стр. 51]. Как отмечает П. Г. Бутков, та часть Кубинского уезда, которая тянется вверх по Самуру, в горах называется Хулиган [7, стр. 1, 97].

Гулиган—название северного племени теле, обитавшего севернее Байкала.

зованием населенного пункта гидроним превратился в ойконим. Этот этоним до сих пор сохраняется в названии одного из племени Северного Алтая—Тубалар [20, стр. 21]. Кроме того, Туба является самоназванием тувинских групп Алтая [20, стр. 181]. Этноним туба отмечен также среди татар Поволжья [24] и киргизов [3, стр. 62].

С древнетюркским племенем толос, которое жило на западе от Ордоса еще в III веке до н. э. [11, стр. 27] связан азербайджанский топоним Тулус (Джебраильский район). В горном Алтае, часть племени теленгитов называется в настоящее время толос [5, стр. 298]. Этот же этоним в форме толос известен среди каракалпаков [5], в форме тоболос—среди татар [24], в форме телес—среди киргизов [3, стр. 27, 31]. Считается, что это племя входило в состав Западно-Тюркского Каганата [8] и в тюркских памятниках зафиксирован в форме телес [16, стр. 18–22].

В Азербайджане известны топонимы Шада (Шахбузский район), Шадылы (Касум-Исмаиловский район), Шотавар (Кахский район). В XIX веке в Азербайджане существовала племенная общность Шадылы [2, стр. 11]. Можно предположить, что эти топонимы восходят к древнему этониму шато⁷. Племя это входило в состав „Десятистрельного народа“ (см. выше) и жило на реке Чу [4, т. III, стр. 557]. По мнению Л. Н. Гумилева, в VII веке в восточной части Джунгарии жило племя шато, осколок среднеазиатских гуннов [11, стр. 266]. В VIII веке шато отмечены среди уйгуров [22, стр. 298].

Наконец, по нашему мнению, с древнетюркскими племенами Алтая могли быть связаны азербайджанские топонимы Кузанлы (Агдамский район)⁸ и Чалган (Дивичинский район), Чалхангала (в Нахичевани)⁹. Одна из северных групп алтайцев в настоящее время называется челкан [5, стр. 21]. В XIX веке в племени тубалар горного Алтая было отмечено поколение кузен [11, стр. 12]. Вероятно, эти племена в древности также входили в круг племен Западно-Тюркского каганата и часть их в связи с историческими событиями проникла в Азербайджан.

Таким образом, топонимические параллели не оставляют сомнений в исторической связи древнетюркских племен Алтая с раннесредневековой Албанией. Однако трудно определить время появления указанных племен на этой территории. Можно предположить, что часть их проникла сюда еще во времена каганата через Северный Кавказ. Известно, например, что часть племен теле еще в V веке, покинув Центральную Азию, обосновалась в степях у Аральского моря и на Северном Кавказе [18, стр. 200]. В 567–571 годах тюрки овладели всем Северным Кавказом [11, стр. 47: 20, стр. 82]. Видимо, с Северного Кавказа они начали беспокоить Сасанидов, и именно поэтому была построена Дербендская стена. Известно, что на месте Западно-Тюркского каганата в VII веке возникло Хазарское государство [24, стр. 12]. Поэтому можно допустить, что часть этих племен проникла сюда в составе хазаров и кыпчаков. По мнению исследователей, племя

⁷ Шато как древнетюркский этоним, по мнению исследователей, утрачен с IX века и в дальнейшем сохранился только как название подразделения среди разных народов. Например, племя шады в XIX веке отмечено среди киргизов. См.: С. М. Абрамзон. Этнический состав киргизского населения северной Киргизии. Труды Киргизской археолого-этнографической экспедиции.—IV. М., 1960. стр. 135.

⁸ В XIX веке в Азербайджане существовало три топонима Кузанлы. В дастанах „Китаби Деде Коркуд“ есть антропоним Кузан (см.: „Книга моего деда Коркута“. М.—Л., 1952, стр. 119). Однако, как и другие личные имена (Баландур, Салор, Улаш, Казан, Дундар и др.), Кузан в этом эпосе обозначал одно из этнических названий греко-персидских племен (баюндур, салор, хулаш, казан, дондар, кузан), к которому относился этот герой.

⁹ В XIX веке на Северном Кавказе отмечен ороним Чалгандаг, гидроним Чалдан и ойконим Чалган [10, стр. 79].

теле в древности поддерживало отношения с кыпчаками, которые играли определенную роль в политической истории Азербайджана в эпоху раннего средневековья¹⁰. Возможно также, что некоторые из них пришли сюда с огузами¹¹.

Литература

1. Абелов Н. А. Экономический быт государственных крестьян Шемахинского и Геокчайского уездов Бакинской губернии. Материалы для изучения экономики гос. крестьян Закавказского края, т. VI Тифлис, 1887.
2. Абелов Н. А. Экономический быт государственных крестьян Елизаветпольской губернии, т. VII. Тифлис, 1889.
3. Абрамзон С. М. Киргизы и их этнические и историко-культурные связи. Фрунзе, 1971.
4. Бартольд В. В. Сочинения, т. III, М., 1963.
5. Баскаков Н. А. Введение в изучение тюркских языков. М., 1969.
6. Бериштам А. Н. Заднепровский Ю. А. Западно-Тюркский каганат. Очерки истории СССР, III–IX вв. М., 1958.
7. Бутков П. Г. Материалы для новой истории Кавказа, ч. I. СПб., 1869.
8. Вайнштейн С. Т. Некоторые вопросы истории тюркской культуры. „Советская этнография“, 1966, № 3.
9. Валиханов Ч. Ч. Собрание сочинений, т. IV. Алма-Ата, 1967.
10. Вербников Д. К. Алтайцы. Томск, 1870.
11. Гумилев Л. Н. Древние тюрки. Л., 1967.
12. Дагестанская АССР. Административно-территориальное деление. Махачкала, 1961.
13. Кляшторный С. Г. Древнетюркские рунические памятники как источник по истории Средней Азии. М., 1964.
14. Юнер Н. В. Китайские известия о народах Южной Сибири, Центральной Азии и Дальнего Востока. М., 1961.
15. История Тувы, т. I. М., 1954.
16. Мадов С. Е. Памятники древнетюркской письменности Монголии и Киргизии М.—Л., 1959.
17. Неразик Е. Е. О некоторых направлениях этнических связей населения Средней Азии в древности. „История, археология и этнография Средней Азии“, М., 1968.
18. Пагирев Д. Д. Алфавитный указатель к пятнадцати картам Кавказского края. М., 1913.
19. Потапов Л. П. Очерки по истории алтайцев. М.—Л., 1953.
20. Потапов Л. П. Этнический состав и происхождение алтайцев. Л., 1969.
21. Сикалиев А. Древнетюркские письменные памятники и ногайцы. „Советская тюркология“, 1970, № 4.
22. Тихонов Д. И. Хозяйство и общественный строй уйгурского государства XIV в. М., 1966.
23. Фёдоров С. А. Казария и Дагестан. КЭС, вып. V. М., 1972.
24. Юсупов Г. В. Булгаро-татарская эпиграфика и топонимы как источник исследования этногенеза казанских татар. „Вопросы этногенеза тюркоязычных народов Среднего Поволжья“. Казань, вып. I, 1971.

Поступило 19. V 1977

Сектор археологии и этнографии

Г. Э. Гејбуллаев

АЗЭРБАЙЧАНЫН БӘ'ЗИ ЕТНОТОПОНИМЛӘРИНИН МӘНШӘЈИ ҺАГГЫНДА
(Дәлләр, Тулу, Тиркеш, Шадылы, Тубакәнд, Чалган, Гузанлы)

Мәнбәләрә көрә VI—VII әсрләрдә бејүк әразини әһәтә етмиш вә گәрб сәрһәдләрі Шимали Гафраза, гәдәр узанныш Гәрби Түрк Хаганатында тәлә, дулу, түркеш, шато, тубо, толос вә б. тајфалар җашајырды. Азербайчанын мұасир ойконимләриндән—Дәлләр, Тиркеш, Тиркәшәнд, Тулу, Туллар, Тубакәнд, Тулас, Шадылы, Чалган вә Гузанлы мәншәләри етібарилә һәмmin тајфаларла бағылышыр. Құман етмәк олар кибеттү тајфаларын мүәжжән һиссәләри һәзәр, гычаг вә огузлар ичәрисинә VII—XI әсрләрдә кәлмишләр.

G. A. Geibullaev

ON THE ORIGIN OF SOME TOponyms OF AZERBAIJAN

(Deliler, Tulu, Tirkesh, Shadyly, Tubakend, Tulus, Yalgan, Kuzanli)

In the 6th to 7th centuries there lived the tribes of Tele, Tulu, Tyrgesh, Shato, Tubo, Tolos and others in the Western-Turkic kaganate. The Azerbaijani toponyms Deliler, Tulu, Tirkesh, Shadyly, Tubakend, Tulus are genetically related to the tribes mentioned.

¹⁰ О кыпчаках и хазарах в Азербайджане см. З. М. Буняев. Азербайджан в VII—IX вв. Баку, 1964.

¹¹ Рашид ад-Дин (Сборник летописей, т. I, ч. I, М.—Л., 1952, стр. 83—85) отмечает, что в огузских завоеваниях участвовали также племена ганлы, халадж и уйгур. Уйгуры считаются одними из потомков теле [11, стр. 16]. Эти этнонимы в Азербайджане сохранены в топонимах Ганлыкенд, Халадж и Оргукенд (фонетический вариант от Уйгуркент—современный Тазакент в Джалилабадском районе).

МУНДЭРИЧАТ

<p>Ријазијат</p> <p>Н. М. Сүлејманов. Бир диференциал бәрабәрсизлик вә там функциялар учун виман-валирон теореми нагында</p> <p>Функционал анализ</p> <p>Р. Э. Шәфиев. Умумиләшмиш тәрс операторун гурулма үсуллары нагында</p> <p>Астрономија</p> <p>М. Э. Мәммәдов. Камеләрни нәзәри пайланмасының дәјаңәтлилиji</p> <p>Ярымкечиричиләр вә диэлектрикләр физикасы</p> <p>Л. М. Иманов, З. А. Ибраһимов. Банадиум вә теллур окидләри эсасында һазырламыш шүшәләрни ЕПР үсүлү илә тәдгиги</p> <p>Ярымкечиричиләр физикасы</p> <p>М. И. Элиев, Г. И. Исаков. Гадолиниум вә еттербумла лекриреедилмиш CaSb-ун электрик хассәләри</p> <p>Физика</p> <p>Ч. М. Чуварлы, Т. Э. Юсифзадә. Йүксүз трансформаторларының ачылмасы заманы баш верән еңтимили ифрат көркиниләрниң тәһлили методу</p> <p>Нәглијат вә сахлама</p> <p>Ж. Б. Гәдимов, А. И. Мәммәдов, Н. Х. Элиев. Қәмәр боју газ пайланмасы (вә ја гыјымасы) олан газ қомәриндә кечид просессинин әдәди үсулла һесабланмасы</p> <p>Биохимия</p> <p>Л. Ш. Зульфугарова, П. С. Мәммәдова. Қимјәви вә биологи мүнитда бирләшмәләрни ингибитор хассаләри вә бәд шиштарә тә'сир едән қимјәви препаратларын сечилмәси</p> <p>Мә'дән кеофизикасы</p> <p>Л. А. Буряковски, Г. Г. Палатник, Т. А. Бадалов. Прогнозлаштыра алгоритмиваситоси мә'дән кеофизика материаллары эсасында коллектор лајларының нефтлиjiини гијәтләндирilmәsi</p> <p>Кенетика</p> <p>М. А. Элизадә, Л. Н. Чавадова. Колхисни тә'сириндән алынмыш памбыг мутантларында нуклеин мубадиләси</p> <p>Тәсвири зоология</p> <p>М. Э. Гасымов. Аарат кошенилиндән бојаг сәнајесинде истифаде отунма мүмкүнлүjү</p> <p>Али биткиләrin систематикасы</p> <p>С. Н. Мусаев, И. А. Садыхов. Нахчыван флорасының яни нөвү нагында</p> <p>Зоология</p> <p>Г. Э. Гасымов. Азәрбајчанда кәкә отунда кәкә нематодуну — PAKANGUINA PICKIDIS (KIKIANOVA, 1944) тапылмасына даир</p> <p>Торлагшунаслыг</p> <p>Р. Н. Мәммәдов, І. Ч. Нәсәнов. Экилмиш мешәнин гуру—чөл торлагларында нүмусун тәркиби тә'сiri</p> <p>Еколоjия</p> <p>Г. Э. Гулиев TRIUNGIUS KULIEV WOV. GEN.</p> <p>Биофизика</p> <p>Ф. М. Сәләми. Су стреси шәрәнтindә буғда ярпагларында оксикенин айрылмасы кинетикасы вә ишыг зирис</p> <p>Клиник тәбабәт</p> <p>Н. Э. Муталибов. Габырғаарасы артеријалар васитәси илә апарылан бел аортографијасы</p>	<p>Азәрбајчан тарихи</p> <p>Ш. Ф. Фәрзәлиев. 1885—1958-чи илләр Азәрбајчан тарихинә аид бир надир түрк әлјазмасы нагында</p> <p>Мәтишүнаслыг</p> <p>Тәjjар Экбәров. Хәтai Тәбризинин «Юсиф вә Зүлеjхә» эсариниң текстостоложи тәдгигине даир</p> <p>Топонимика</p> <p>Г. Э. Гебуллаев. Азәрбајчаның бә'зи етнотопонимләrinin мәнишәи нагында</p>
--	---

<p>СОДЕРЖАНИЕ</p> <p>Математика</p> <p>Н. М. Сүлейманов. Об одном обыкновенном дифференциальном неравенстве и теореме Вимана-Валирова о целых функциях</p> <p>Функциональный анализ</p> <p>Р. А. Шафиев. О методах вычисления псевдообратного оператора</p> <p>Астрономия</p> <p>М. А. Мамедов. Об устойчивости теоретических распределений комет</p> <p>Физика полупроводников и диэлектриков</p> <p>Акад. Л. М. Иманов, З. А. Ибраһимов. ЭПР исследование стекол на основе окислов ванадия и теллура</p> <p>Физика полупроводников</p> <p>Член-корр. М. И. Алиев, Г. И. Исаков. Электрические свойства GaSb, легированного гадолинием и иттербием</p> <p>Физика</p> <p>Акад. Ч. М. Джуварлы, Т. А. Юсифзаде. Метод анализа амплитуд вероятностных перенапряжений при отключении ненагруженных трансформаторов</p> <p>Член-корр. Я. Б. Кадымов, А. И. Мамедов, Н. Х. Алиев. Численный метод расчета переходных процессов движения газа в газопроводах при путевом отборе (или подкачке)</p> <p>Биохимия</p> <p>Л. Ш. Зульфугарова, П. С. Мамедова. Ингибирующие свойства некоторых соединений в химической и биологической средах и отбор химических препаратов противоопухолевого действия</p> <p>Промысловая геофизика</p> <p>Л. А. Буряковский, Г. Г. Палатник, Т. А. Бадалов. Оценка нефтеносности пластов-коллекторов по материалам промысловой геофизики с помощью алгоритма прогнозирования</p> <p>Генетика</p> <p>М. А. Али-Заде, Л. Г. Джавадова. Нуклеиновый обмен у мутантов хлопчатника, полученных под воздействием колхицина</p> <p>Прикладная зоология</p> <p>М. А. Касумов. Кошениль ааратская — PORPHIOPHORA HAMELLI Гапыт и возможности ее использования в красильном производстве</p> <p>Систематика высших растений</p> <p>С. Г. Мусаев, И. А. Садыхов. Новый вид рода STIPA L. Нахичеванской АССР</p> <p>Зоология</p> <p>Г. А. Касимова. Случай обнаружения горчаковой нематоды PARANGUIA PICRIDIS (KIKJANOVA, 1944) на горчаке ползучем в Азербайджане</p> <p>Почвоведение</p> <p>Р. Г. Мамедов, Ю. Д. Гасанов. Влияние лесных насаждений на состав гумуса почв сухостепной зоны Азербайджанской ССР</p>	<p>3</p> <p>70</p> <p>74</p> <p>78</p> <p>3</p> <p>6</p> <p>10</p> <p>13</p> <p>17</p> <p>23</p> <p>29</p> <p>32</p> <p>35</p> <p>40</p> <p>48</p> <p>49</p> <p>51</p> <p>54</p> <p>40</p> <p>43</p> <p>49</p> <p>51</p> <p>54</p> <p>55</p> <p>58</p> <p>61</p> <p>66</p> <p>78</p>
---	--

Ф. М. Салама. Световые кривые и кинетика выделения кислорода листьями пшеницы в условиях водного стресса

Клиническая медицина

Н. А. Муталибов. Люмбалная аортография через межреберные артерии

История Азербайджана

Ш. Ф. Фарзалиев. Об одной редкой турецкой рукописи по истории Азербайджана 1585—1588 гг.

Текстология

Т. В. Акперов. О текстологическом исследовании произведения Хатаи Тебризи «Юсиф и Зулейка»

Топонимика

Г. А. Гейбуллаев. О происхождении некоторых этнотопонимов Азербайджана (Деллер, Тулу, Тиркеш, Шадылы, Тубакент, Тулус, Чалтаи, Кузанли)

ПРАВИЛА ДЛЯ АВТОРОВ

1. В «Докладах Академии наук Азербайджанской ССР» помещаются краткие сообщения, содержащие законченные, еще не опубликованные результаты научных исследований, имеющих теоретическое или практическое значение.

В «Докладах» не публикуются крупные статьи, механически разделенные на ряд отдельных сообщений, статьи полемического характера без новых фактических данных, статьи с описанием промежуточных опытов без определенных выводов и обобщений, работы непринципиальные, описательного или обзорного характера, чисто методические статьи, если предлагаемый метод не является принципиально новым, а также статьи по систематике растений и животных (за исключением описания особо интересных для науки находок).

Статьи, помещаемые в «Докладах», не лишают автора права последующей публикации того же сообщения в развернутом виде в других изданиях.

2. Поступающие в «Доклады» статьи рассматриваются Редакционной коллегией только после представления их академиком по специальности. Каждый академик может представить не более 5-ти статей в год.

Статьи членов-корреспондентов Академии наук Азербайджанской ССР принимаются без представления.

Редакция просит академиков при представлении статьи указывать дату получения ее от автора, а также наименование раздела, в котором статья должна быть помещена.

3. В «Докладах» публикуются не более трех статей одного автора в год.

4. В «Докладах» помещаются статьи, занимающие не более четверти авторского листа—около 6—7 страниц машинописи (10 000 печатных знаков), включая рисунки.

5. Все статьи должны иметь резюме на английском языке; кроме того, статьи, написанные на азербайджанском языке, должны иметь: резюме на русском языке и наоборот.

6. В конце статьи должны быть указаны название научного учреждения, в котором выполнена работа, и номер телефона автора.

7. Опубликование результатов работ, проведенных в научных учреждениях должно быть разрешено дирекцией научного учреждения.

8. Статьи (включая и резюме), должны быть напечатаны на машинке через два интервала, на одной сторице листа и представляются в двух экземплярах. Формулы должны быть вписаны четко и ясно, при этом прописные буквы должны быть подчеркнуты (черным карандашом) двумя черточками снизу, а строчные — сверху, букву греческого алфавита надо обводить красным карандашом.

9. Цитируемая в статье литература должна приводиться не в виде подстрочных списков, а общим списком (вподбор), в алфавитном порядке (по фамилии автора), в конце статьи с обозначением ссылки в тексте порядковой цифрой. Список литературы должен быть оформлен следующим образом:

а) для книг: фамилия и инициалы автора, полное название книги, номер тома, город, издательство и год издания;

б) для статей в сборниках (трудах): фамилия и инициалы автора, название статьи, название сборника (трудов), том, выпуск, место издания, издательство, год, страница;

в) для журнальных статей: фамилия и инициалы автора, название статьи, название журнала, год, том, номер, (выпуск), страница.

Ссылки на неопубликованные работы не допускаются (за исключением отчетов и диссертаций, хранящихся в научных учреждениях).

10. На обороте рисунков должны быть указаны фамилия автора, название статьи и номер рисунка. Отпечатанные на машинке подписи к рисункам представляются на отдельном листе.

11. Авторы статей должны указывать индекс статьи по Унифицированной десятичной классификации (УДК) и прилагать реферат для «Реферативного журнала».

12. Авторы должны избегать повторения один и тех же данных в таблицах, графиках и в тексте статьи.

Ввиду небольшого объема статей выводы помещаются лишь в необходимых случаях.

13. В случае представления двух или более статей одновременно необходимо указать желательный порядок их помещения.

14. Корректура статей авторам как правило не посыпается. В случае посылки корректуры допускается лишь исправление ошибок типографии.

15. Редакция выдает автору бесплатно 15 отдельных оттисков статьи.

Сдано в набор 20/XII 1977 г. Подписано к печати 21/II 1978 г. Формат бумаги 70×108^{1/16}. Бум. лист. 2,63. Печ. лист. 7,35. Уч.-изд. лист. 6,31. ФГ 05595.
Заказ 826. Тираж 735. Цена 40 коп.

Издательство „Элм“. 370073. Баку-73, проспект Нариманова, 31,
Академгородок, Главное здание.

Типография „Красный Восток“ Государственного комитета Совета
Министров Азербайджанской ССР по делам издательств, полиграфии и
книжной торговли. Баку, ул. Ази Асланова, 60.

40 гэп.
коп.

Индекс
76355